

Universitat de Lleida

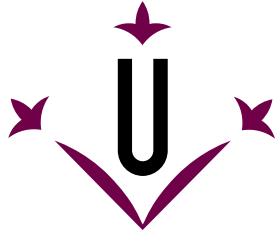
Obtención mediante procesos quimioenzimáticos de derivados del glicerol

Carmen Eugenia Solarte Orozco

ADVERTIMENT. La consulta d'aquesta tesi queda condicionada a l'acceptació de les següents condicions d'ús: La difusió d'aquesta tesi per mitjà del servei TDX (www.tesisenxarxa.net) ha estat autoritzada pels titulars dels drets de propietat intel·lectual únicament per a usos privats emmarcats en activitats d'investigació i docència. No s'autoritza la seva reproducció amb finalitats de lucre ni la seva difusió i posada a disposició des d'un lloc aliè al servei TDX. No s'autoritza la presentació del seu contingut en una finestra o marc aliè a TDX (framing). Aquesta reserva de drets afecta tant al resum de presentació de la tesi com als seus continguts. En la utilització o cita de parts de la tesi és obligat indicar el nom de la persona autora.

ADVERTENCIA. La consulta de esta tesis queda condicionada a la aceptación de las siguientes condiciones de uso: La difusión de esta tesis por medio del servicio TDR (www.tesisenred.net) ha sido autorizada por los titulares de los derechos de propiedad intelectual únicamente para usos privados enmarcados en actividades de investigación y docencia. No se autoriza su reproducción con finalidades de lucro ni su difusión y puesta a disposición desde un sitio ajeno al servicio TDR. No se autoriza la presentación de su contenido en una ventana o marco ajeno a TDR (framing). Esta reserva de derechos afecta tanto al resumen de presentación de la tesis como a sus contenidos. En la utilización o cita de partes de la tesis es obligado indicar el nombre de la persona autora.

WARNING. On having consulted this thesis you're accepting the following use conditions: Spreading this thesis by the TDX (www.tesisenxarxa.net) service has been authorized by the titular of the intellectual property rights only for private uses placed in investigation and teaching activities. Reproduction with lucrative aims is not authorized neither its spreading and availability from a site foreign to the TDX service. Introducing its content in a window or frame foreign to the TDX service is not authorized (framing). This rights affect to the presentation summary of the thesis as well as to its contents. In the using or citation of parts of the thesis it's obliged to indicate the name of the author.



Universitat de Lleida
Escola Tècnica Superior d'Enginyeria Agrària
Departament de Química

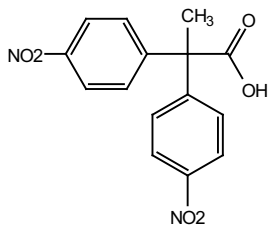
Obtención mediante procesos quimioenzimáticos de derivados del glicerol

Apéndice de Espectros

<i>Ácido 2,2-di(p-nitrofenil)propanoico (2f)</i>	1
<i>Pivaloato de 1,3-dicloropropilo (3a).</i>	2
<i>2,2-Dimetilbutanoato de 1,3-dicloropropilo (3b)</i>	4
<i>2,2-Dimetilpentanoato de 1,3-dicloropropilo (3c)</i>	6
<i>2-Fenil-2-metilpropanoato de 1,3-dicloropropilo (3d)</i>	8
<i>2,2-Difenilpropanoato de 1,3-dicloropropilo (3e)</i>	10
<i>2,2-di(p-nitrofenil)propanoato de 1,3-dicloropropilo (3f)</i>	12
<i>2,2-Difenilacetato de 1,3-dicloropropilo (3h)</i>	14
<i>2-Fenilpropanoato de 1,3-dicloropropilo (3i)</i>	16
<i>Fenilacetato de 1,3-dicloropropilo (3j)</i>	18
<i>Benzoato de 1,3-dicloropropilo (3k)</i>	20
<i>Naftoato de 1,3-dicloropropilo (3l)</i>	22
<i>Palmitato de 1,3-dicloropropilo (3m)</i>	24
<i>Decanoato de 1,3-dicloropropilo (3n)</i>	26
<i>Hexanoato de 1,3-dicloropropilo (3o)</i>	28
<i>Acetato de 1,3-dicloropropilo (3p)</i>	30
<i>Pivaloato de 1,3-diazopropilo (16a)</i>	32
<i>2,2-Dimetilbutanoato de 1,3-diazopropilo (16b)</i>	34
<i>2,2-Dimetilpentanoato de 1,3-diazopropilo (16c)</i>	36
<i>2-Fenil-2-metilpropanoato de 1,3-diazopropilo (16d)</i>	38
<i>2,2-Difenilpropanoato de 1,3-diazopropilo (16e)</i>	40

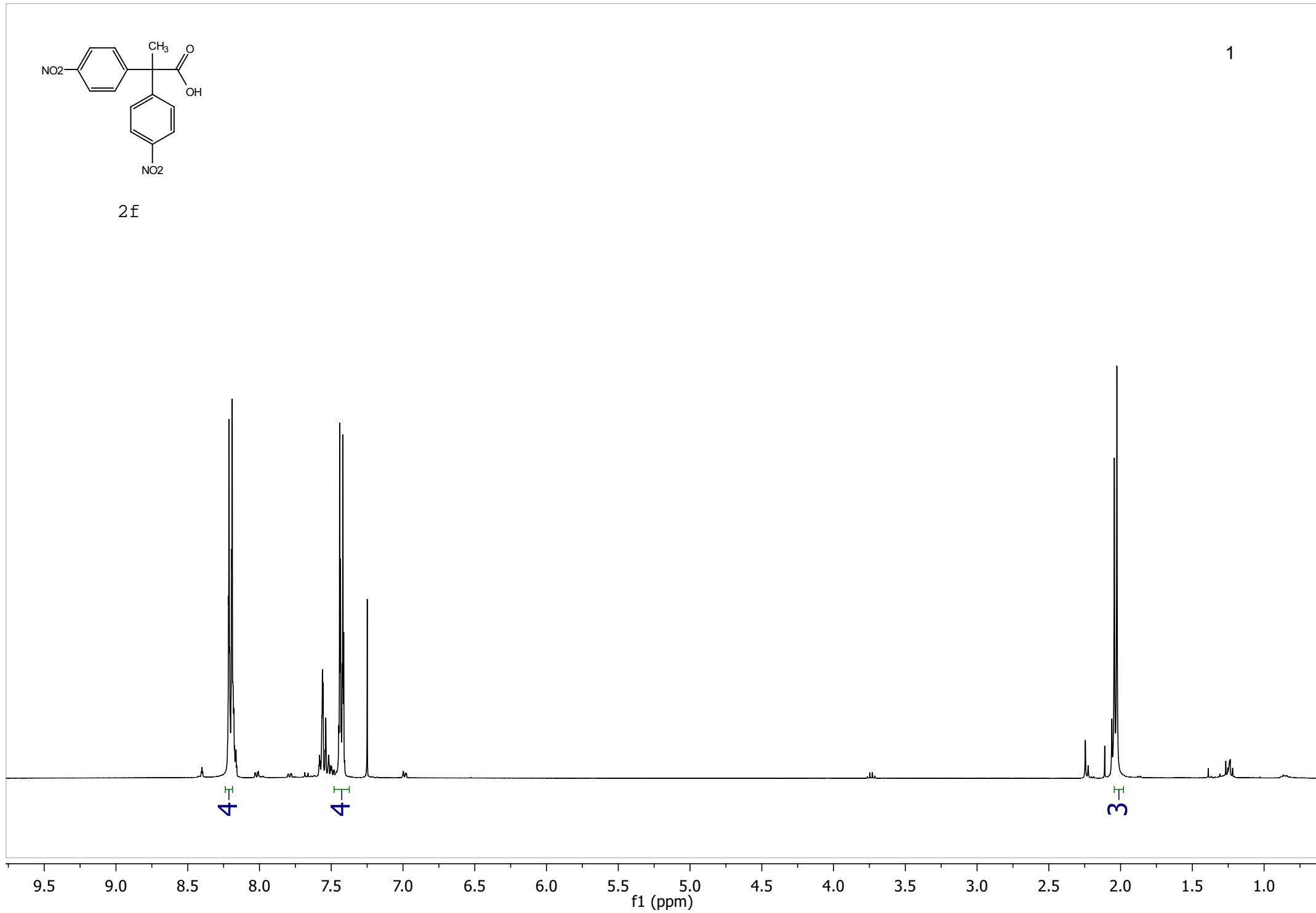
<i>2,2-Difenilacetato de 1,3-diazopropilo (16h)</i>	42
<i>2-Fenilpropanoato de 1,3-diazopropilo (16i)</i>	44
<i>Benzoato de 1,3-diazopropilo (16k)</i>	46
<i>Naftoato de 1,3-diazopropilo (16l)</i>	48
<i>Palmitato de 1,3-diazopropilo (16m)</i>	50
<i>Decanoato de 1,3-diazopropilo (16n)</i>	52
<i>Hexanoato de 1,3-diazopropilo (16o)</i>	54
<i>Acetato de 1,3-diazopropilo (16p)</i>	56
<i>2,2-Difenilpropanoato de metilo (17)</i>	58
<i>2,2-di(p-nitrofenil)propanoato de metilo (18)</i>	60
<i>Pivaloato de 3-cloro-2-hidroxiopropilo (5a)</i>	61
<i>2,2-Dimetilbutanoato de 3-cloro-2-hidroxiopropilo (5b)</i>	63
<i>2,2-Dimetilpentanoato de 3-cloro-2-hidroxiopropilo (5c)</i>	65
<i>2-Fenil-2-metilpropanoato de 3-cloro-2-hidroxiopropilo (5d)</i>	67
<i>2,2-Difenilpropanoato de 3-cloro-2-hidroxiopropilo (5e)</i>	69
<i>2,2-Difenilacetato de 3-cloro-2-hidroxiopropilo (5h)</i>	71
<i>2-Fenilpropanoato de 3-cloro-2-hidroxiopropilo (5i)</i>	73
<i>Benzoato de 3-cloro-2-hidroxiopropilo (5k)</i>	75
<i>Naftoato de 3-cloro-2-hidroxiopropilo (5l)</i>	77
<i>Palmitato de 3-cloro-2-hidroxiopropilo (5m)</i>	79
<i>Decanoato de 3-cloro-2-hidroxiopropilo (5n)</i>	81

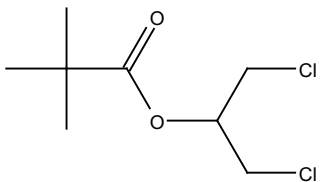
<i>Hexanoato de 3-cloro-2-hidroxi-propilo (5o)</i>	83
<i>Octanoato de 3-cloro-2-hidroxi-propilo (5q)</i>	85
<i>5-(cloroacetil)-2-hidroxi-benzaldehido (20)</i>	87
<i>1-(4-hidroxi-3-hidroxi-metil)fenil clorometil cetona (21)</i>	89
<i>2,2-dimetil-4H-1,3-benzodioxin-6-il clorometil cetona (22)</i>	91
<i>2-cloro-1-(2,2-dimetil-4H-1,3-benzodioxin-6-il) etanol (23)</i>	93
<i>Pivaloato de 3-cloro-2-acetoxi-propilo (25a)</i>	94
<i>2-Fenil-2-metilpropanoato de 3-cloro-2-acetoxi-propilo (25d)</i>	96
<i>Benzoato de 3-cloro-2-hidroxi-propilo (25k)</i>	98
<i>Catalizador de Bäckvall, (η^5-Ph₅Cp)Ru(CO)₂Cl, (26)</i>	99



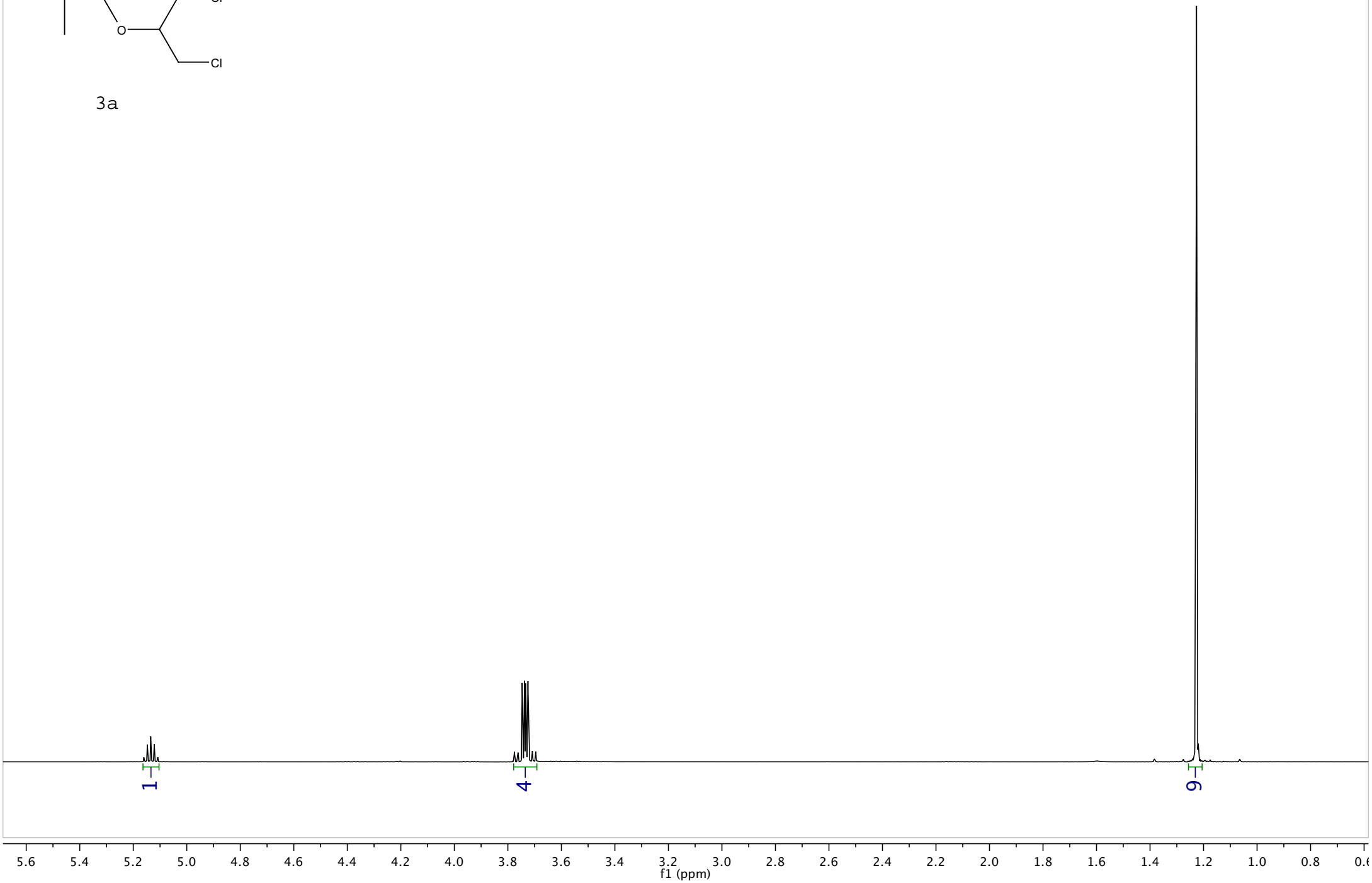
2f

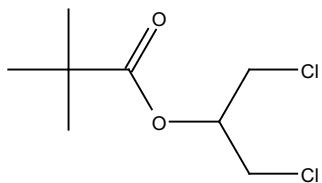
1





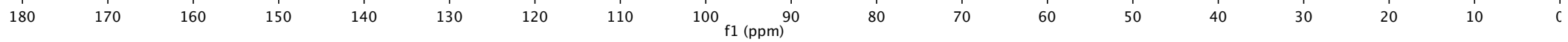
3a

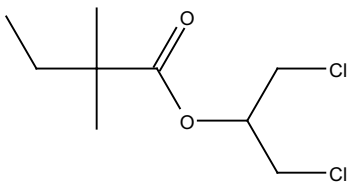




3a

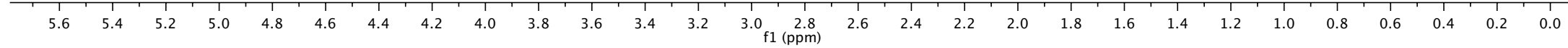
3

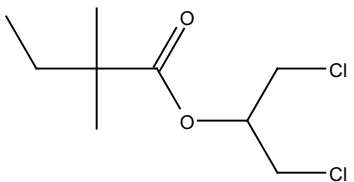




3b

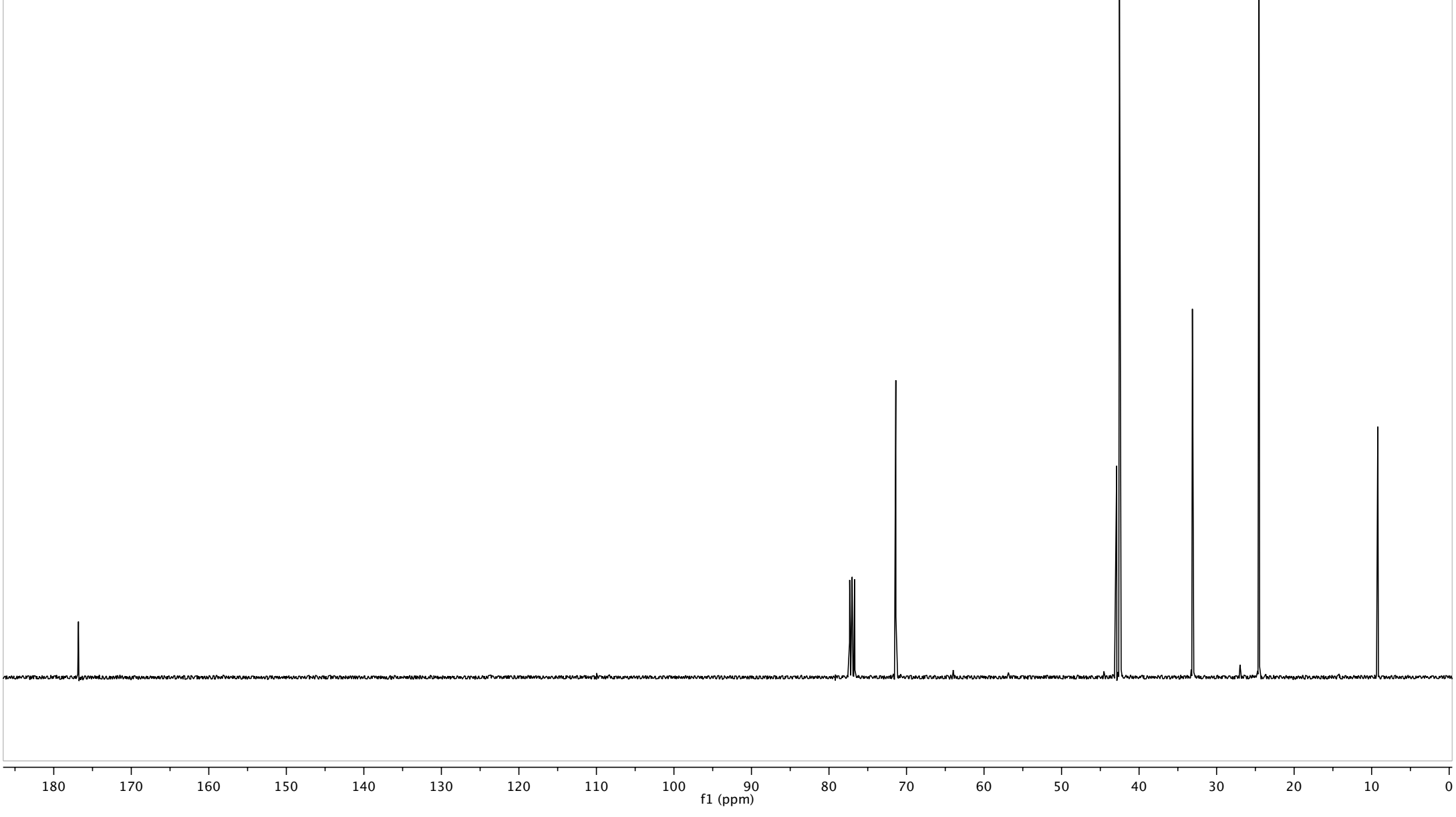
4

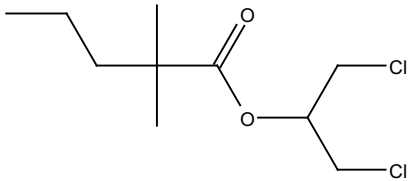




5

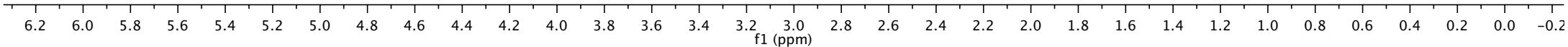
3b

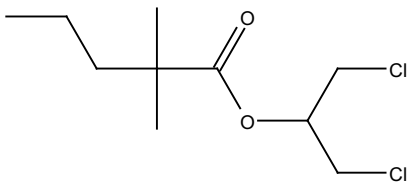




3c

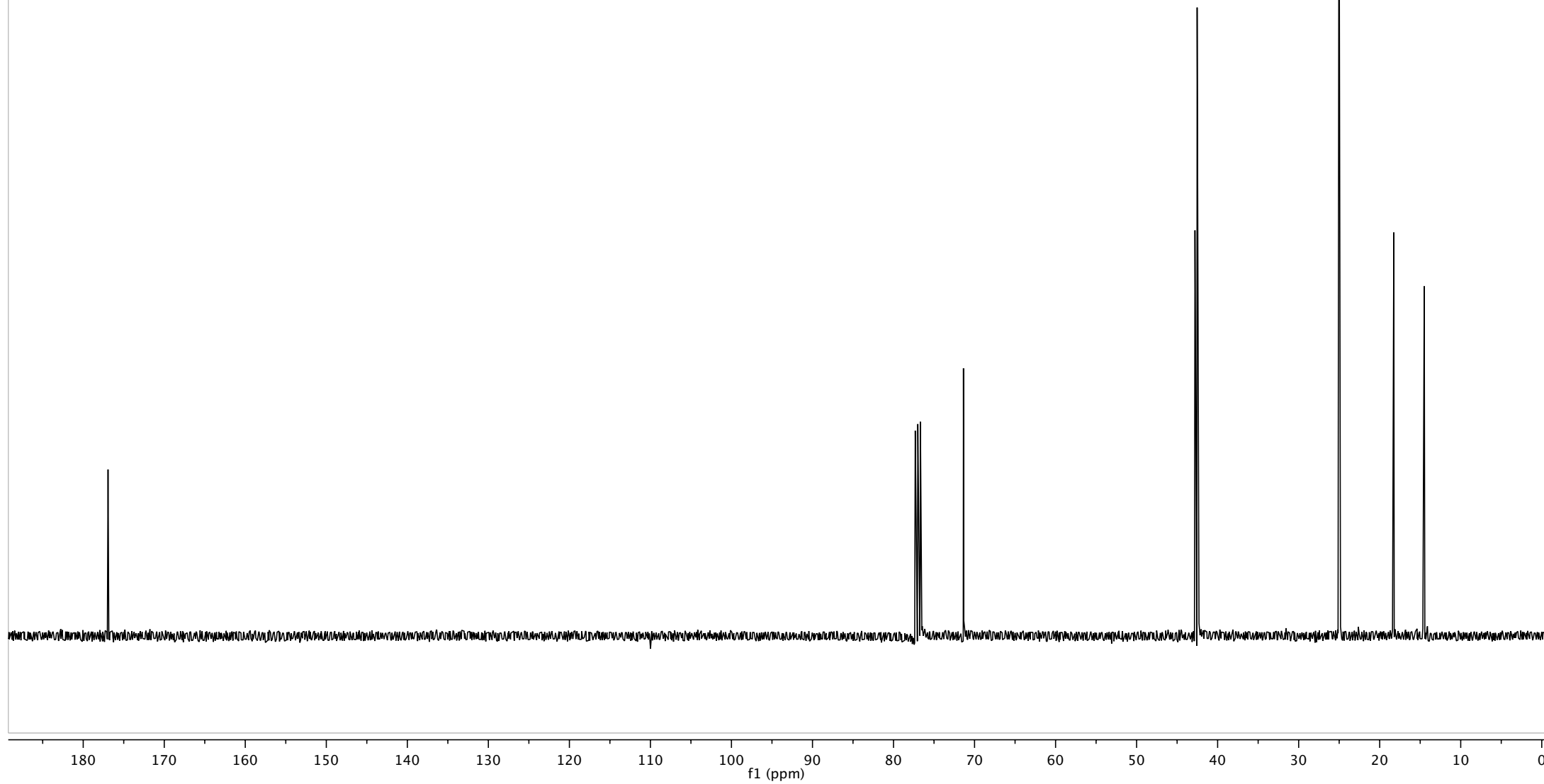
6

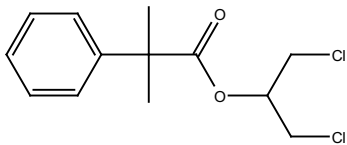




3c

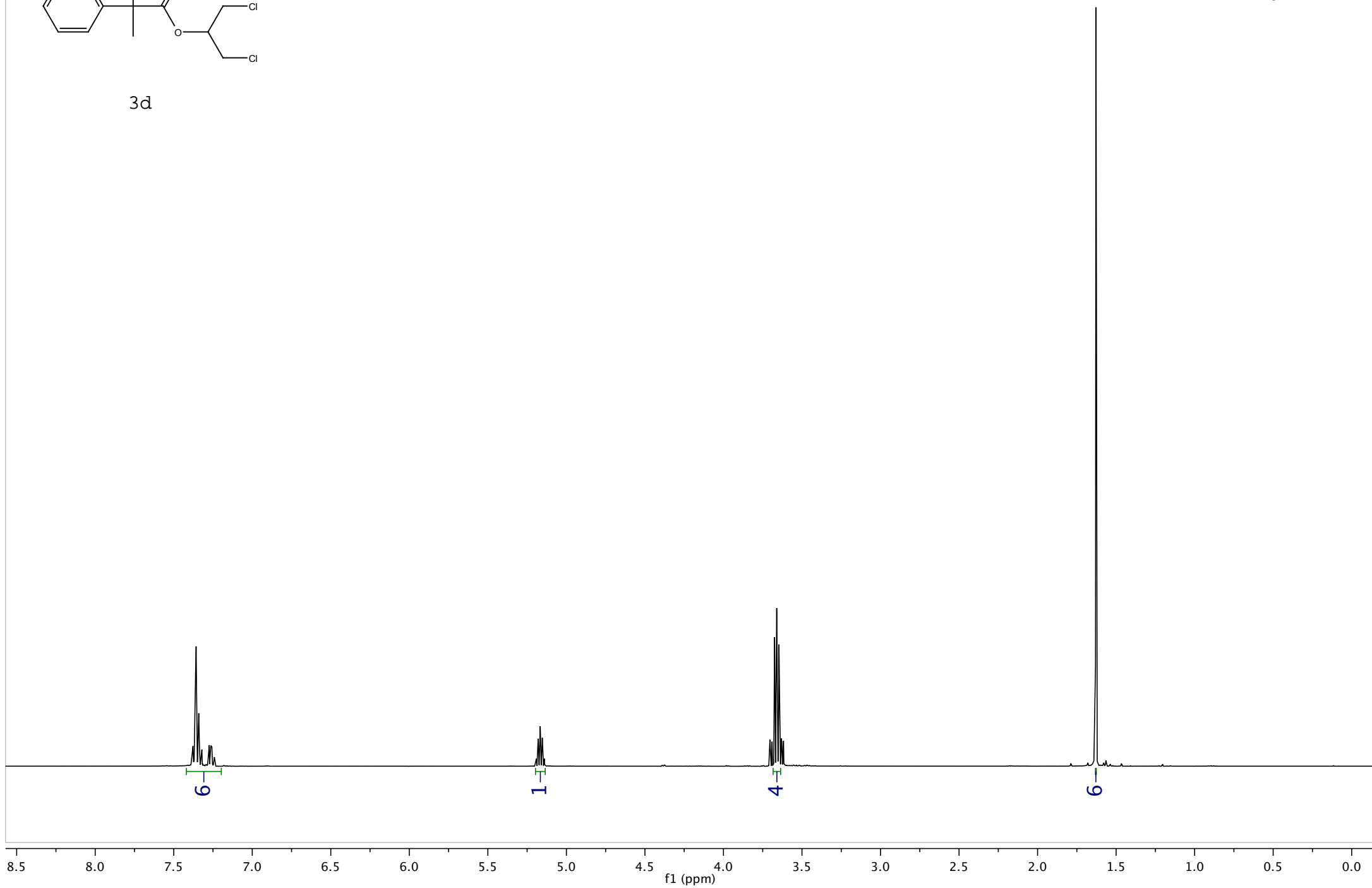
7

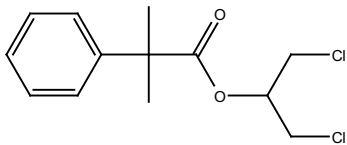




3d

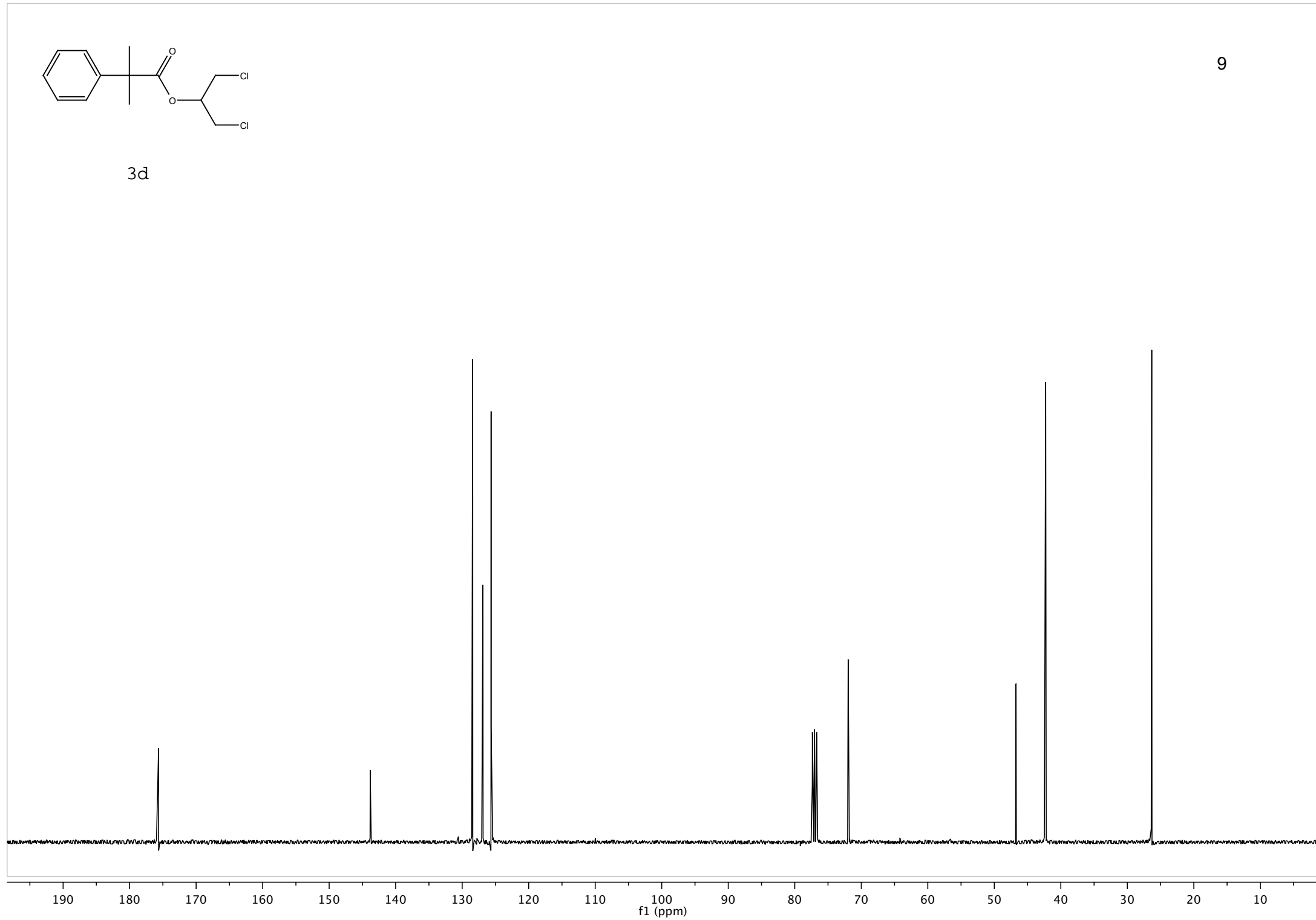
8

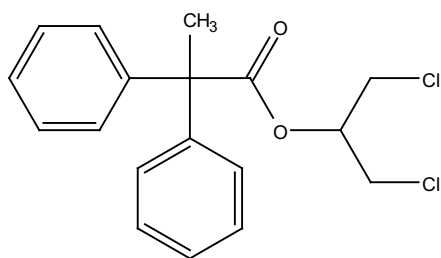




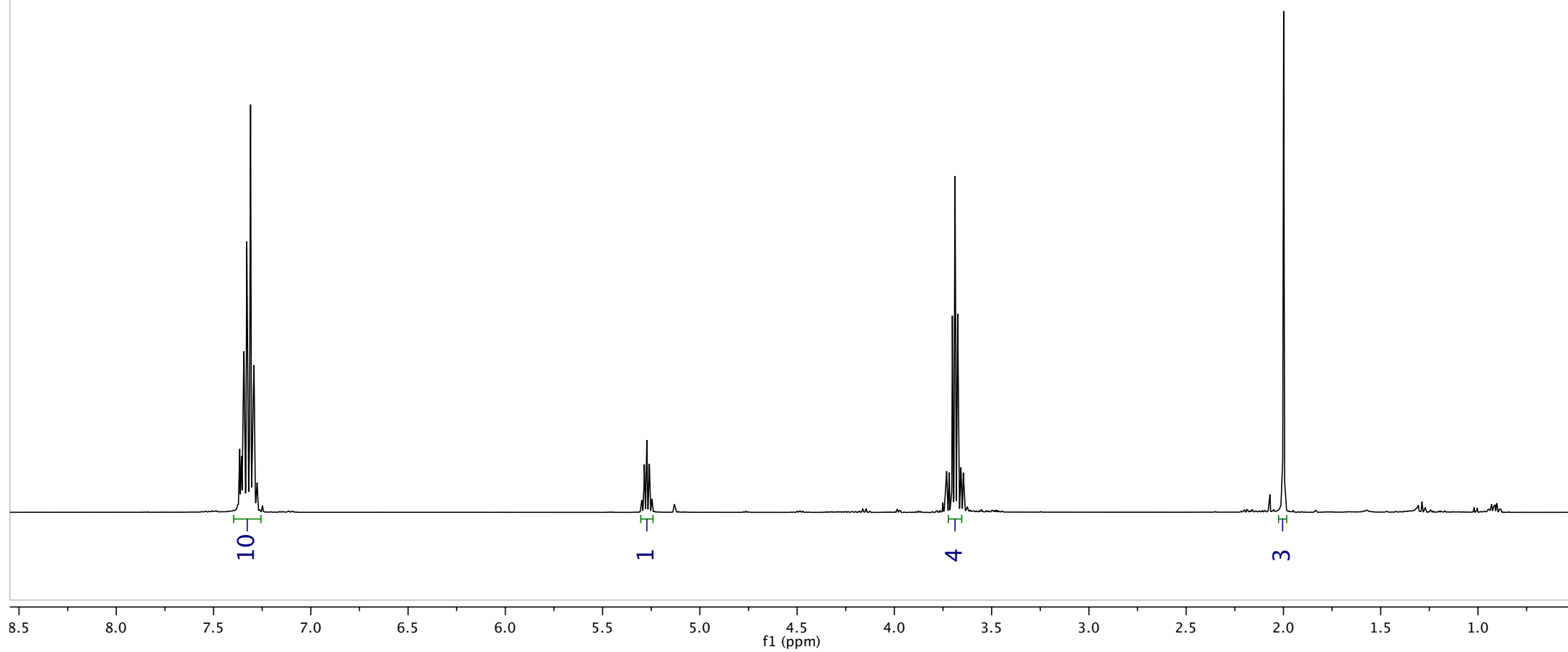
9

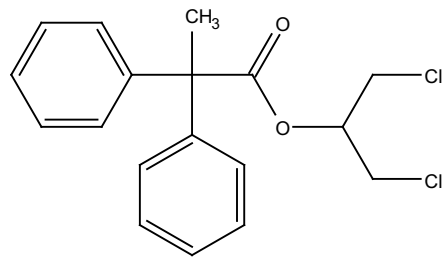
3d



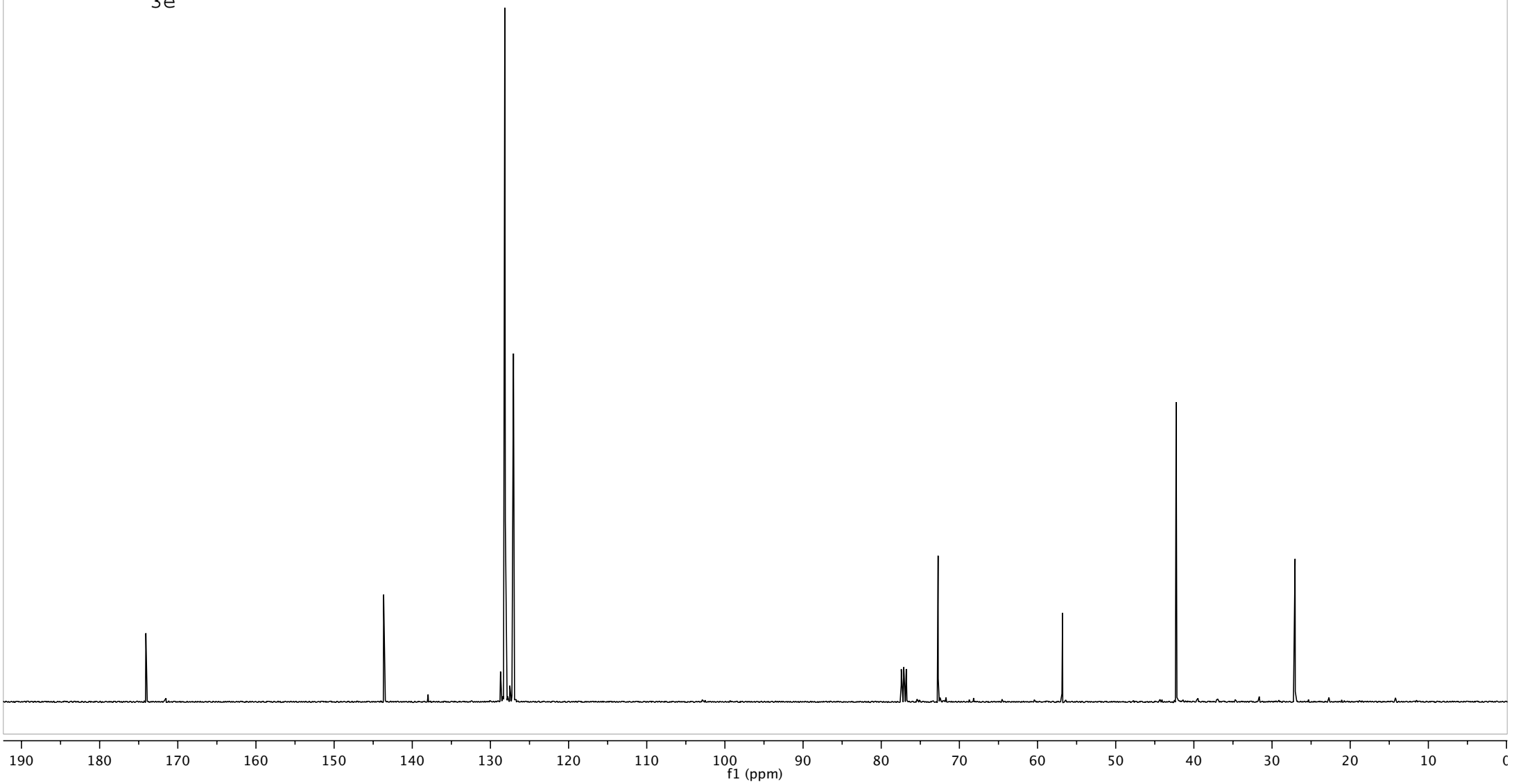


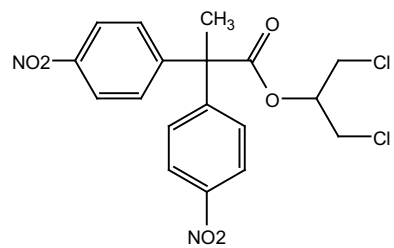
3e



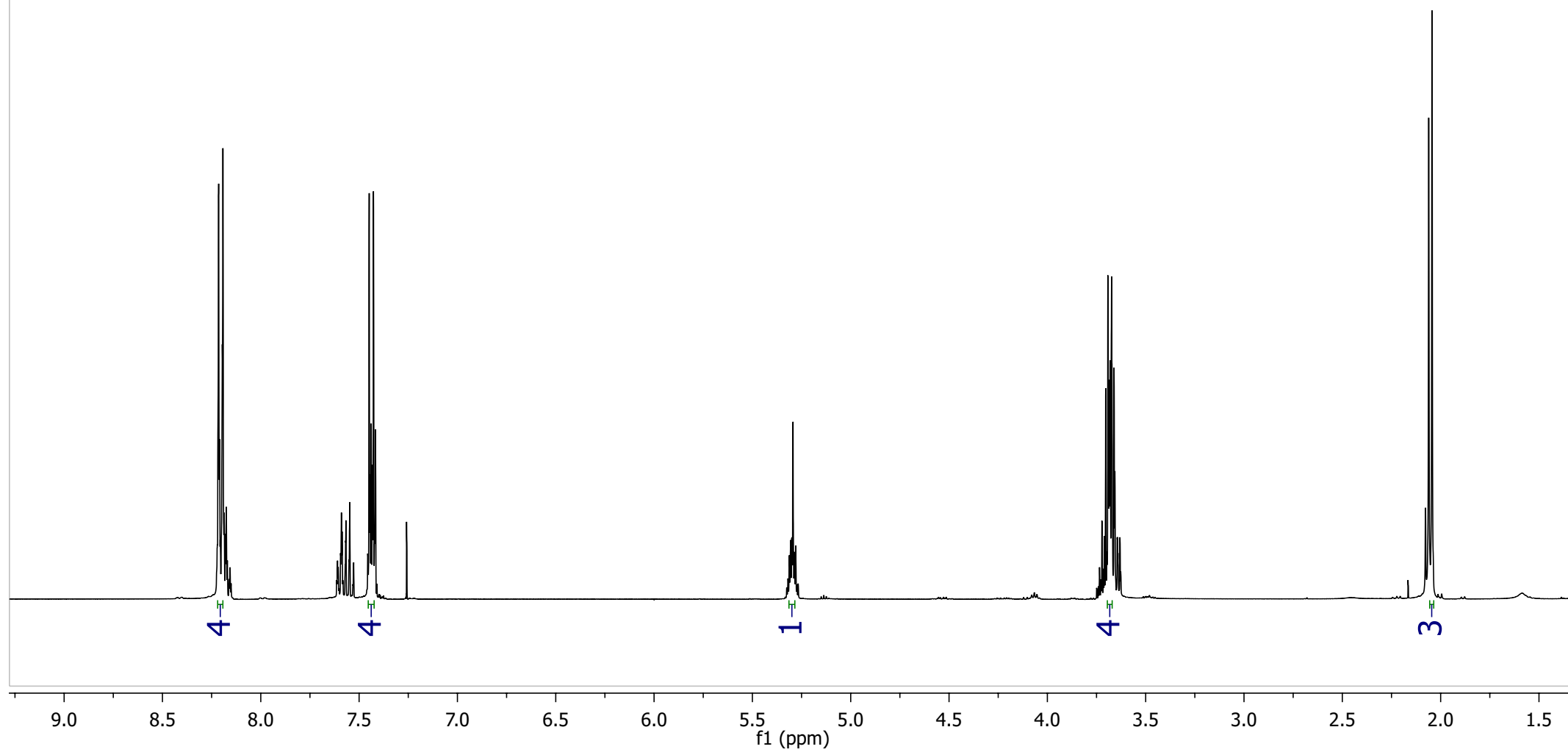


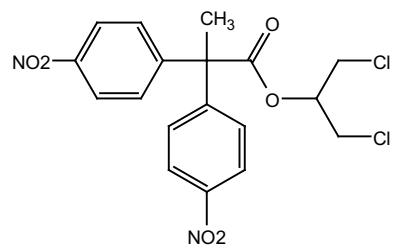
3e



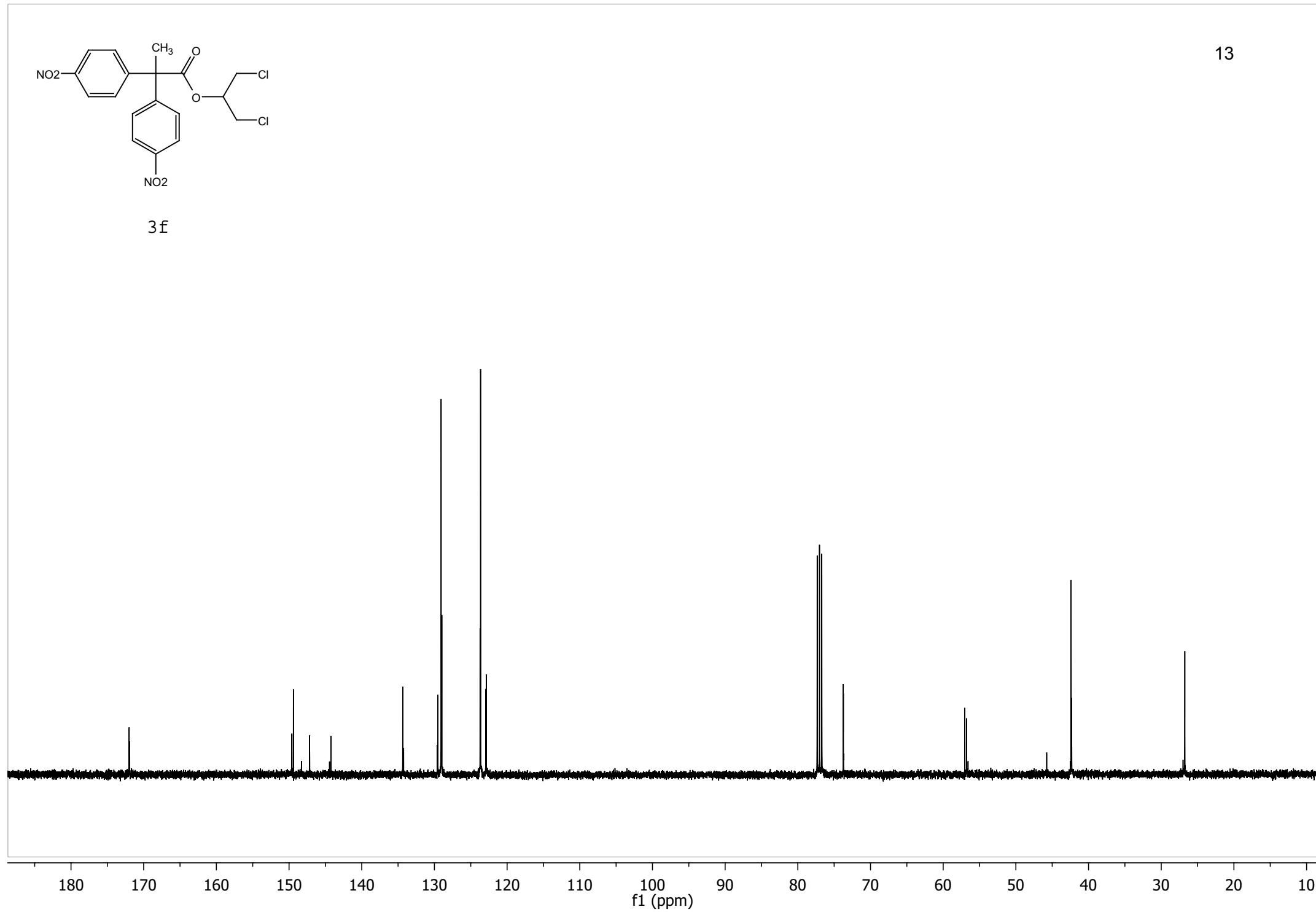


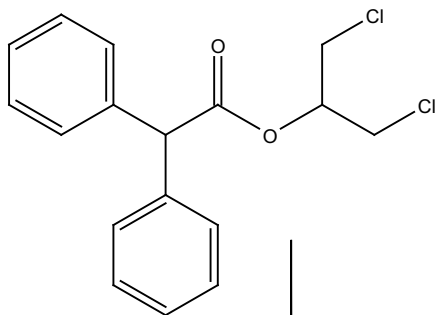
3f



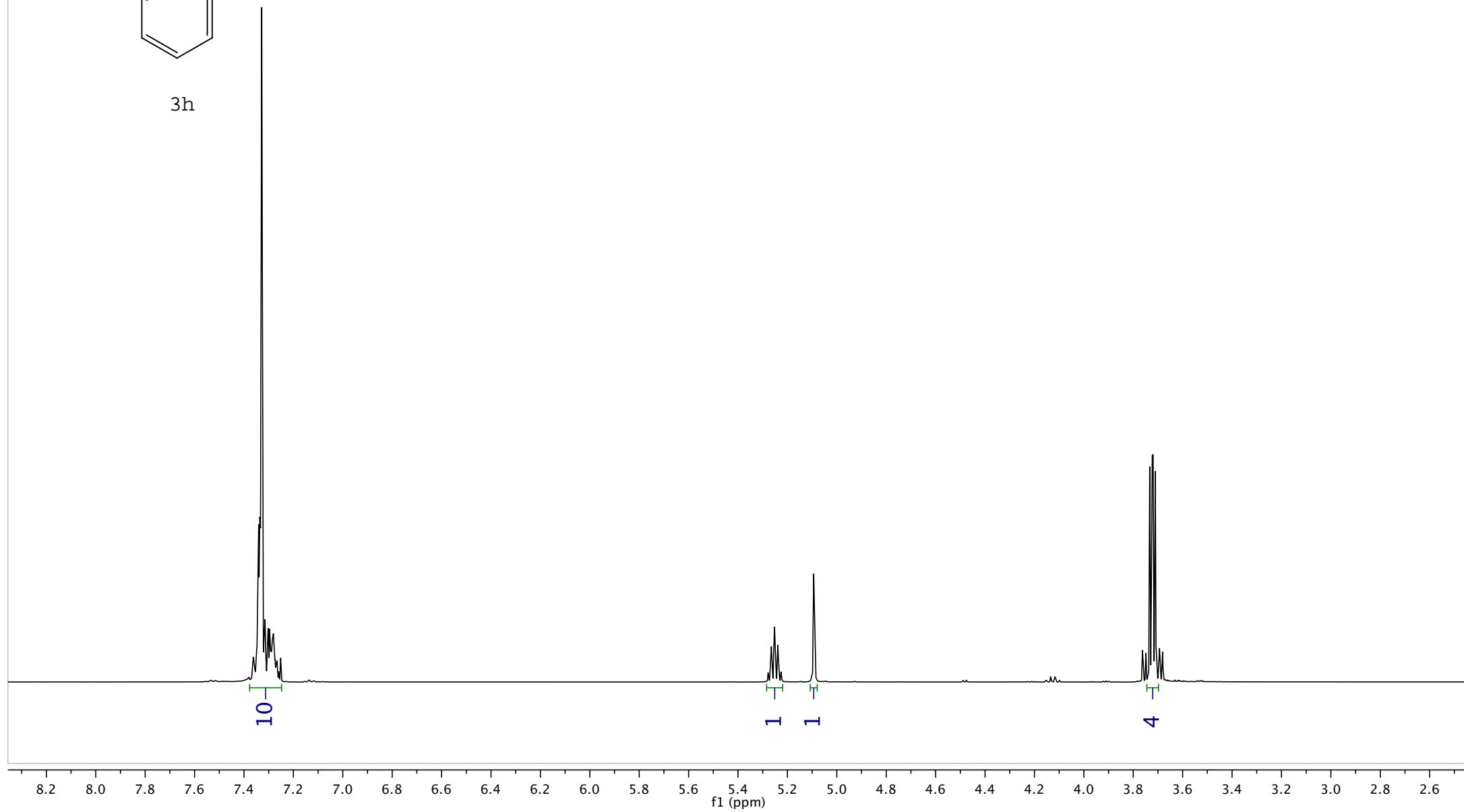


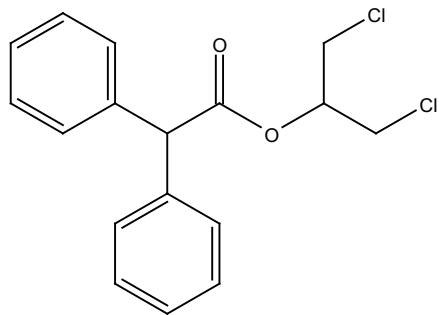
3f



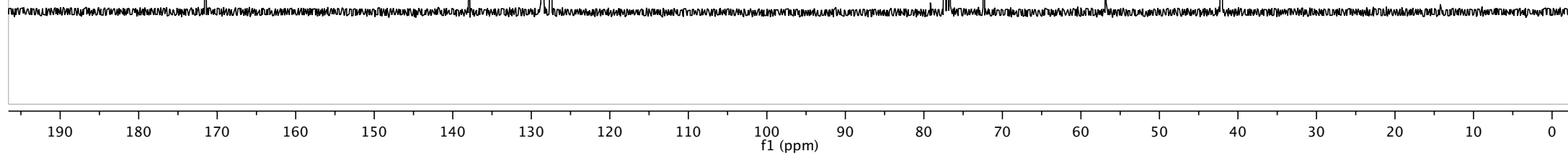


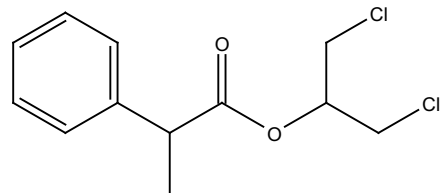
3h



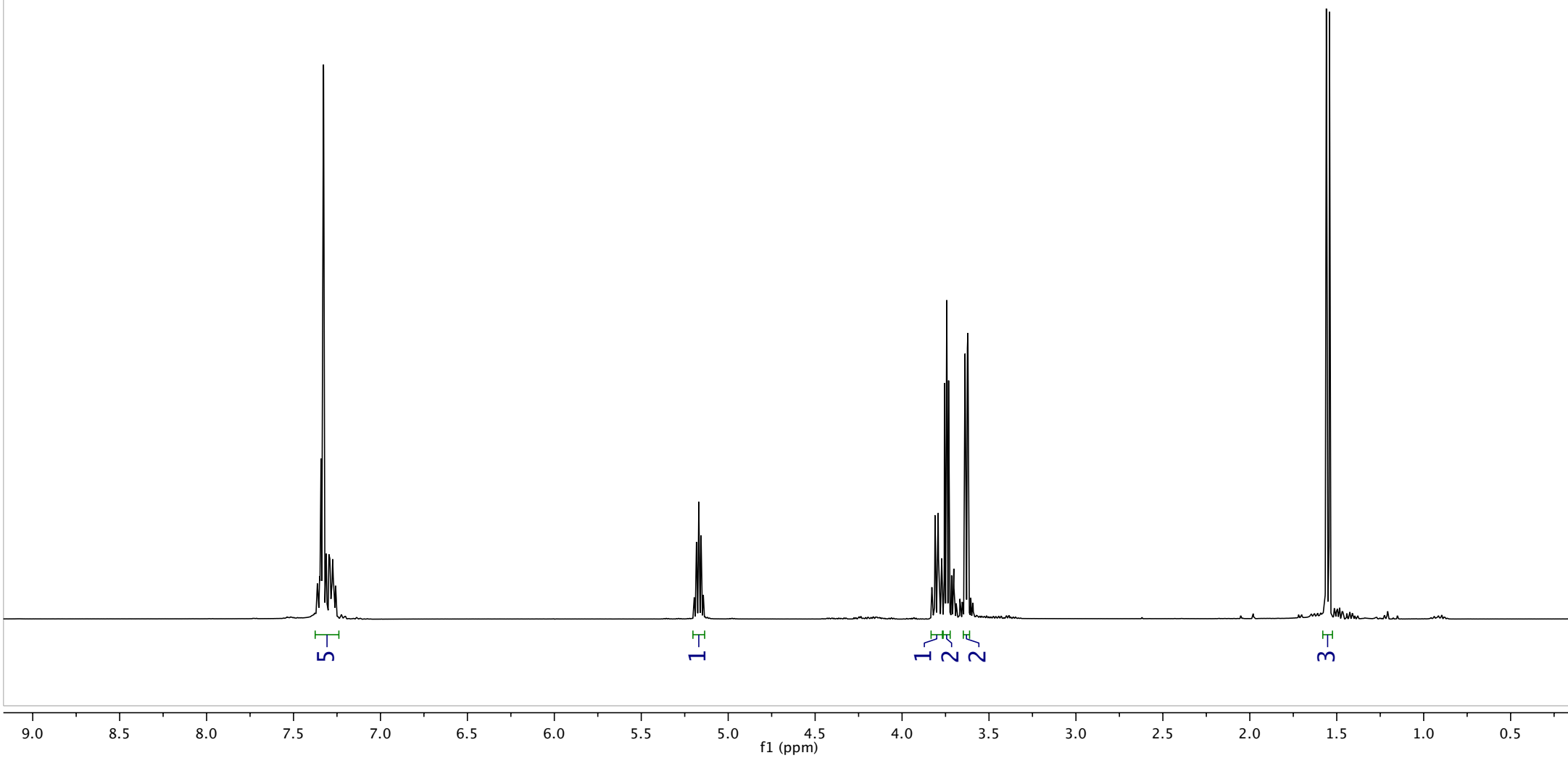


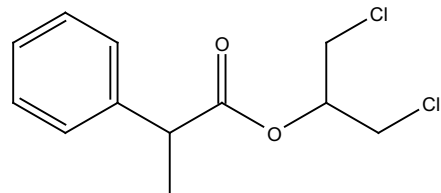
3h



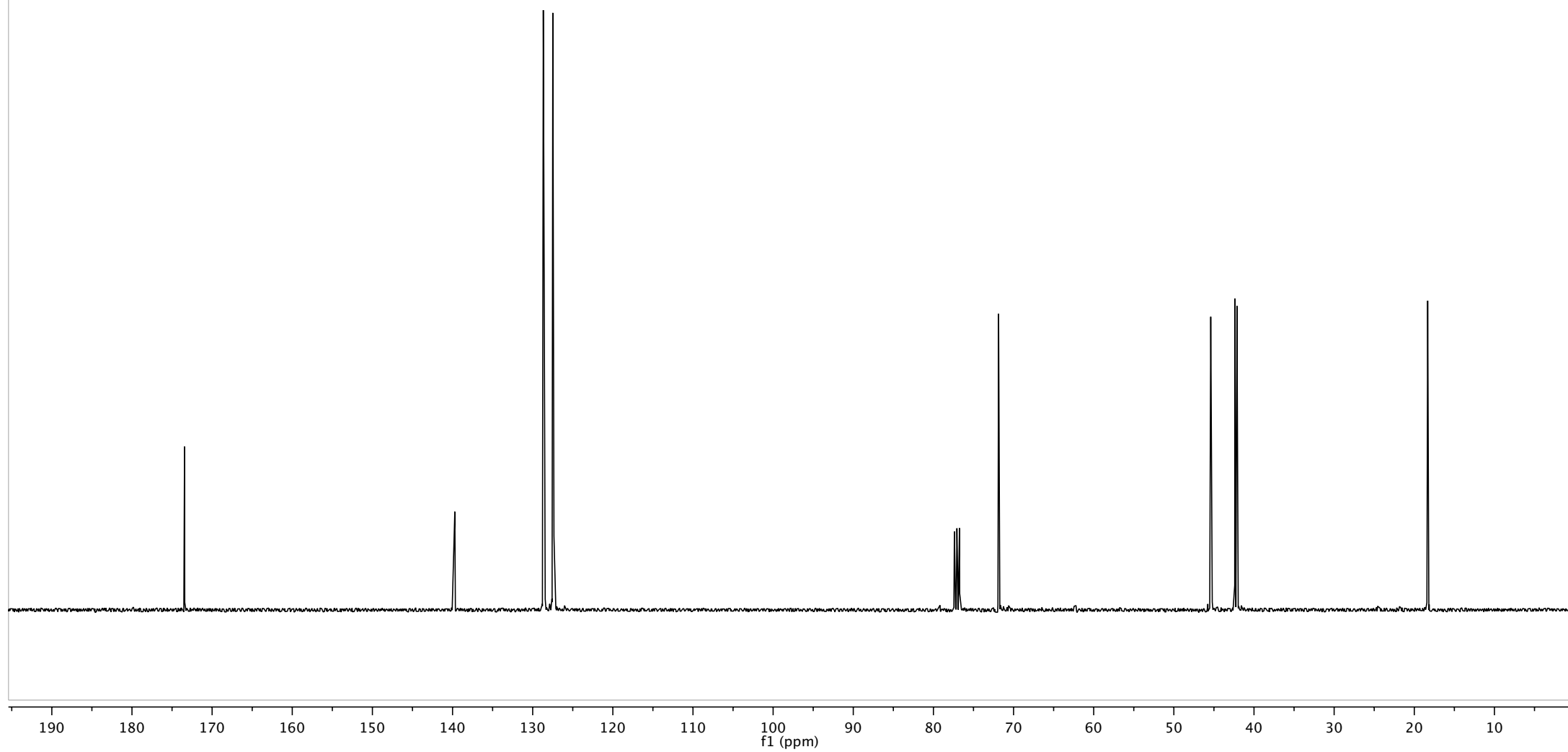


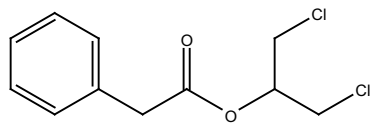
3i





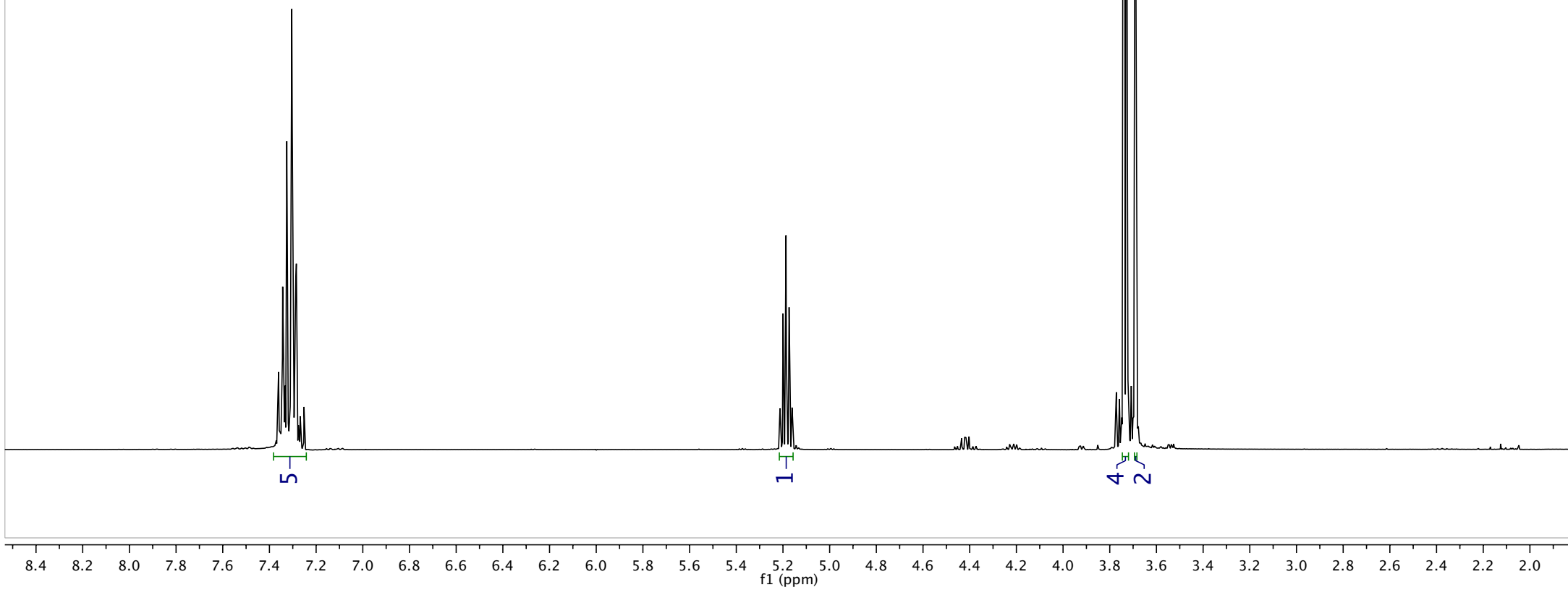
3i

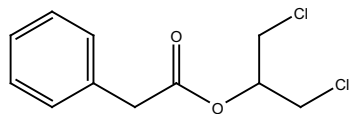




18

3j



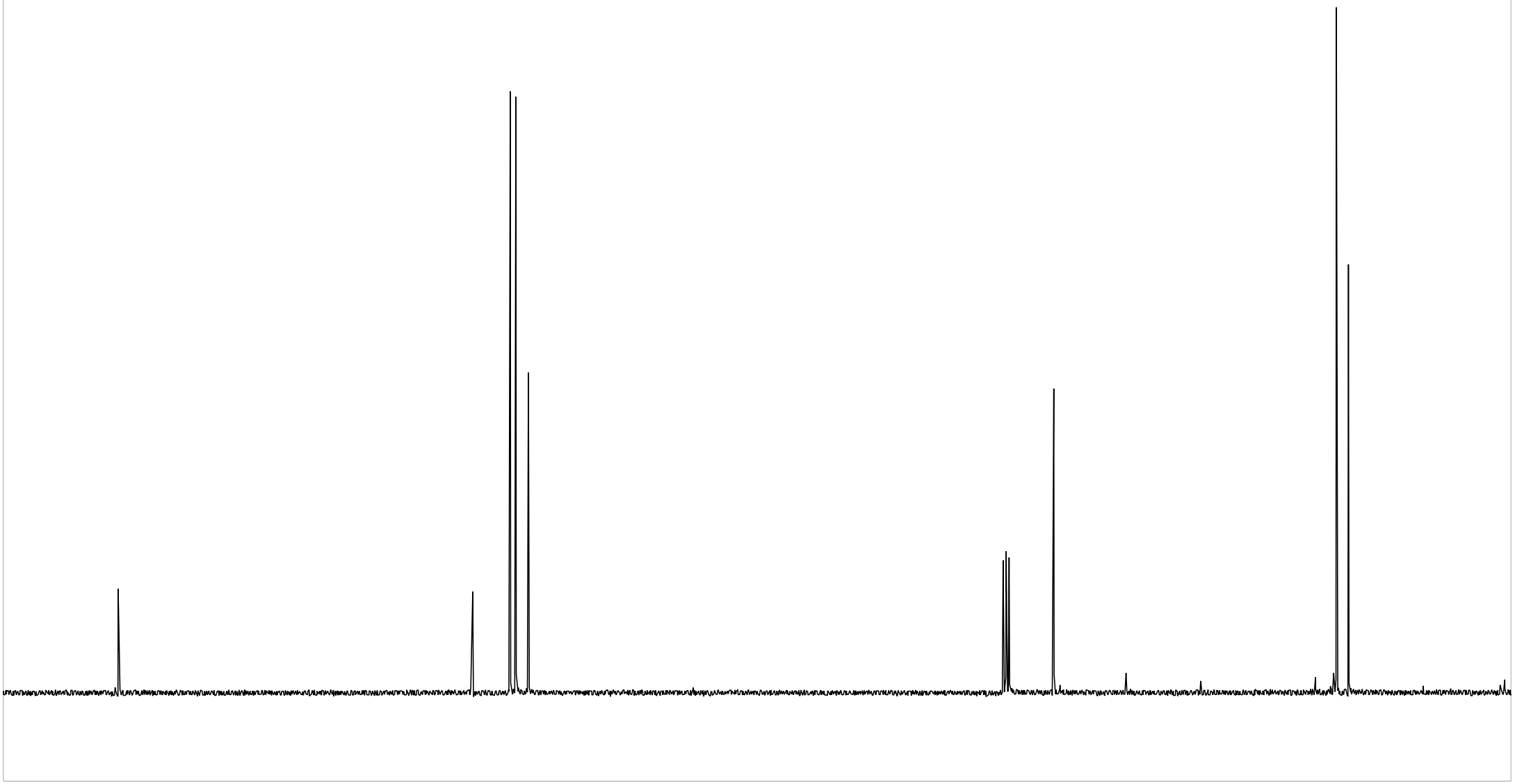


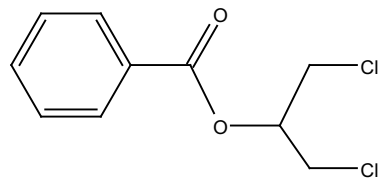
19

3j

180 170 160 150 140 130 120 110 100 90 80 70 60 50 40 30

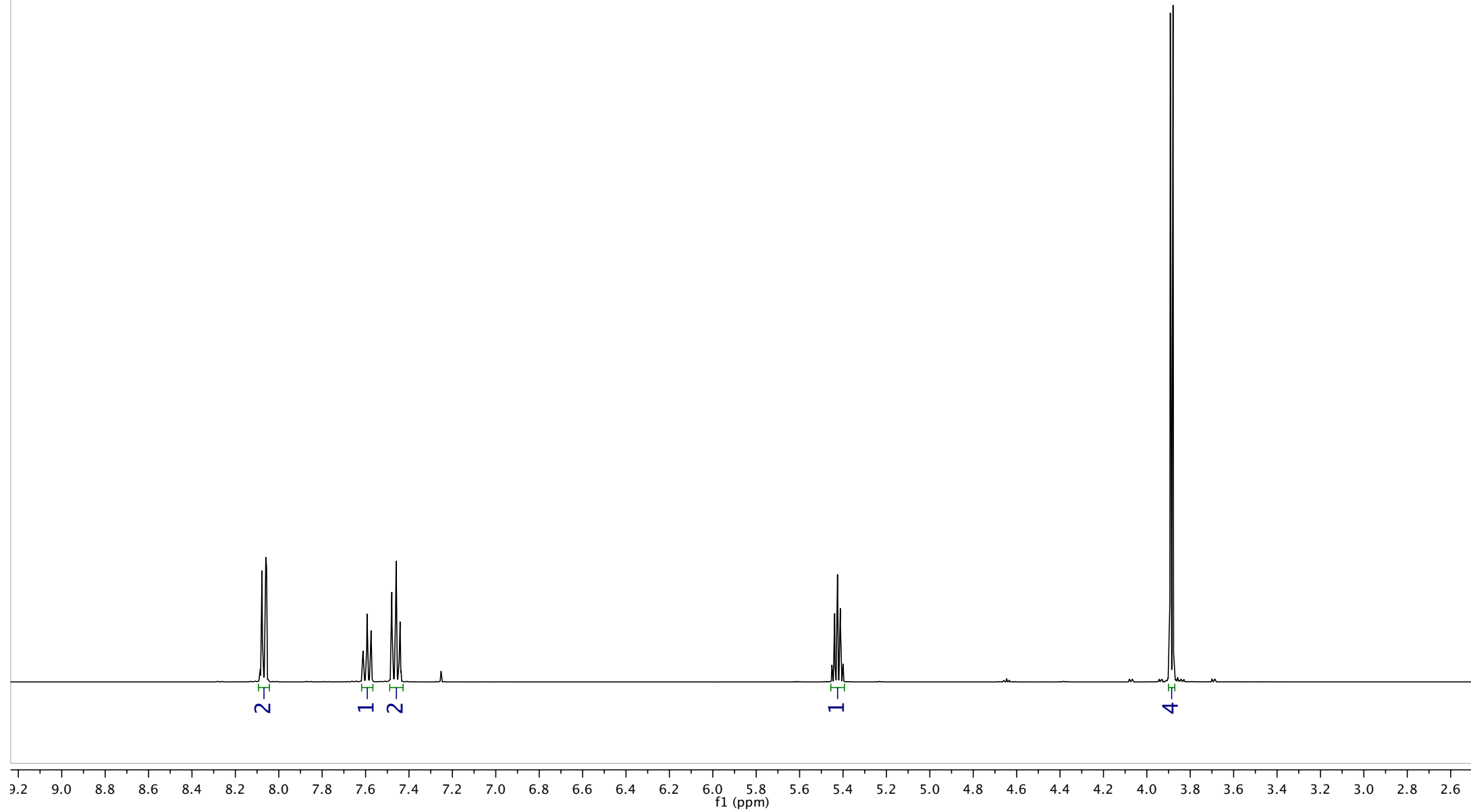
f1 (ppm)

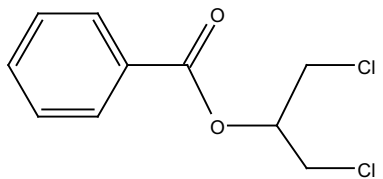




20

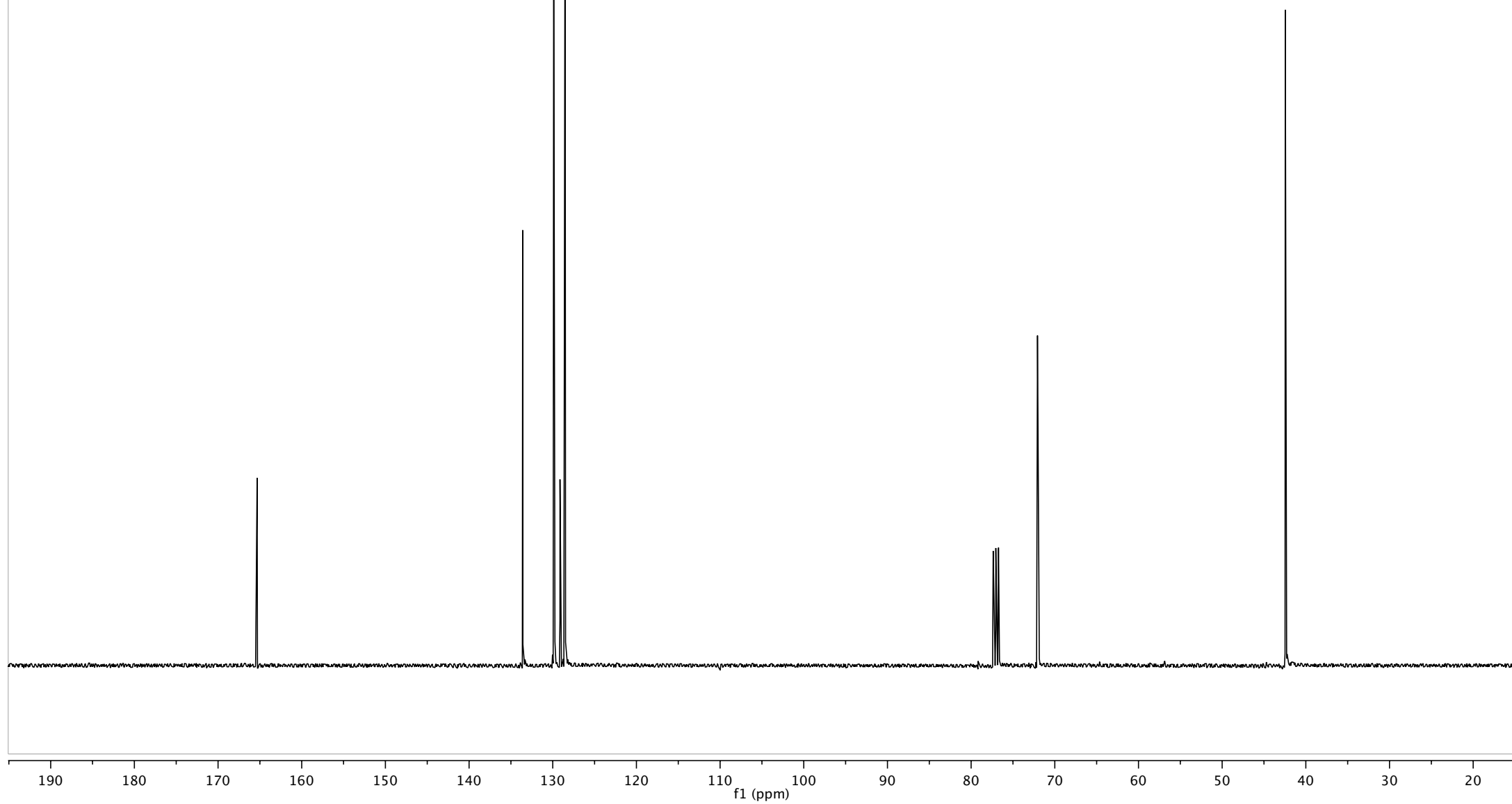
3k

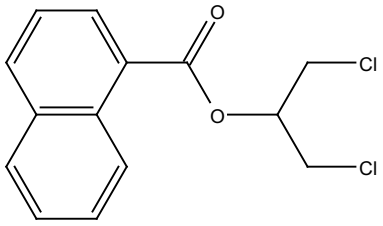




3k

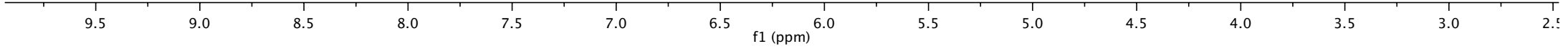
21

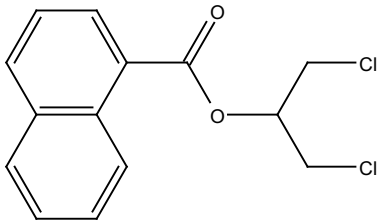




31

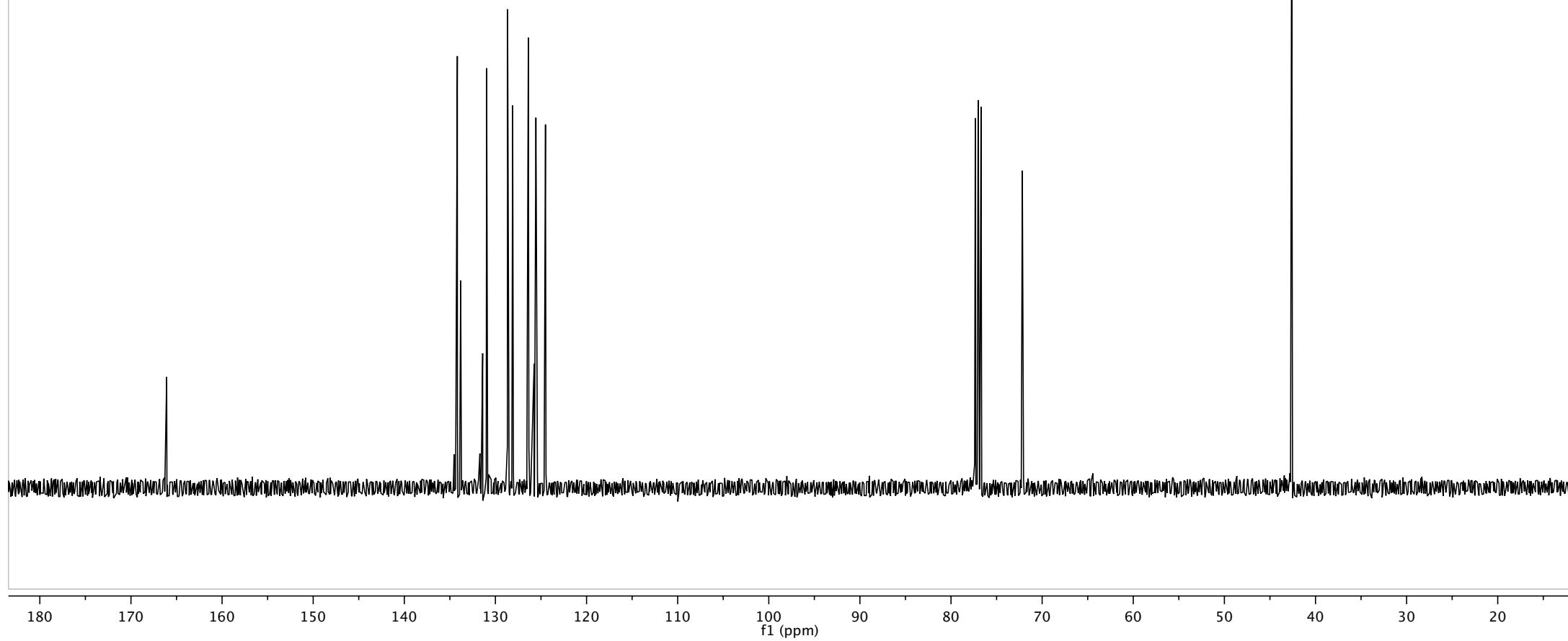
22

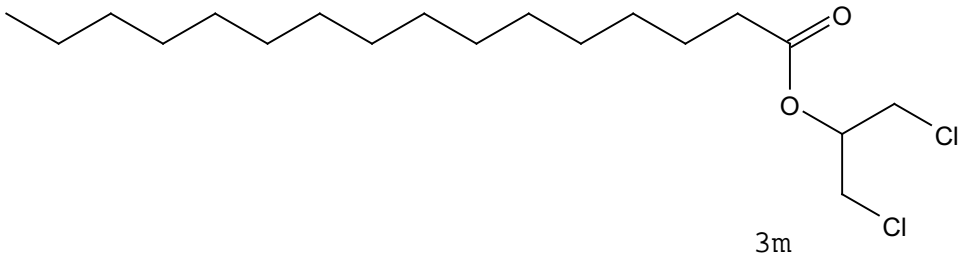




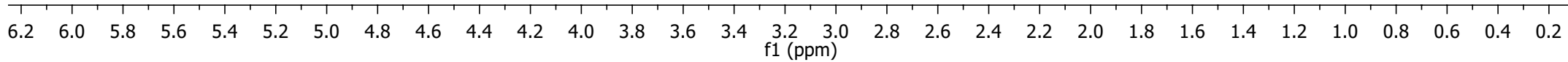
23

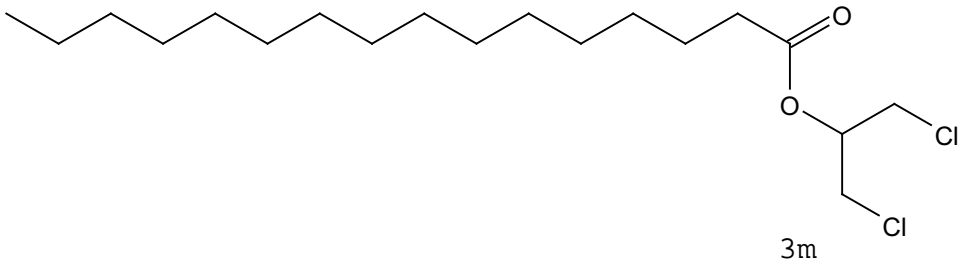
31



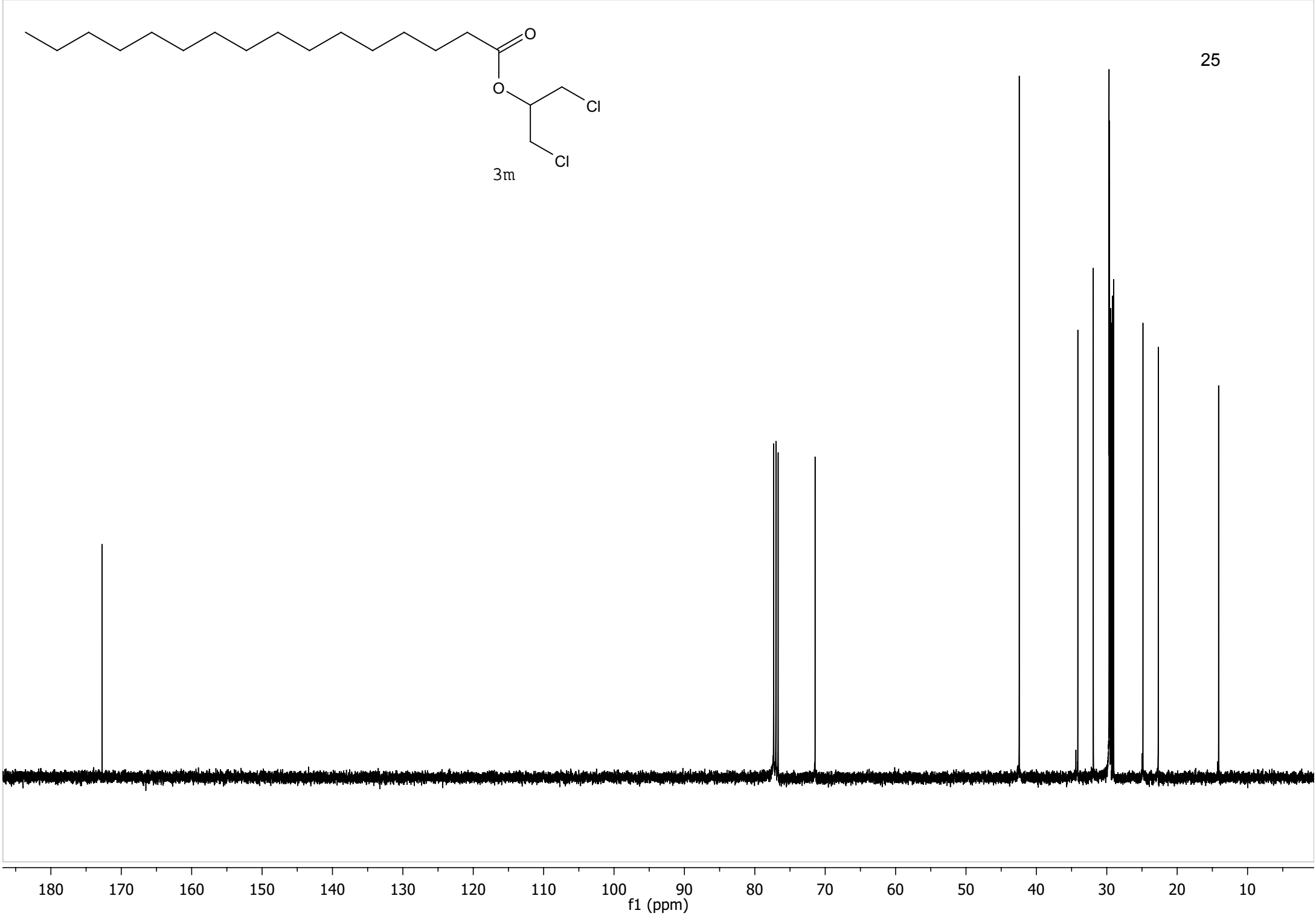


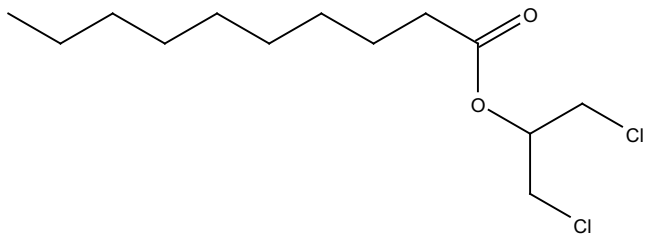
24



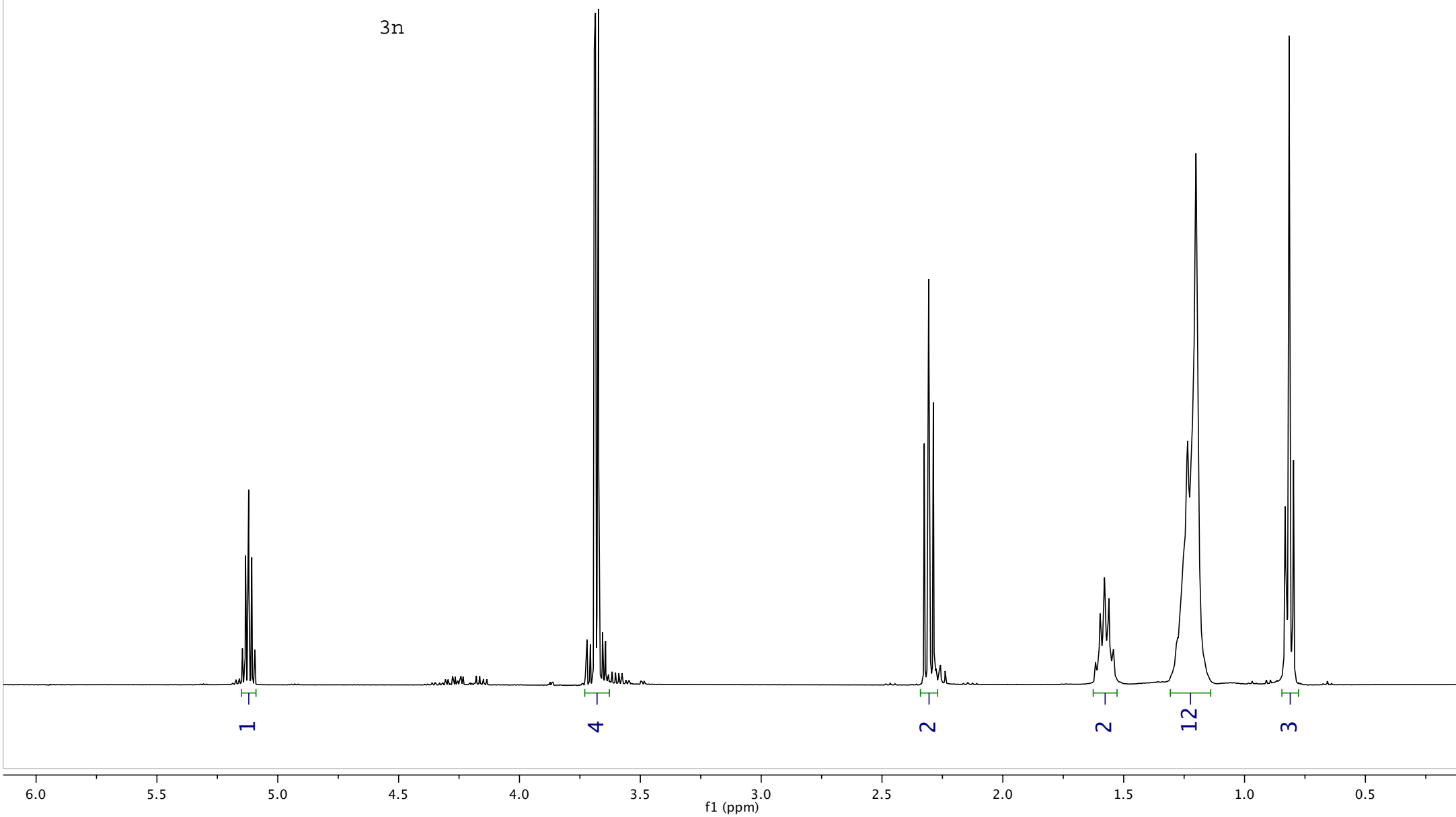


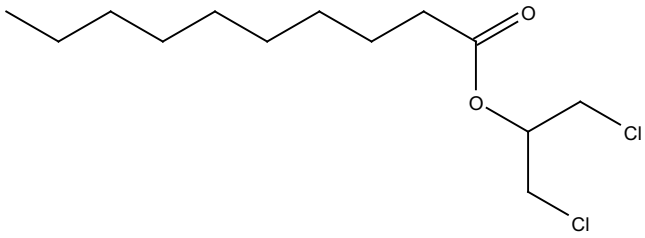
25





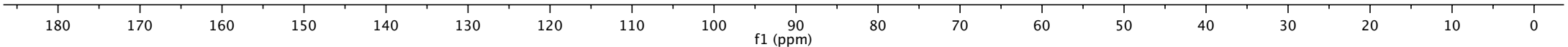
3n

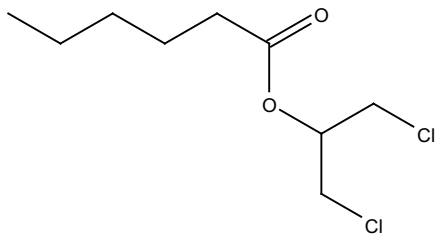




3n

27





3o

7.5 7.0 6.5 6.0 5.5 5.0 4.5 4.0 3.5 3.0 2.5 2.0 1.5 1.0 0.5 0.0 -0.5
f1 (ppm)

1

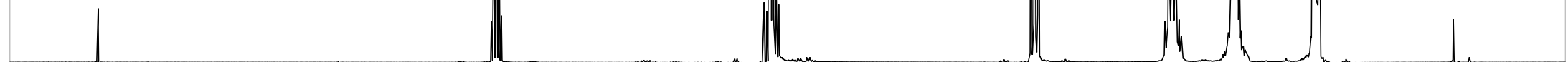
4

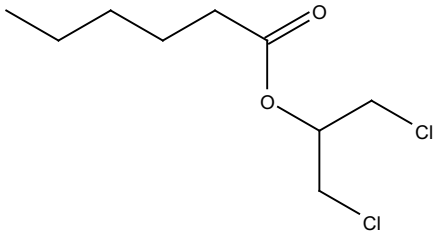
2

2

4

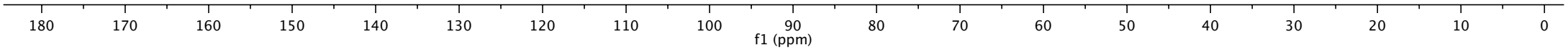
3

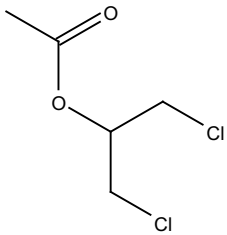




30

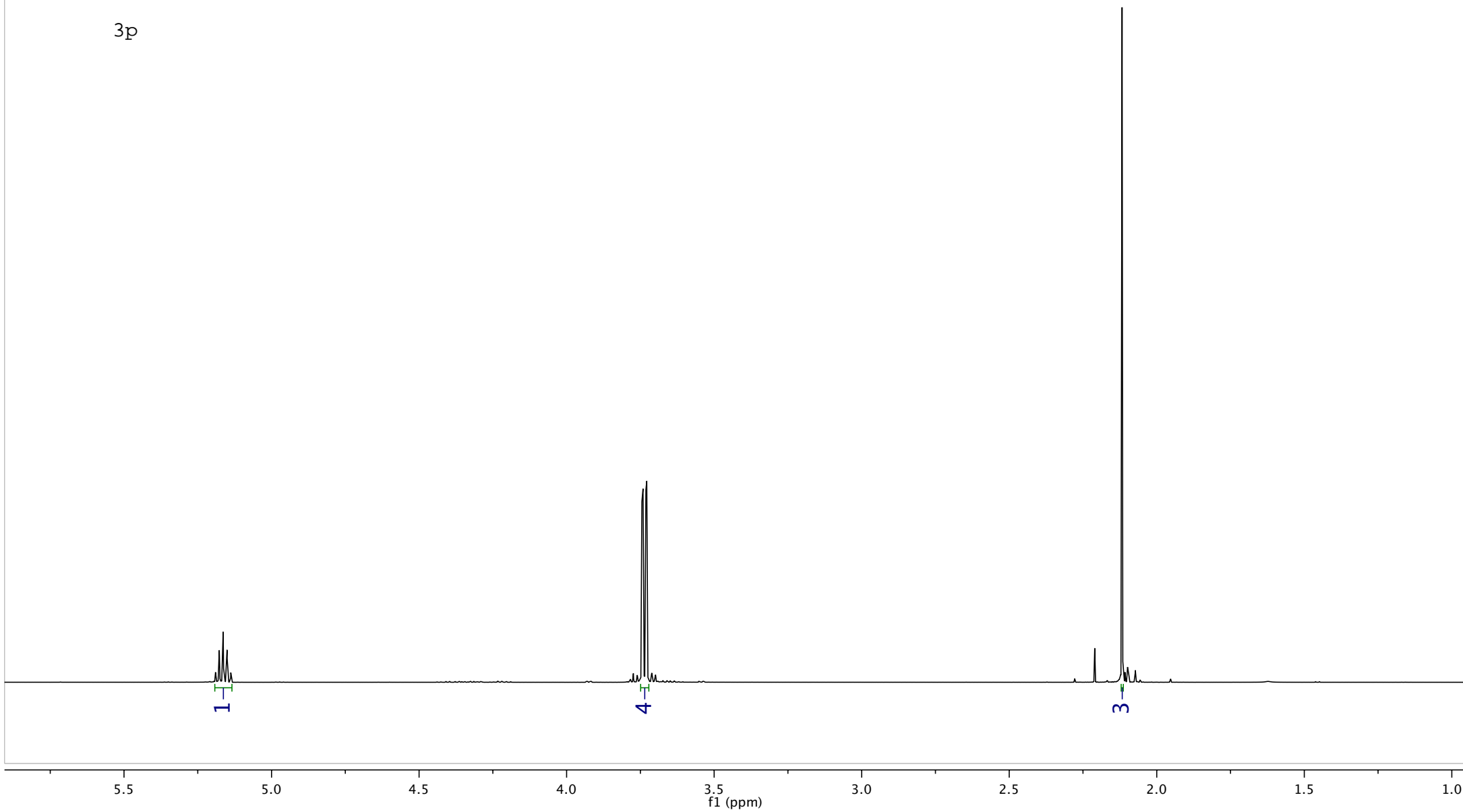
29

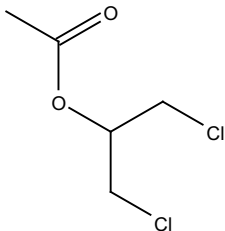




30

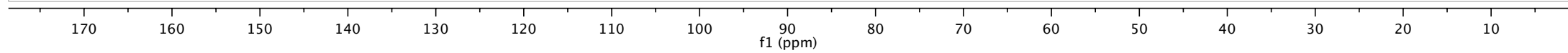
3p

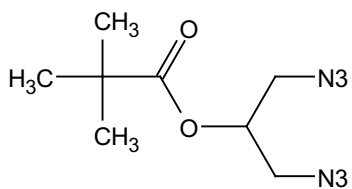




3p

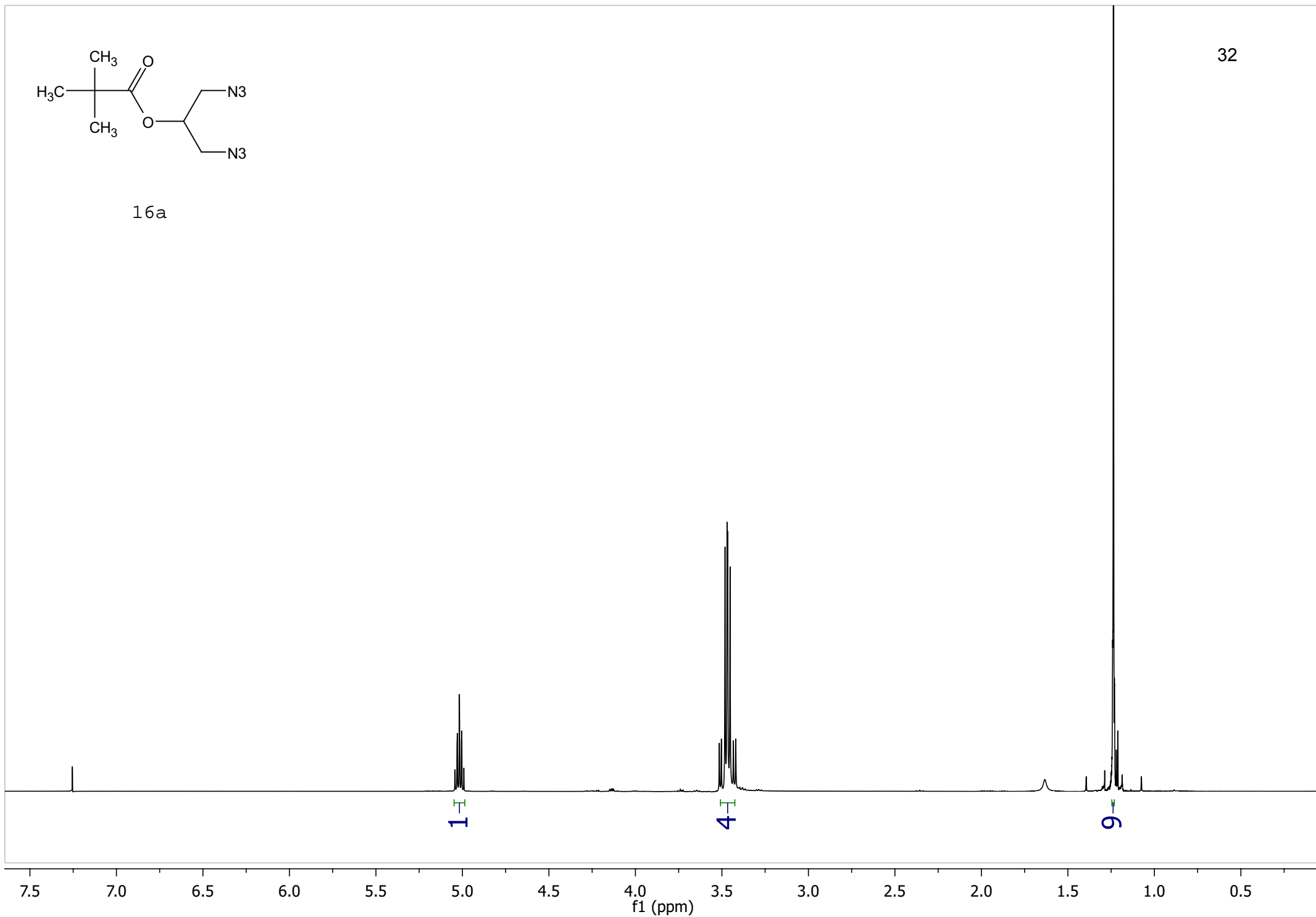
31

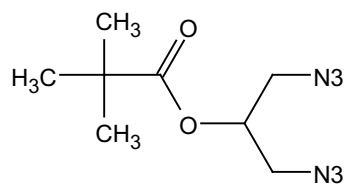




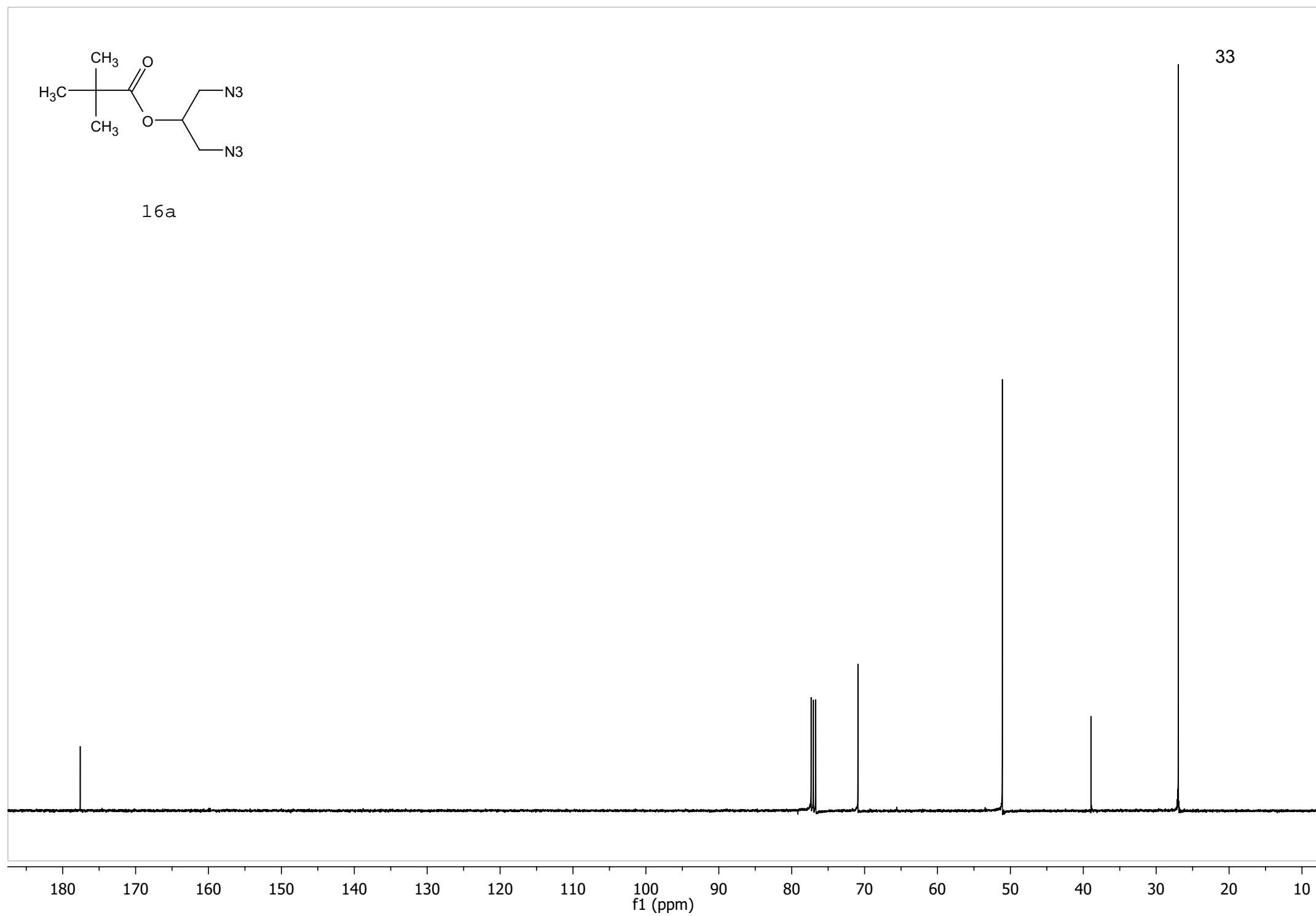
16a

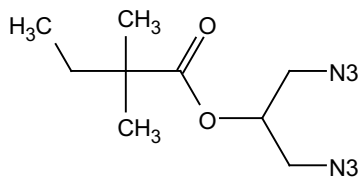
32





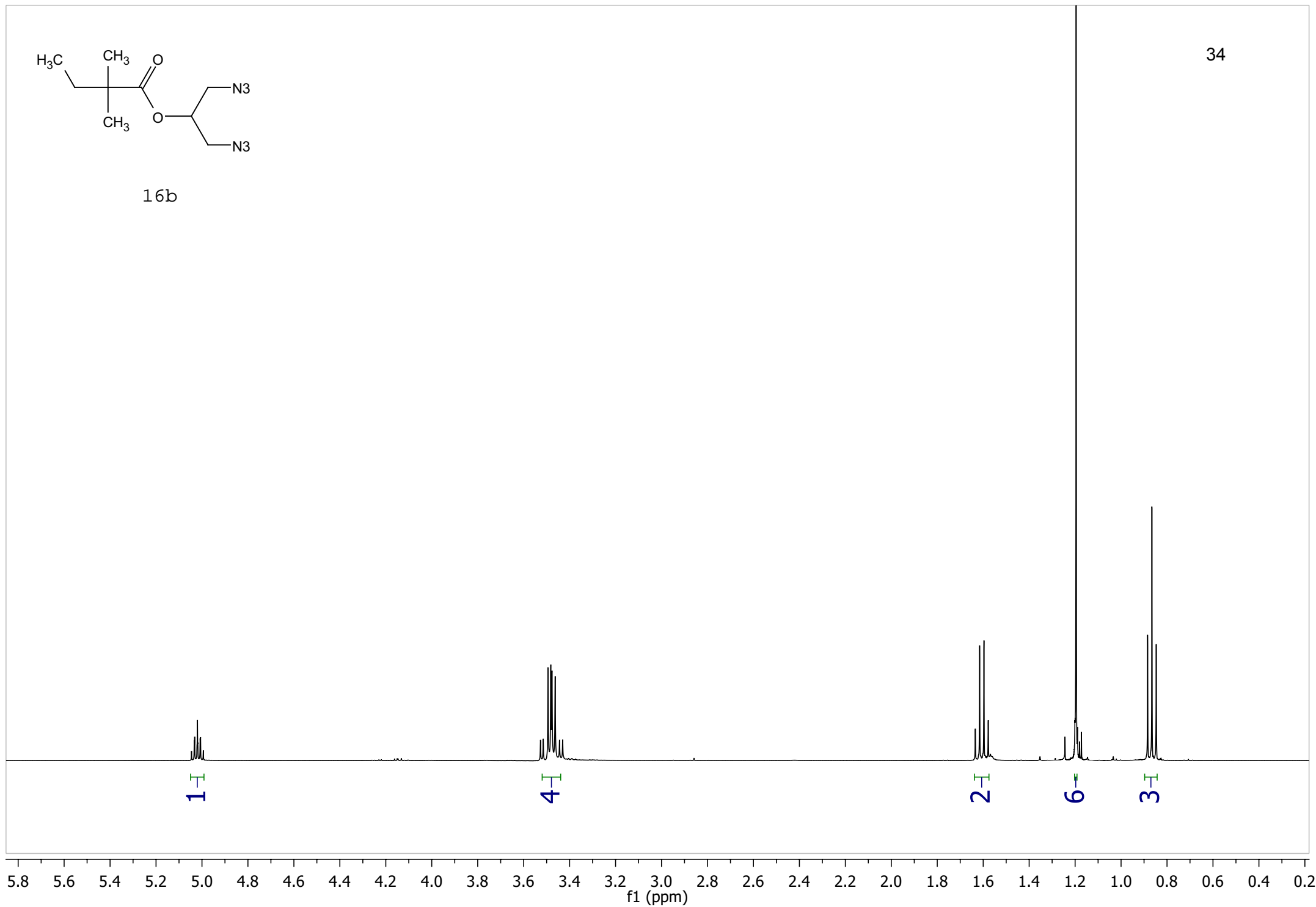
16a

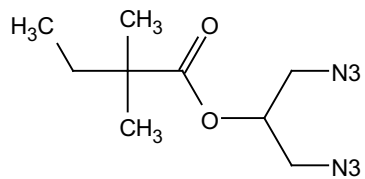




16b

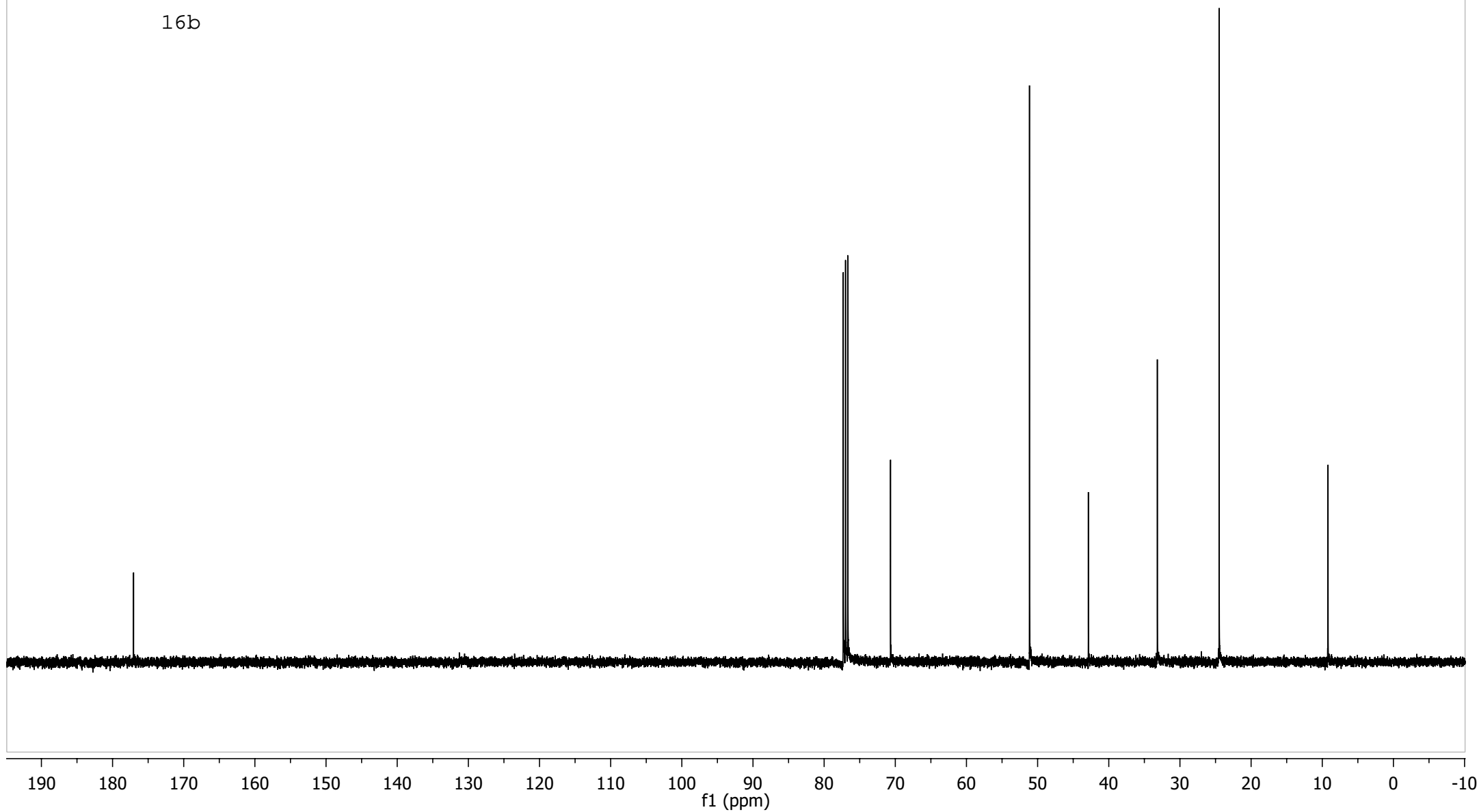
34

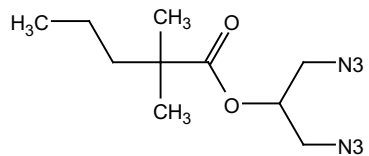




16b

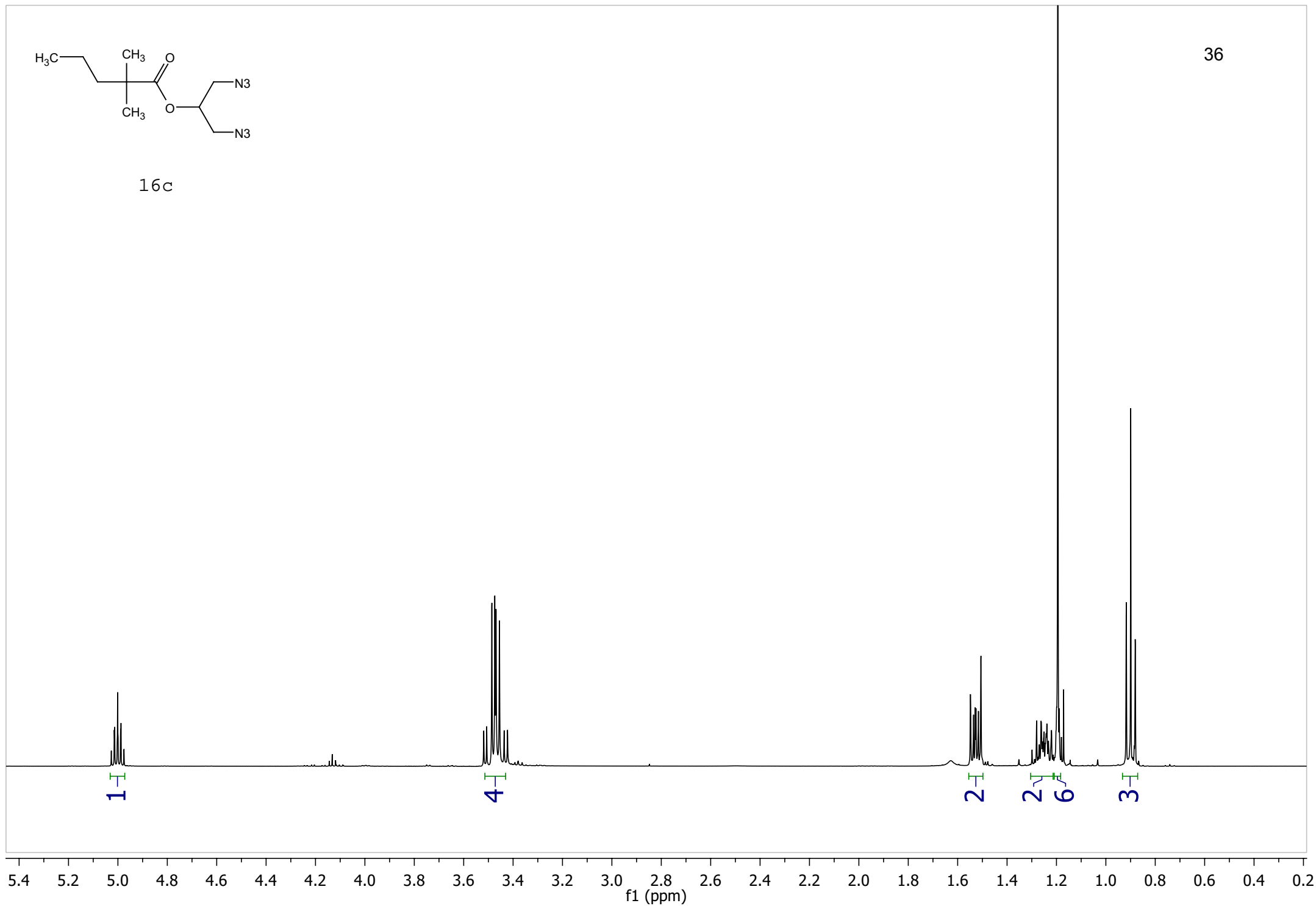
35

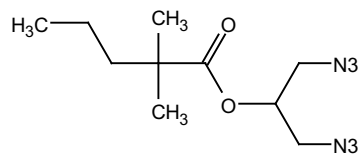




16c

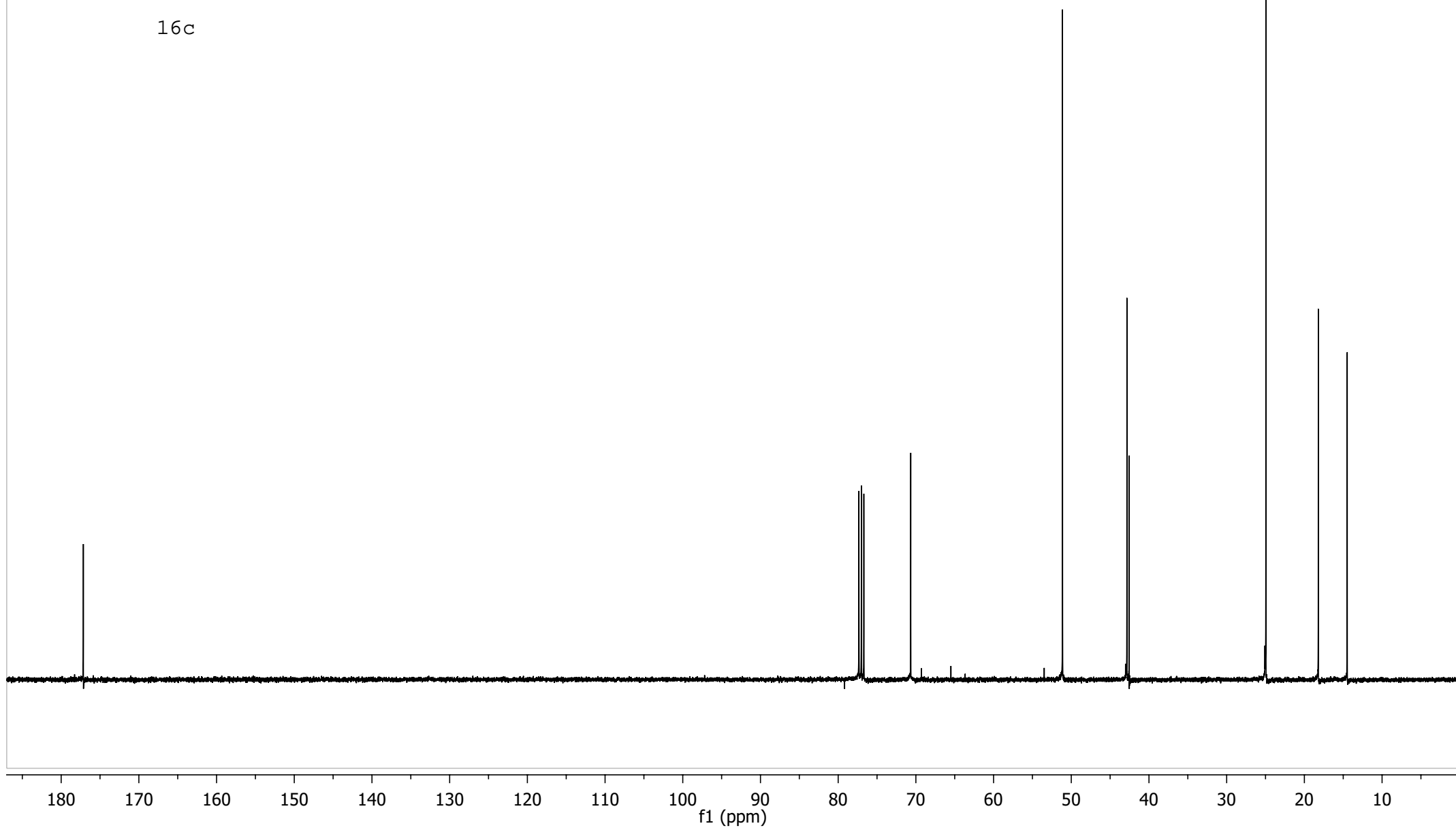
36

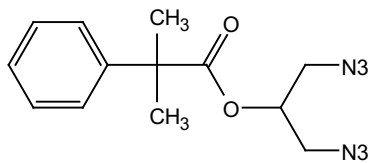




16c

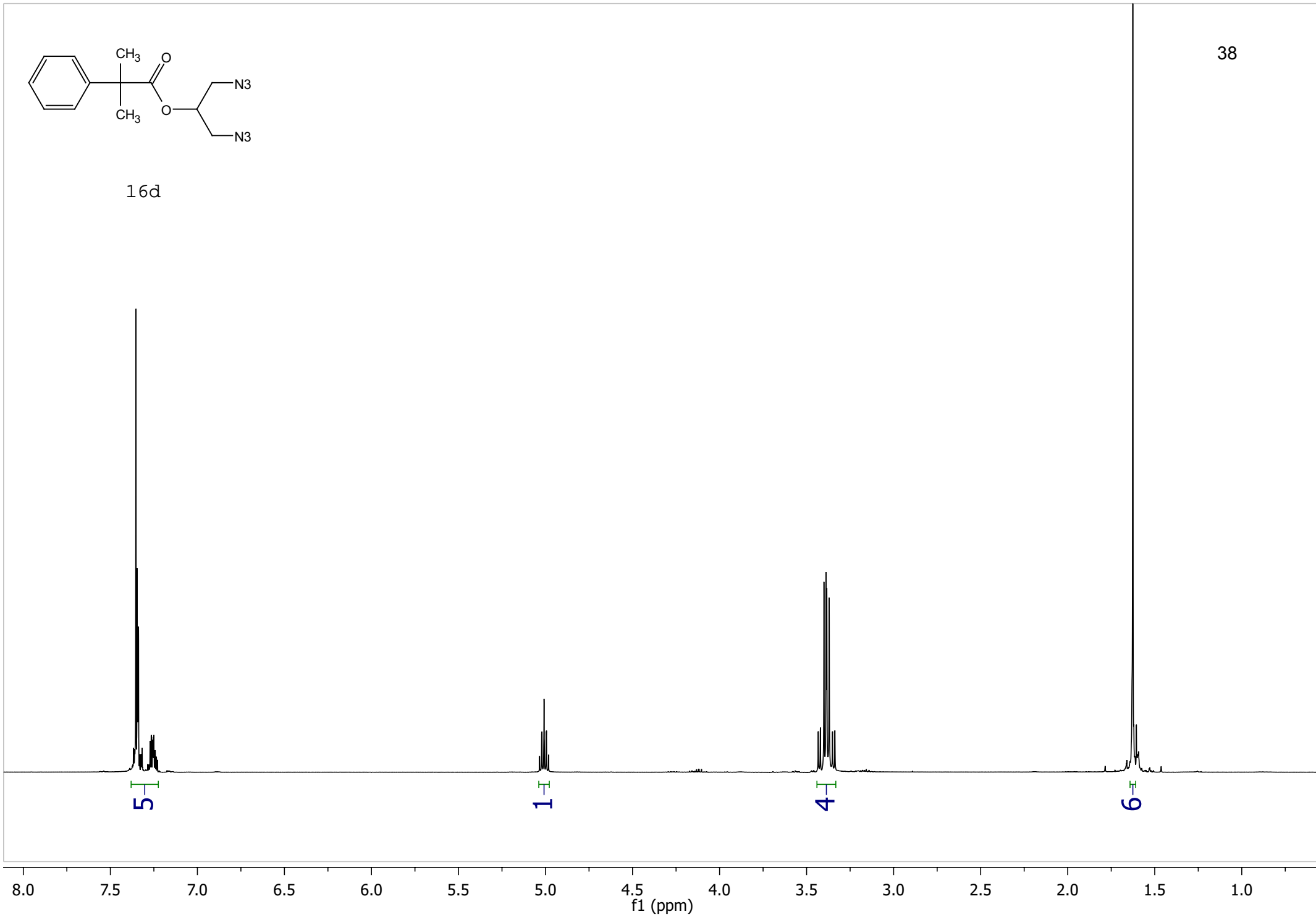
37

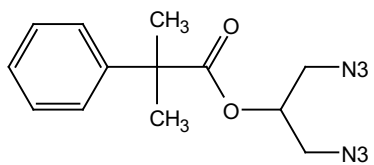




16d

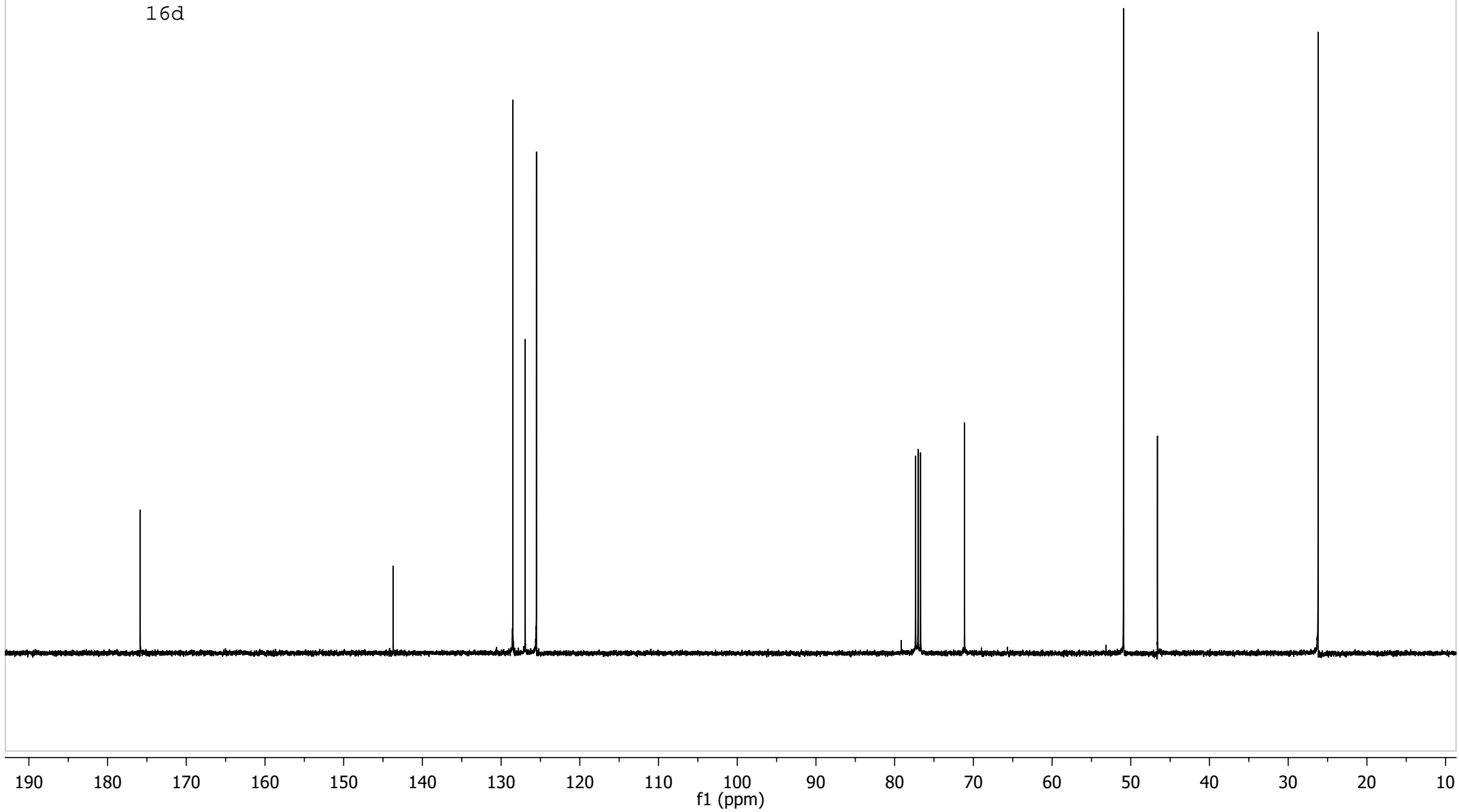
38

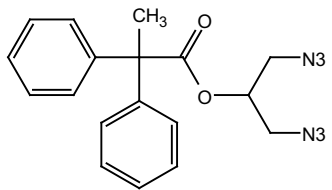




16d

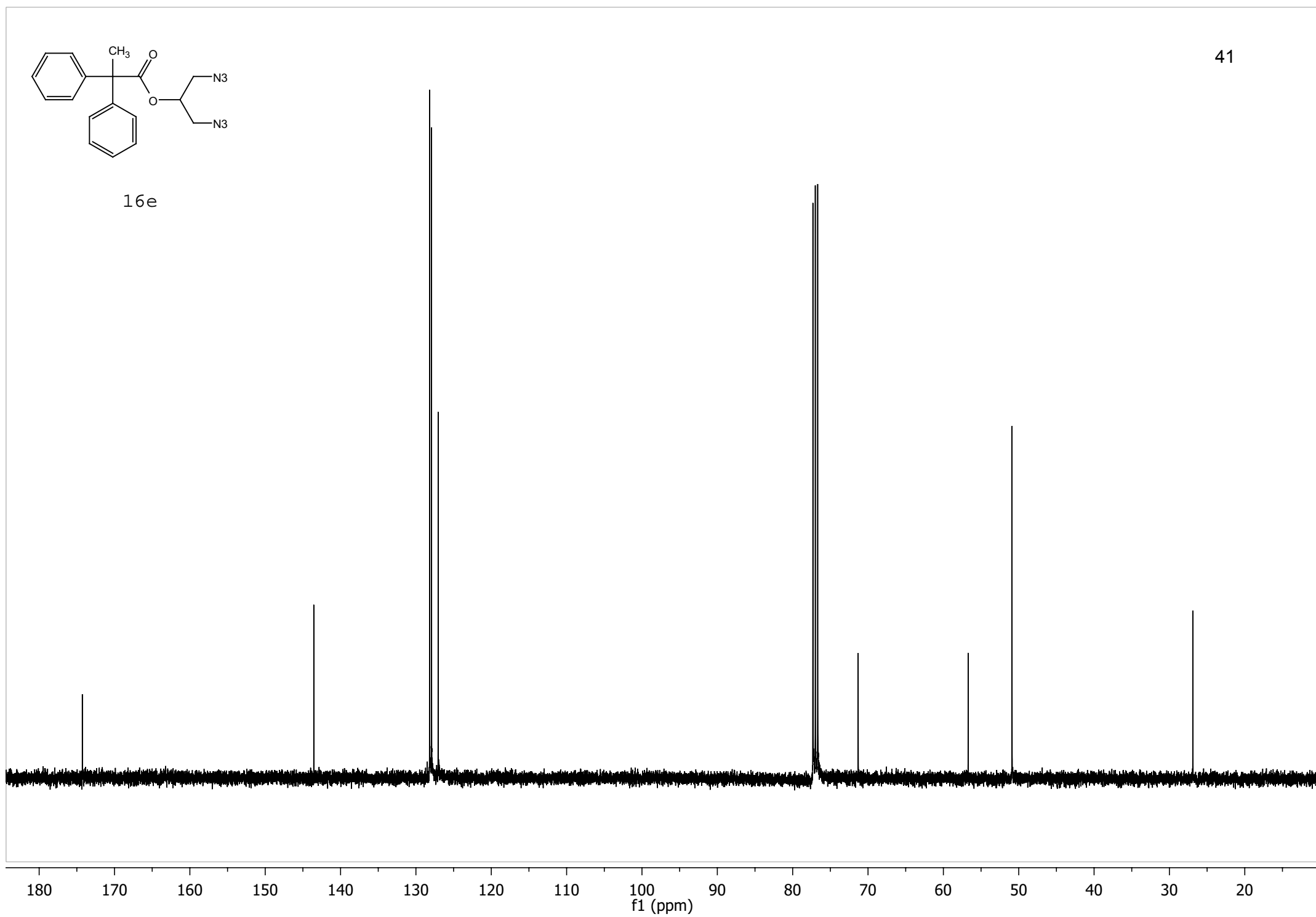
39

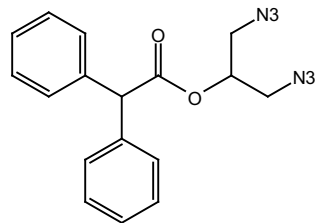




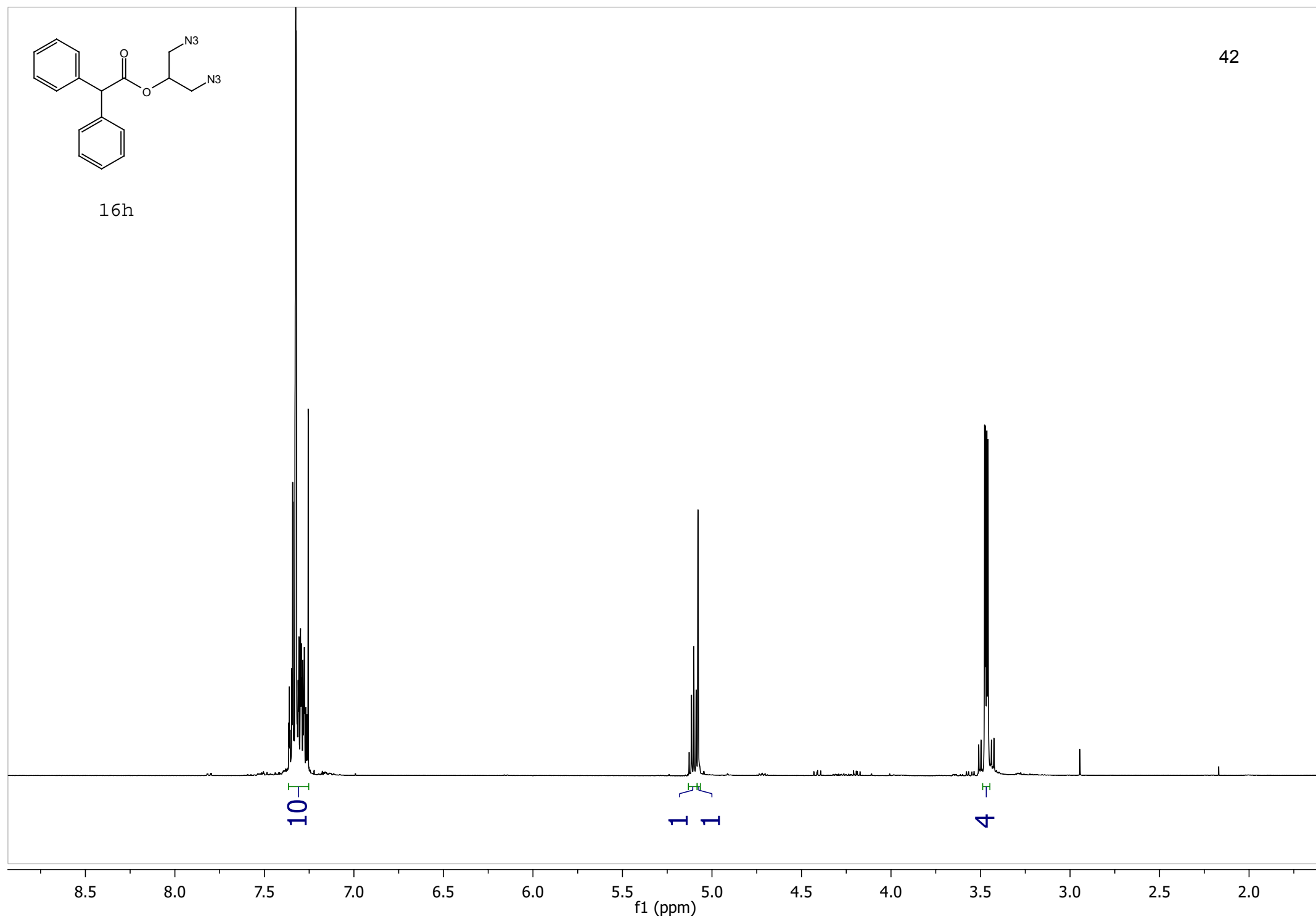
16e

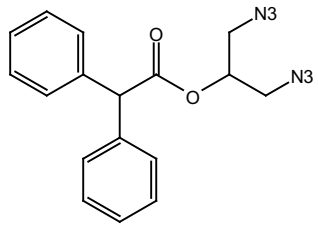
41





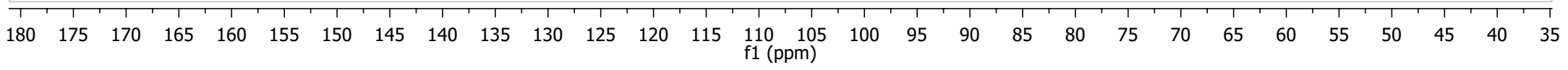
16h

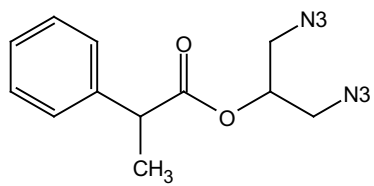




16h

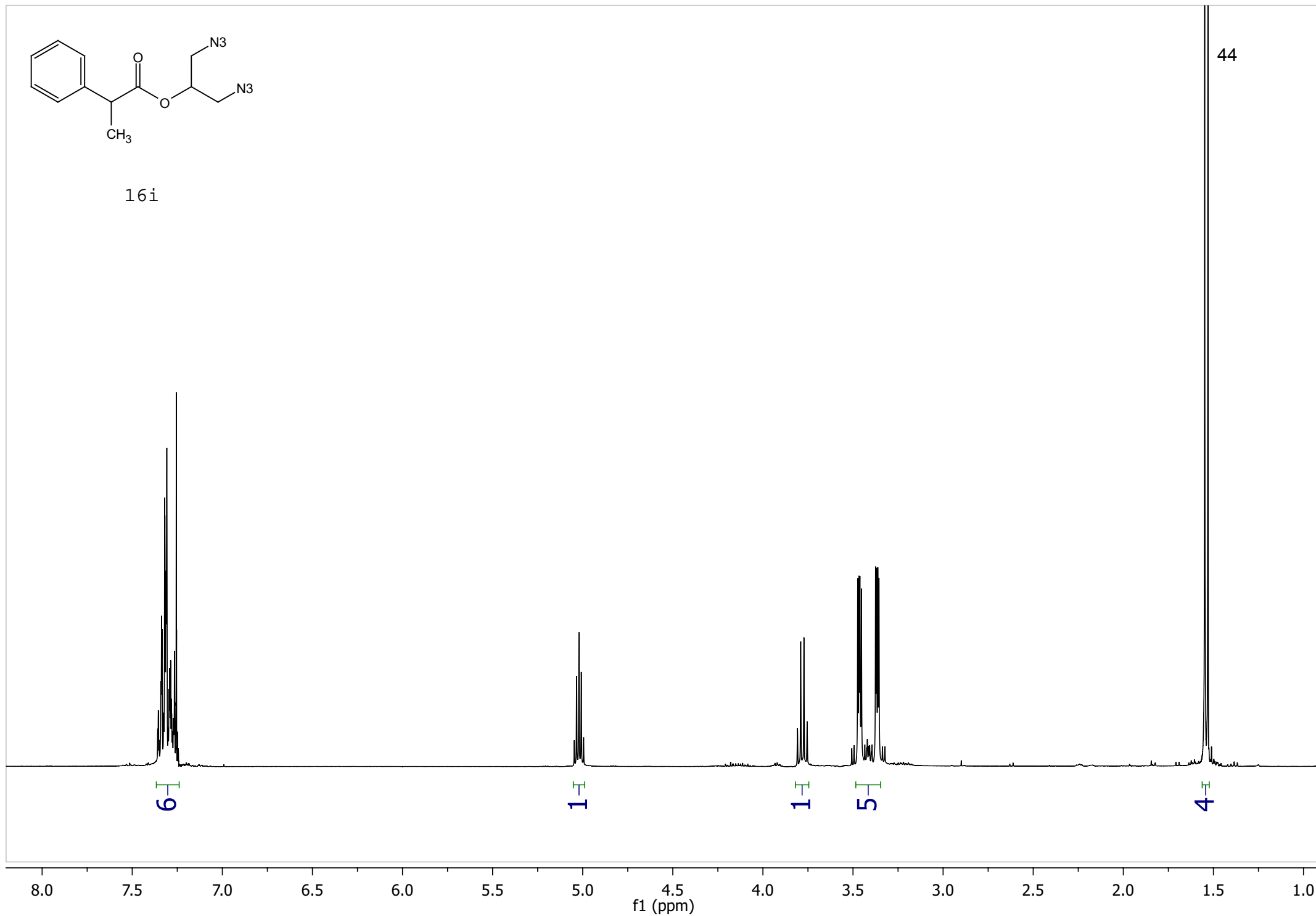
43

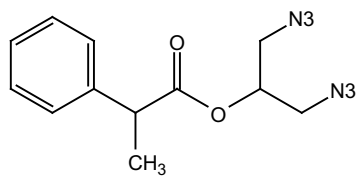




16i

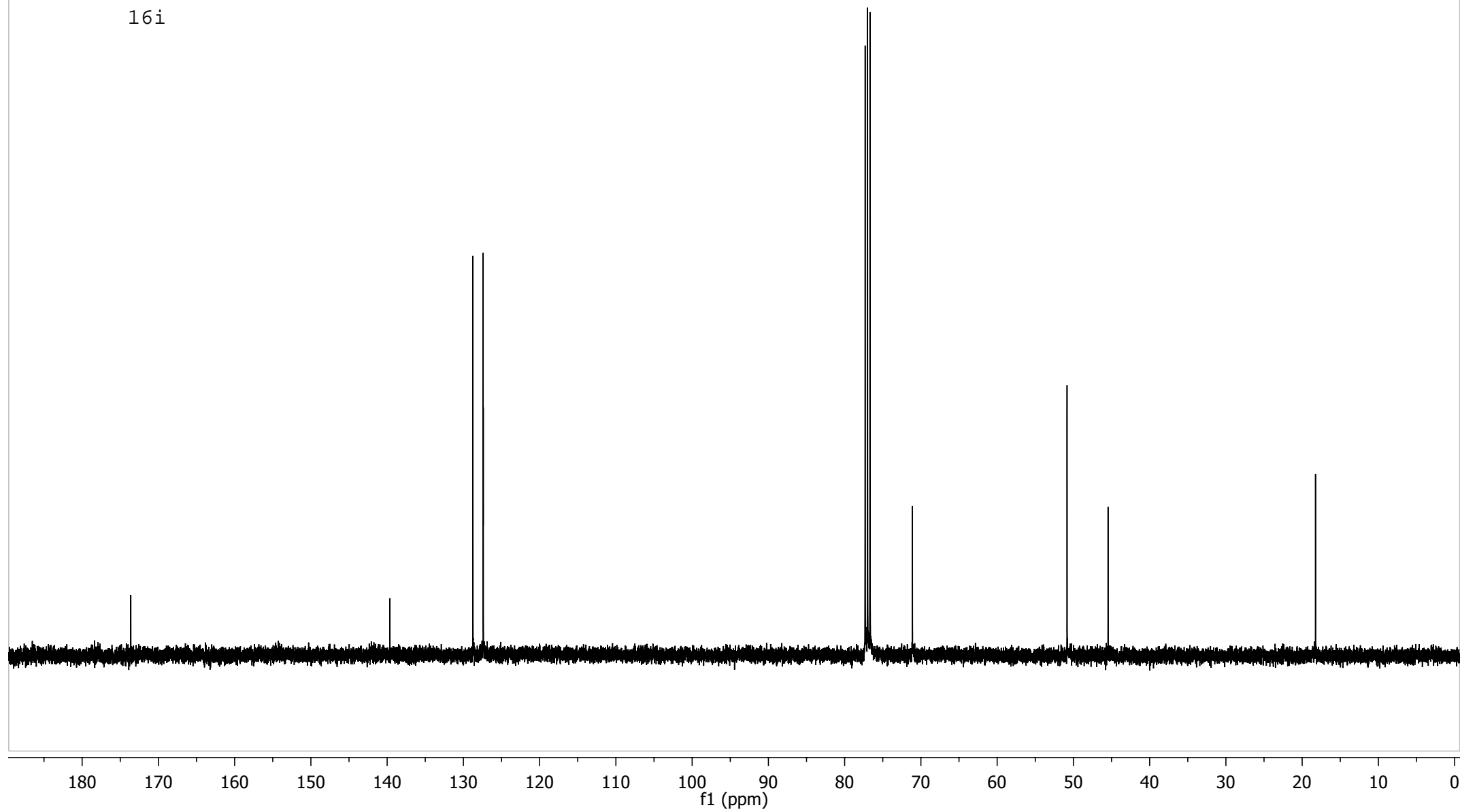
44

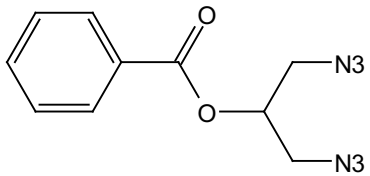




45

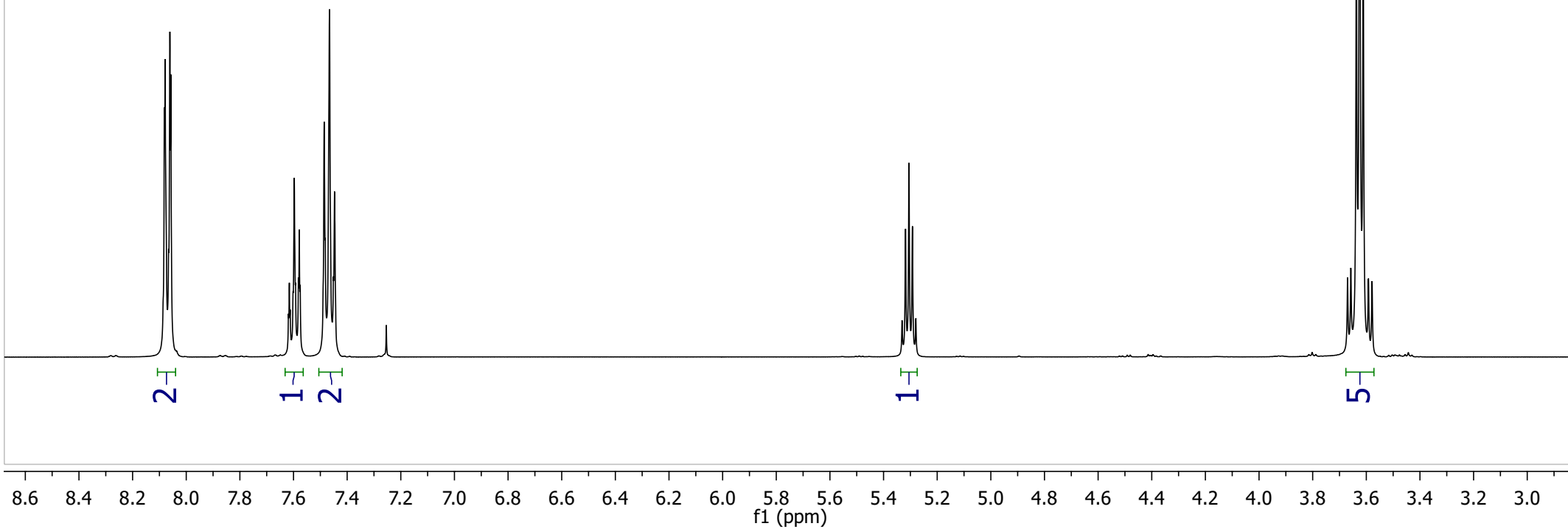
16i

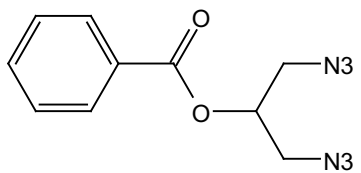




16k

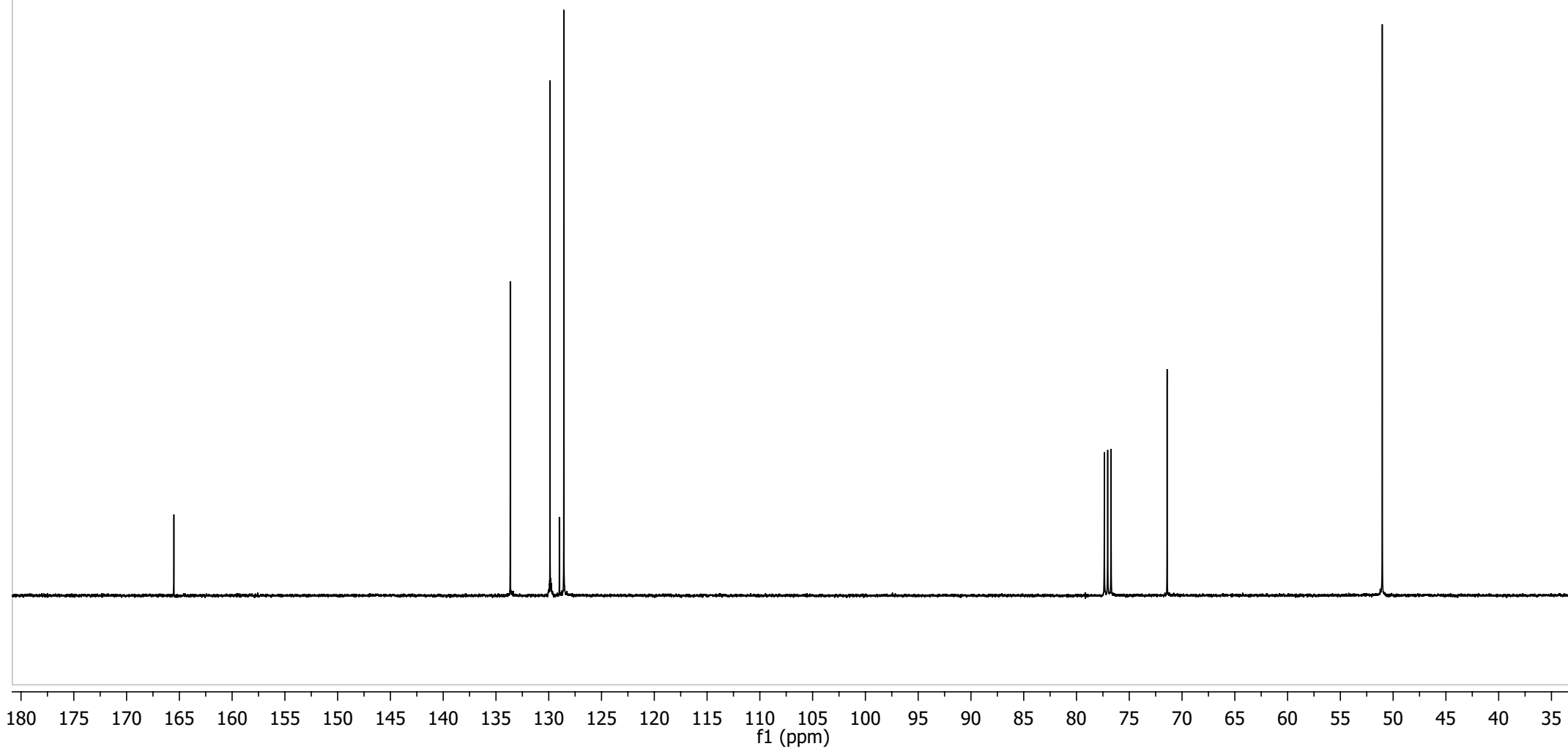
46

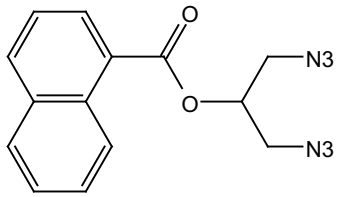




16k

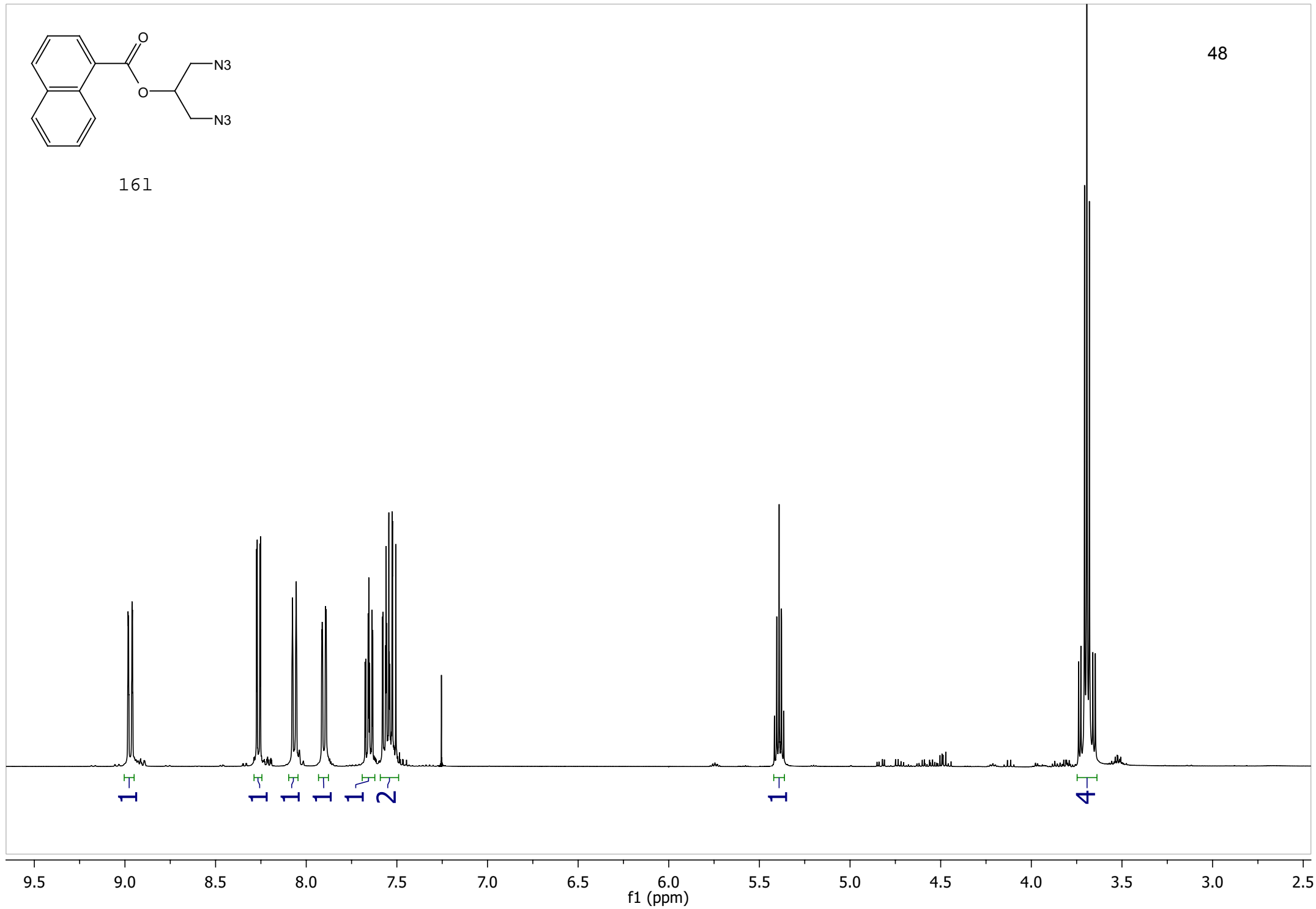
47

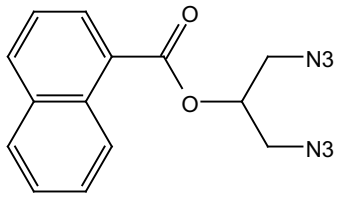




161

48



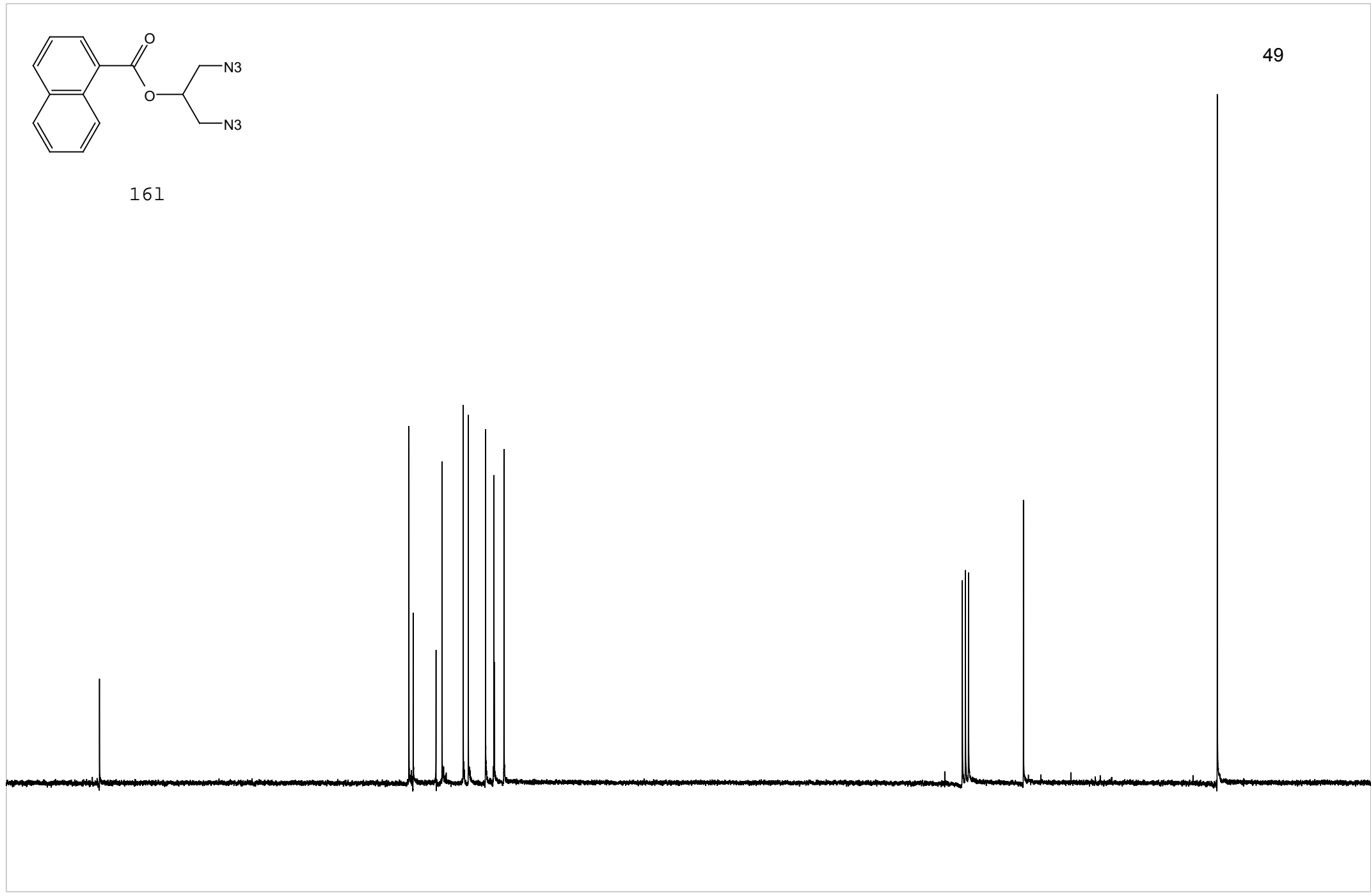


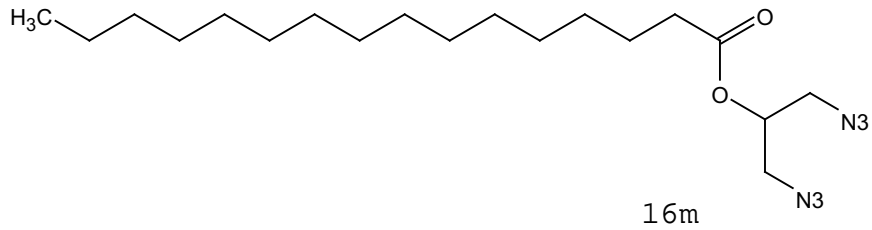
161

49

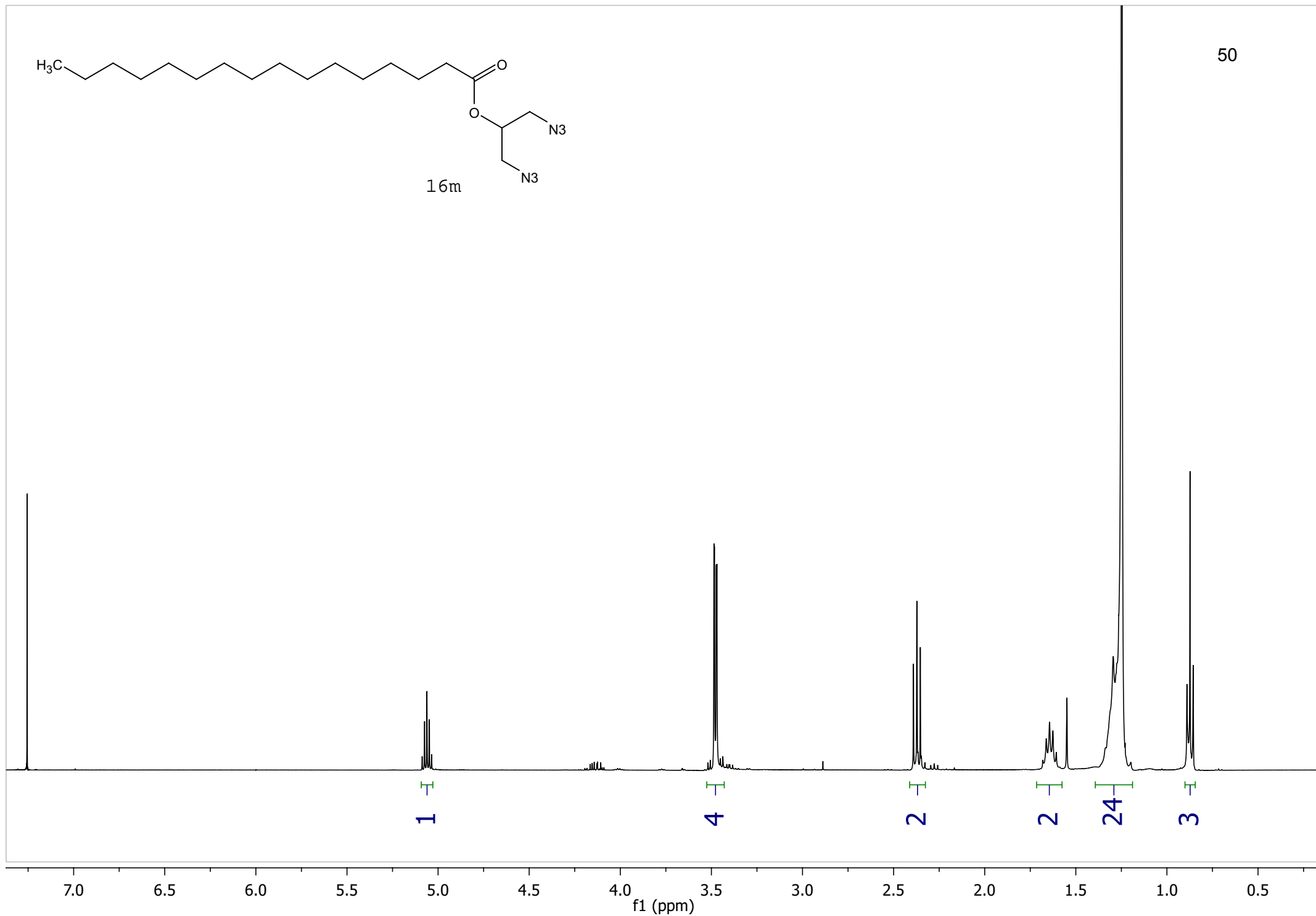
175 170 165 160 155 150 145 140 135 130 125 120 115 110 105 100 95 90 85 80 75 70 65 60 55 50 45 40

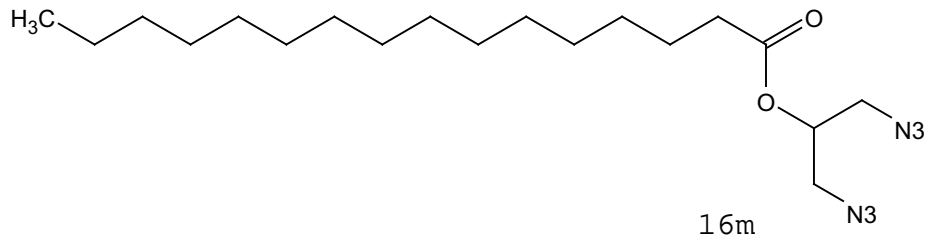
f1 (ppm)





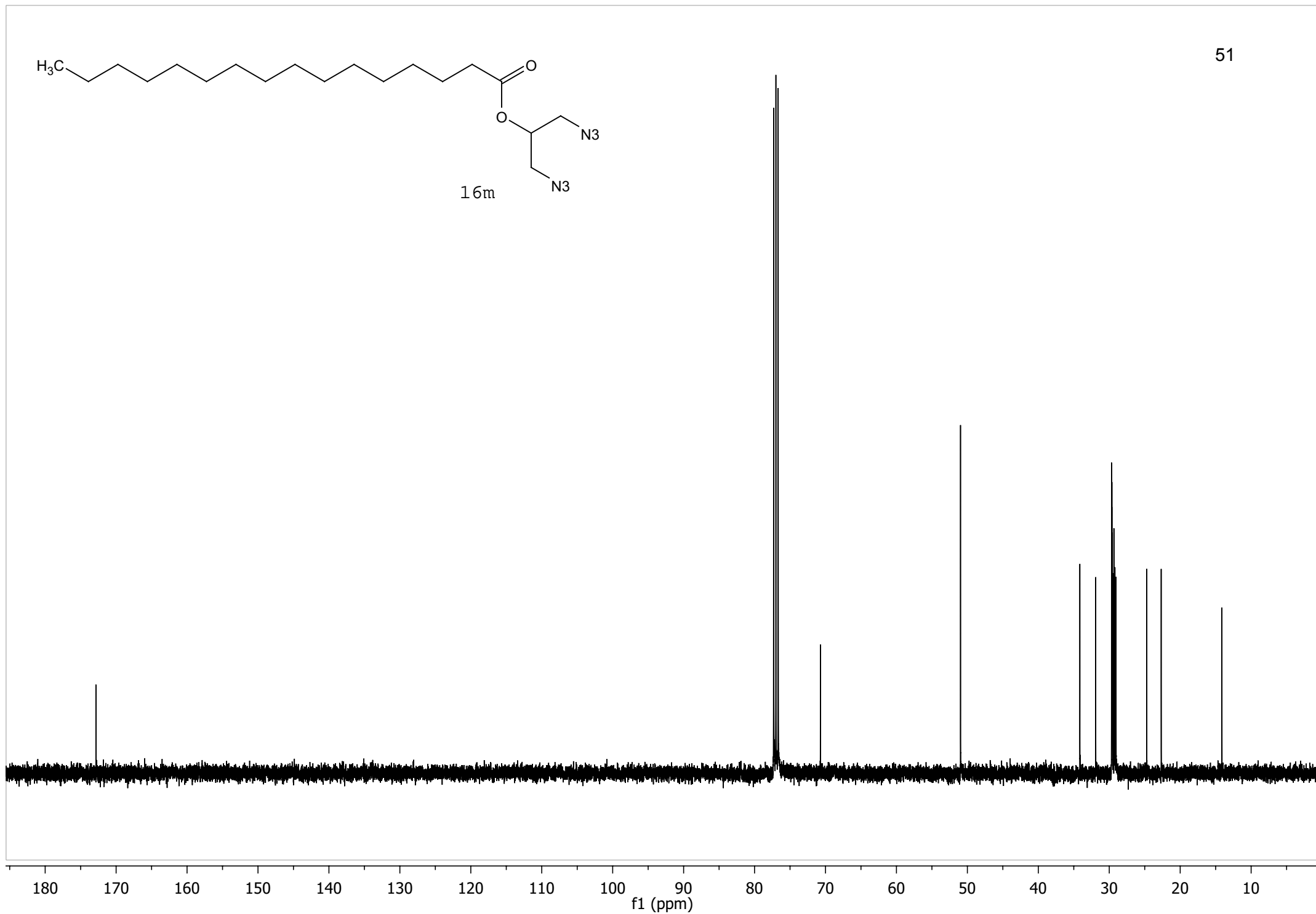
50

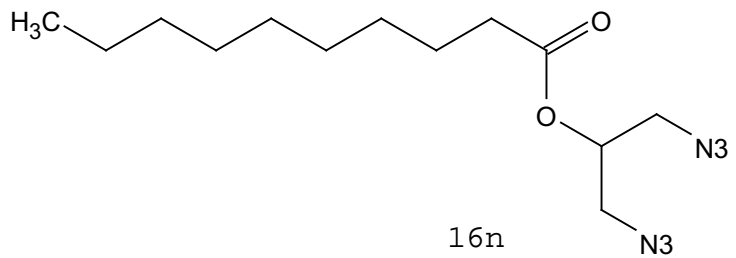




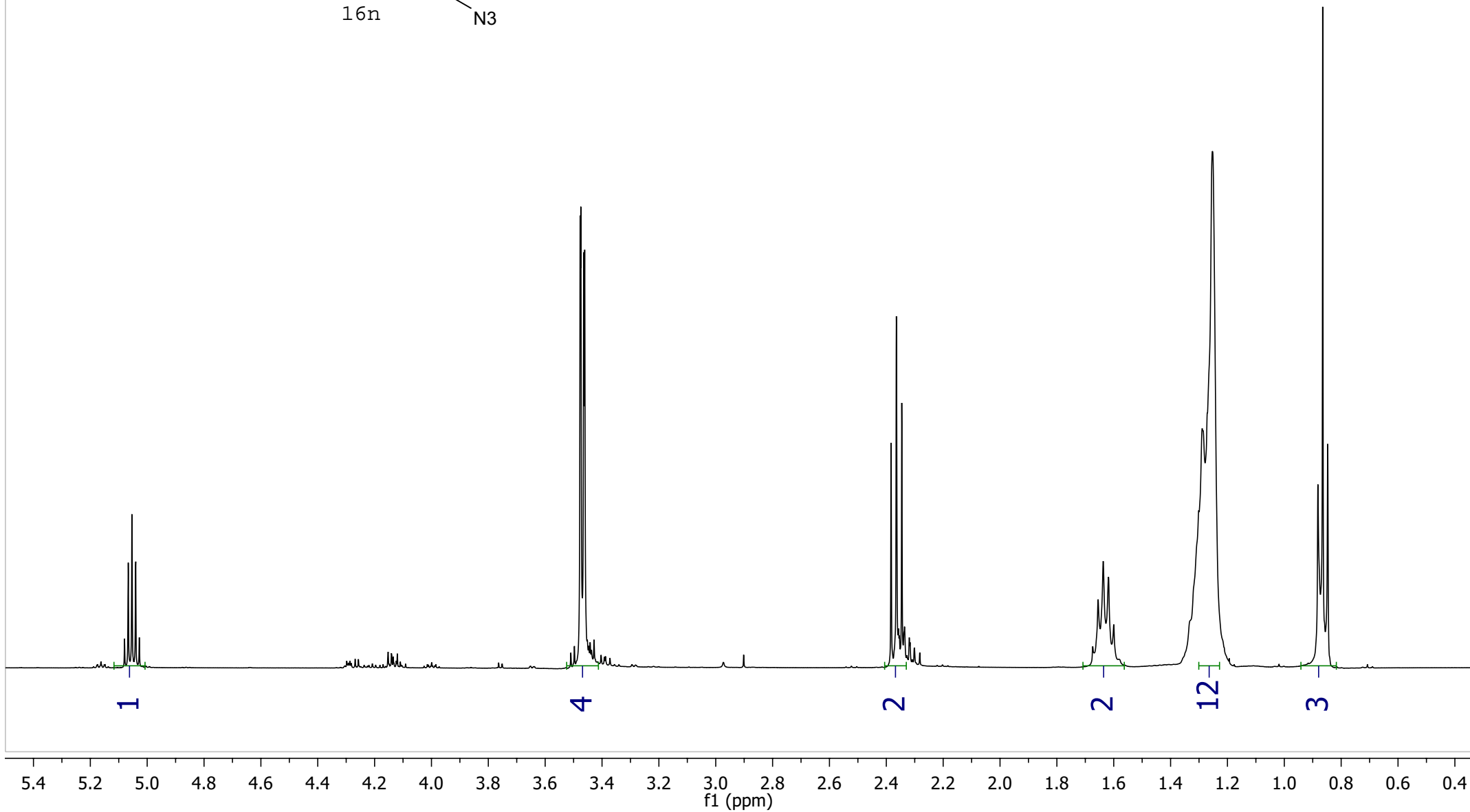
51

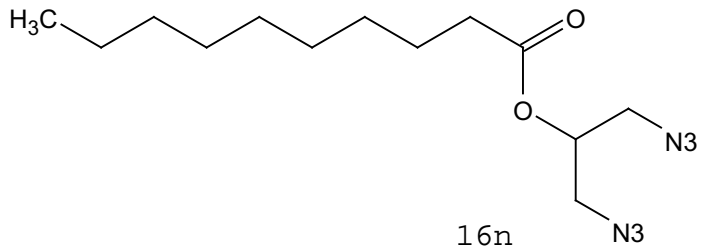
16m



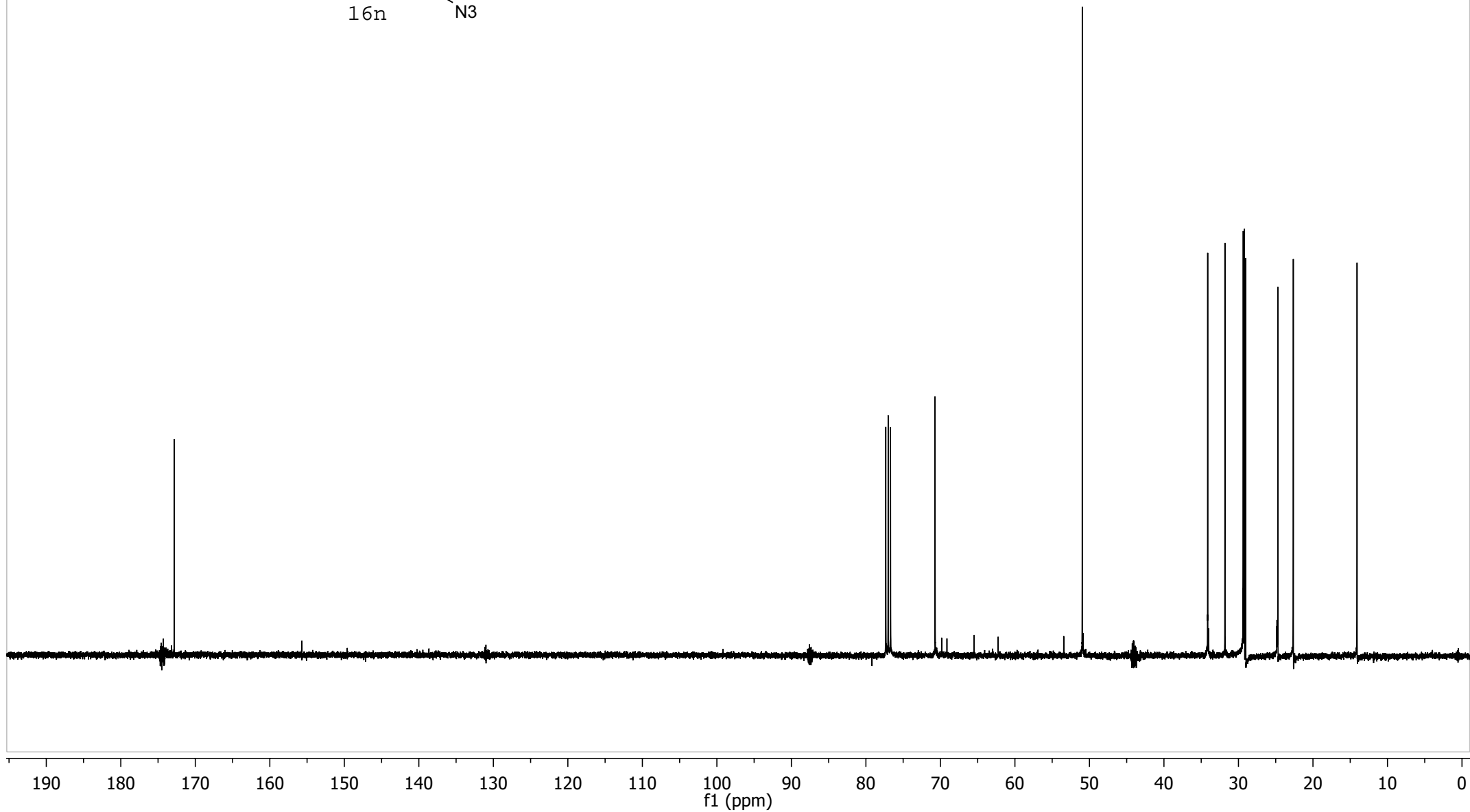


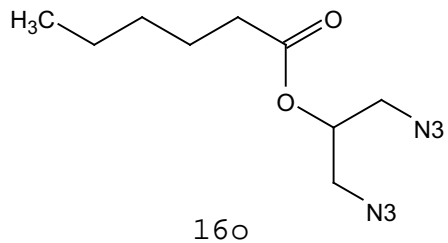
52



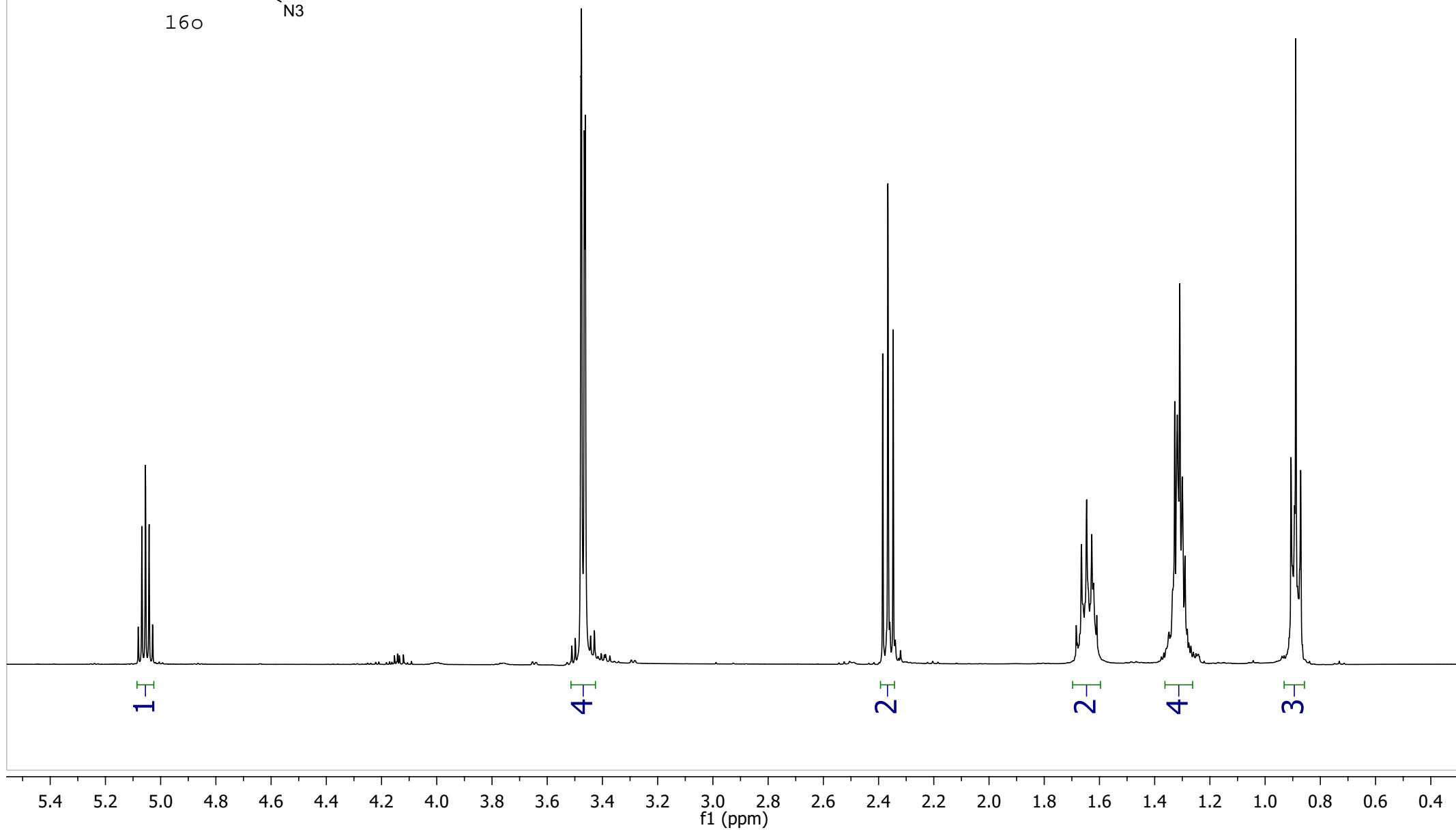


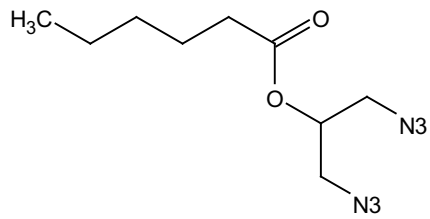
53





54



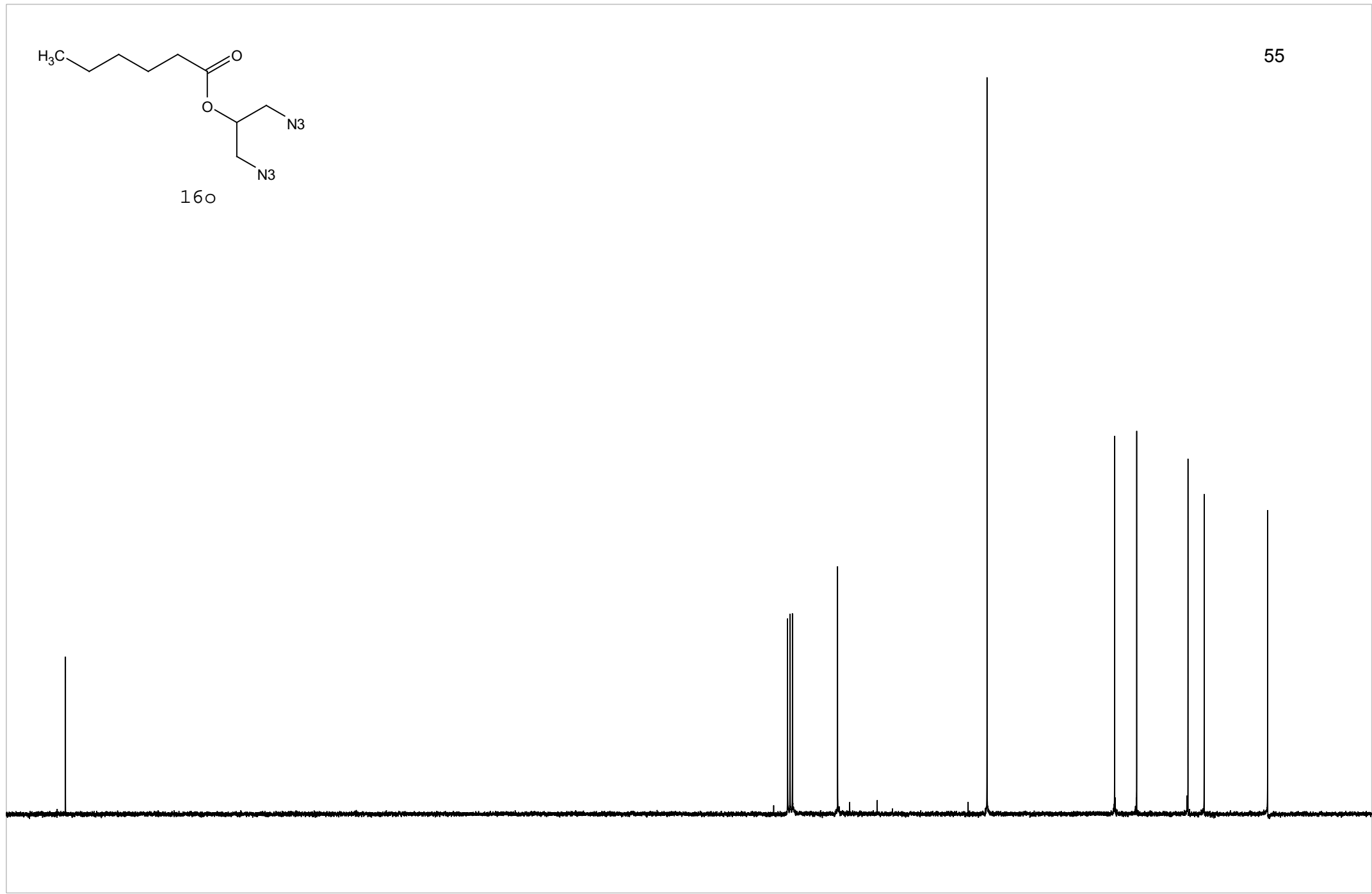


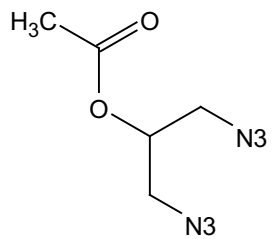
16o

55

180 170 160 150 140 130 120 110 100 90 80 70 60 50 40 30 20 10

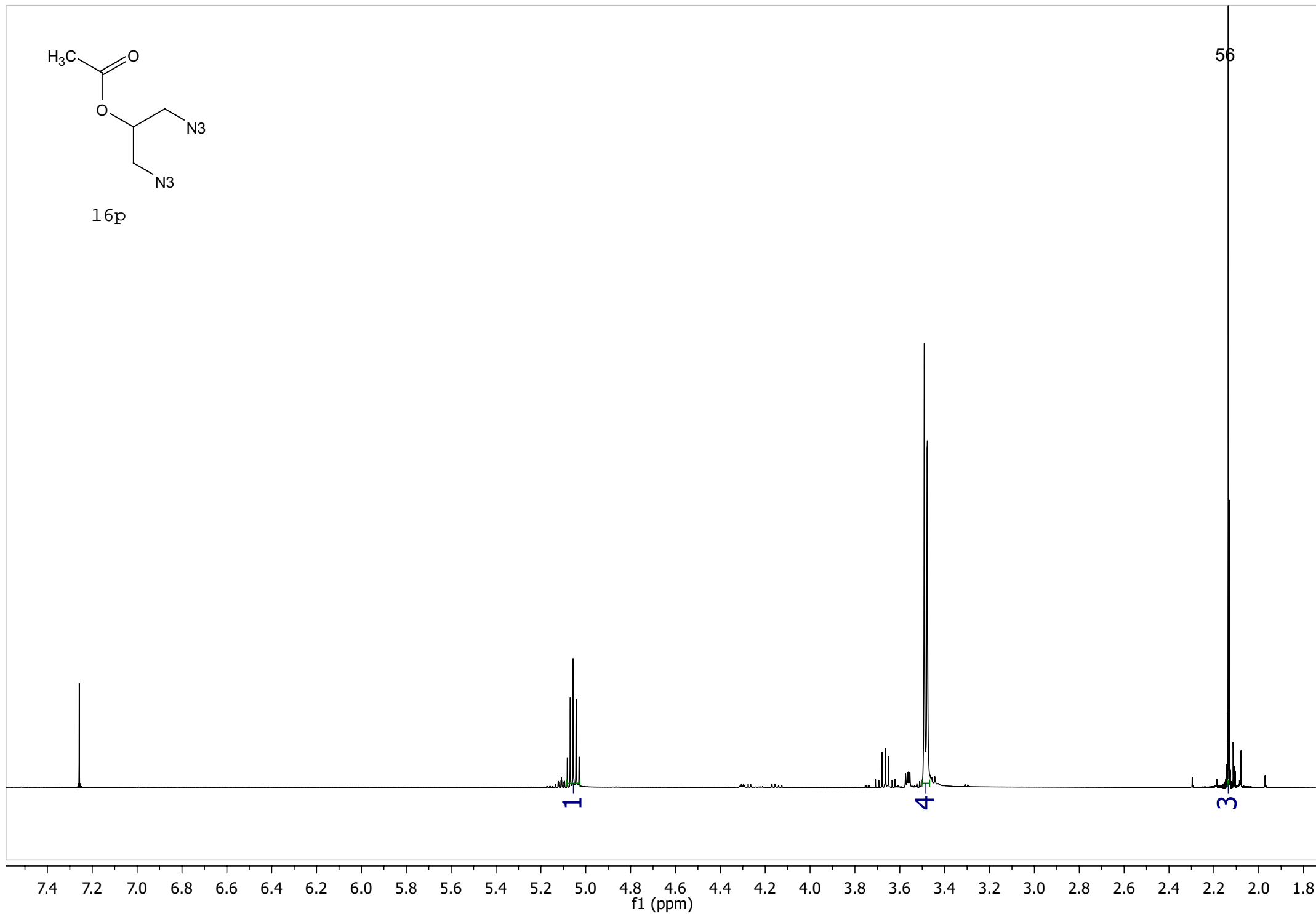
f1 (ppm)

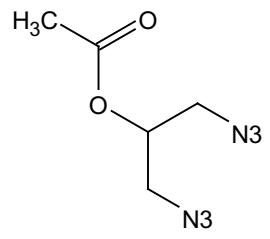




16p

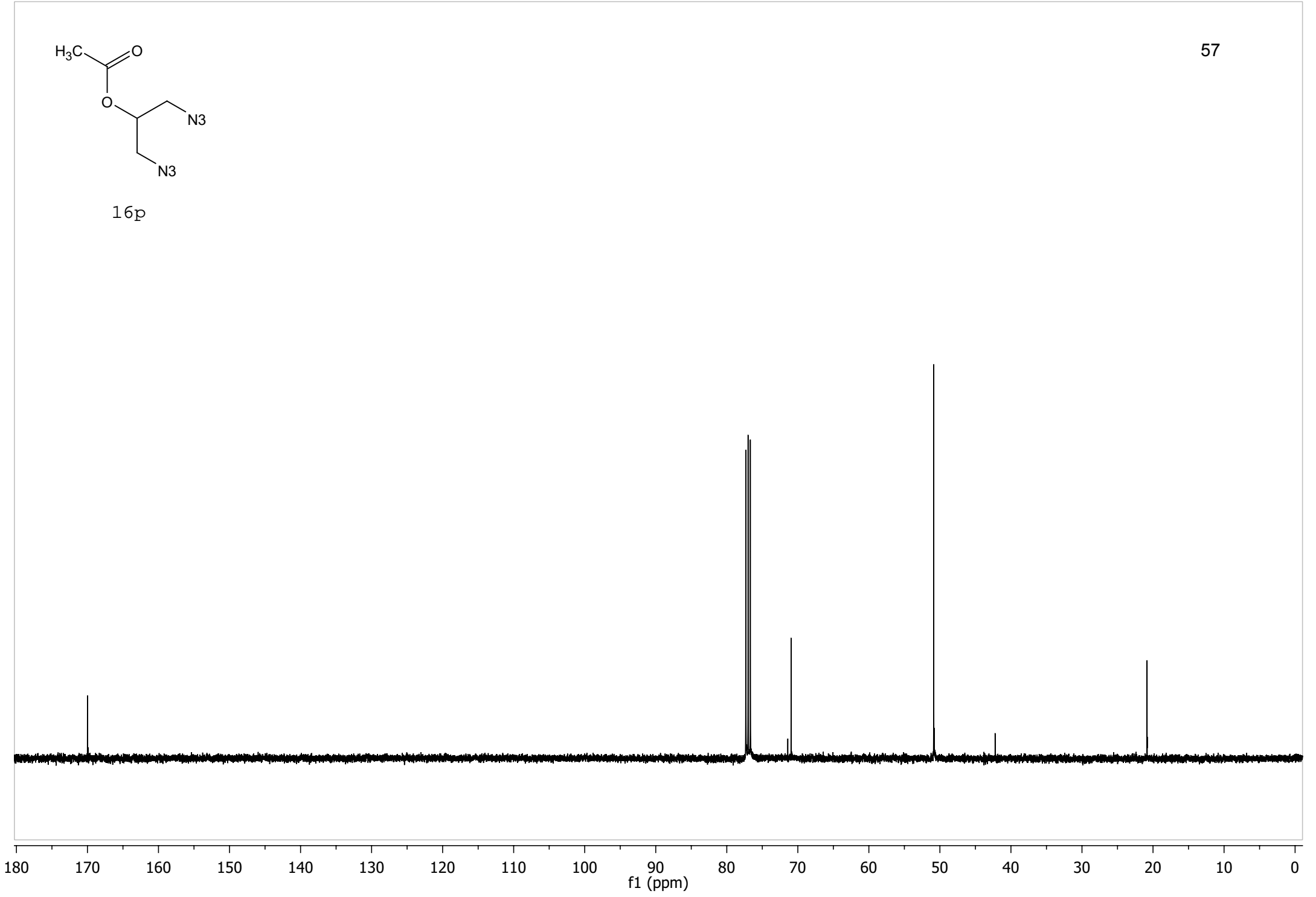
56

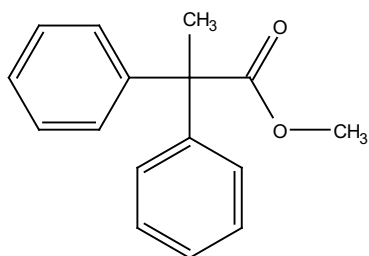




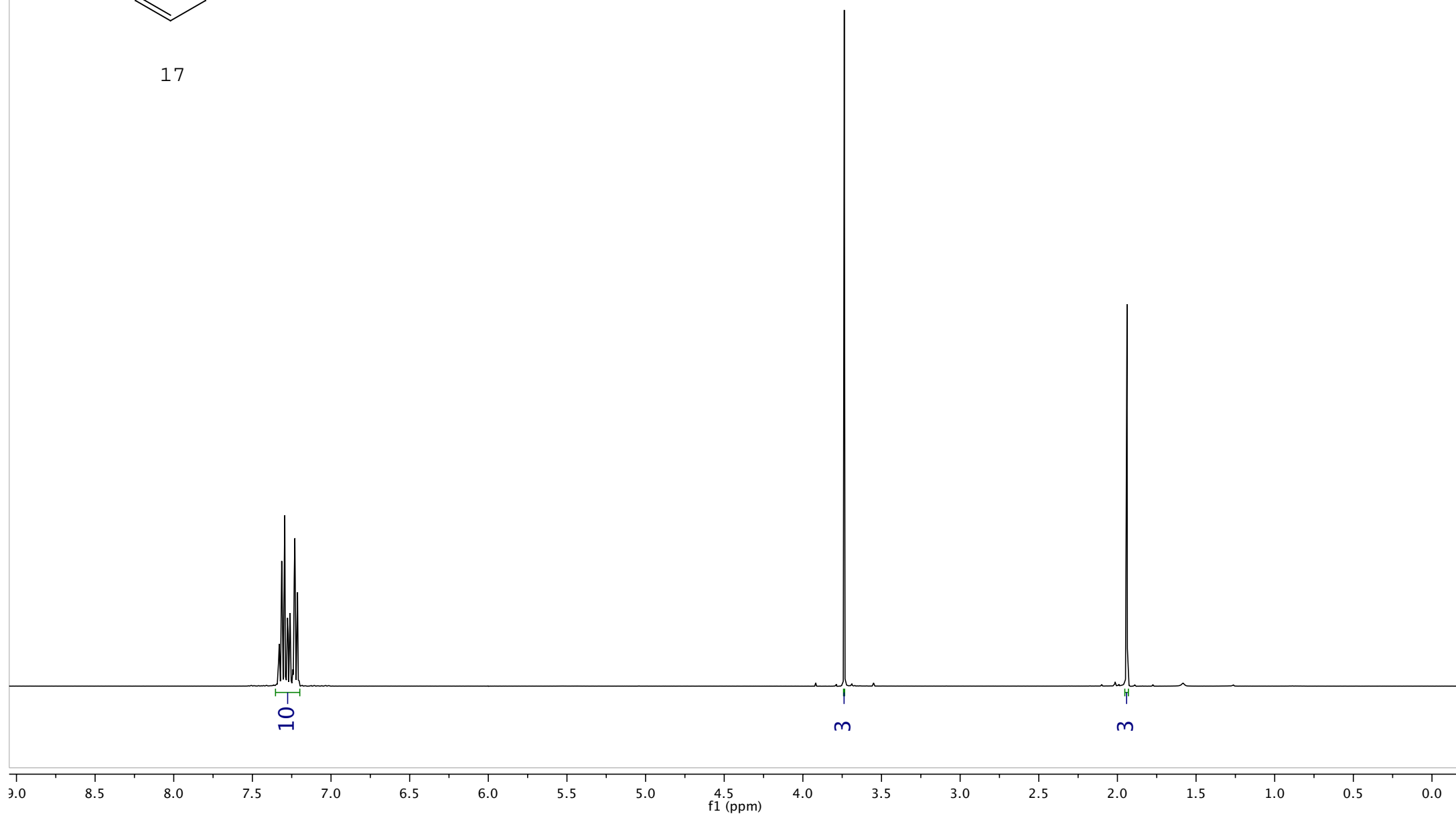
57

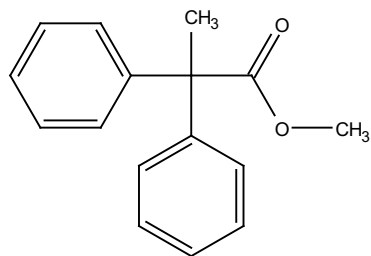
16p



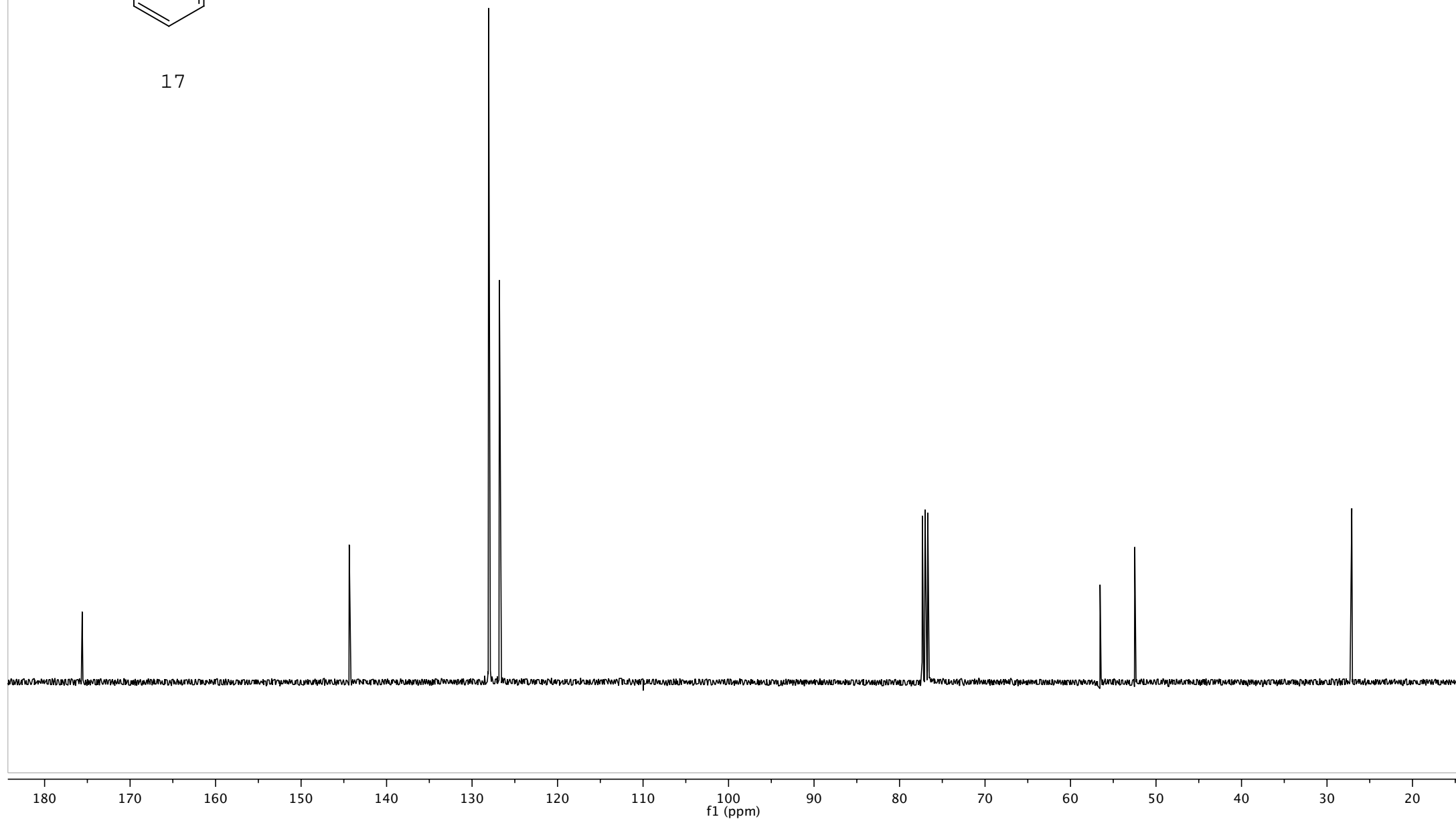


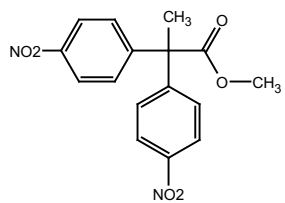
17





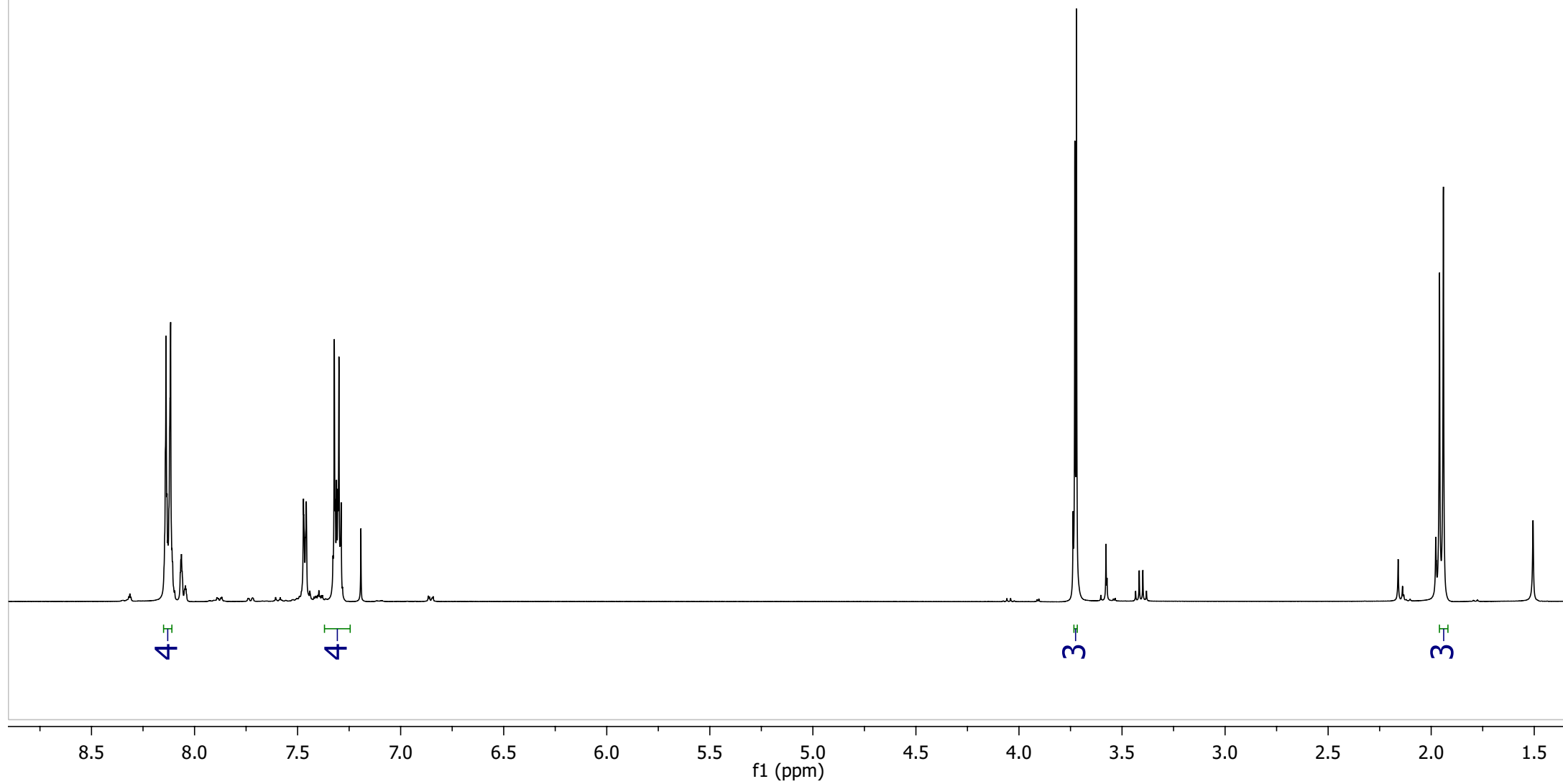
17

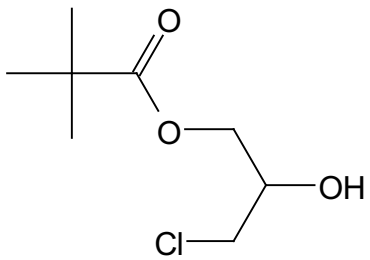




18

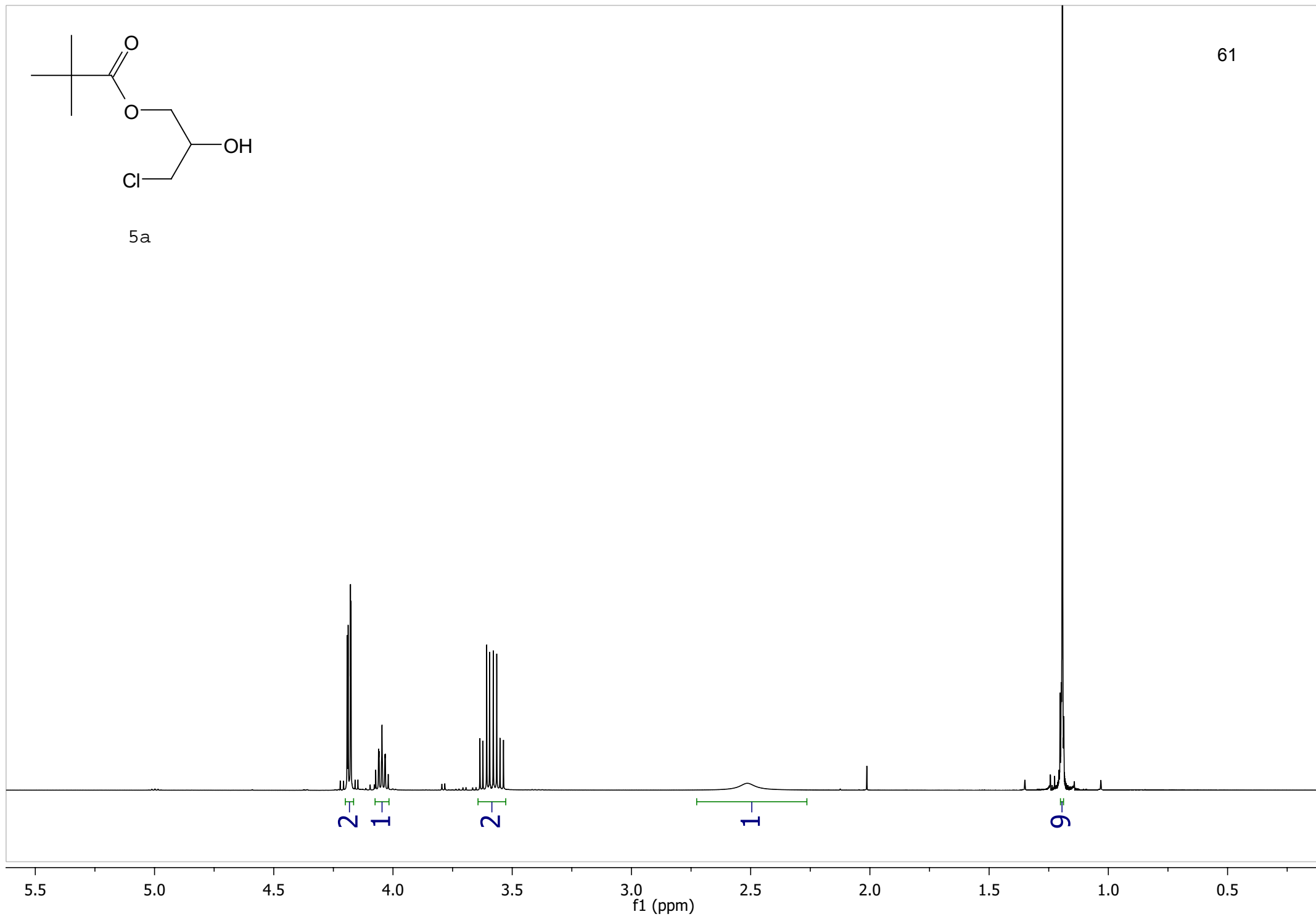
60

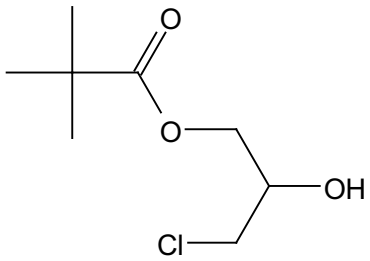




5a

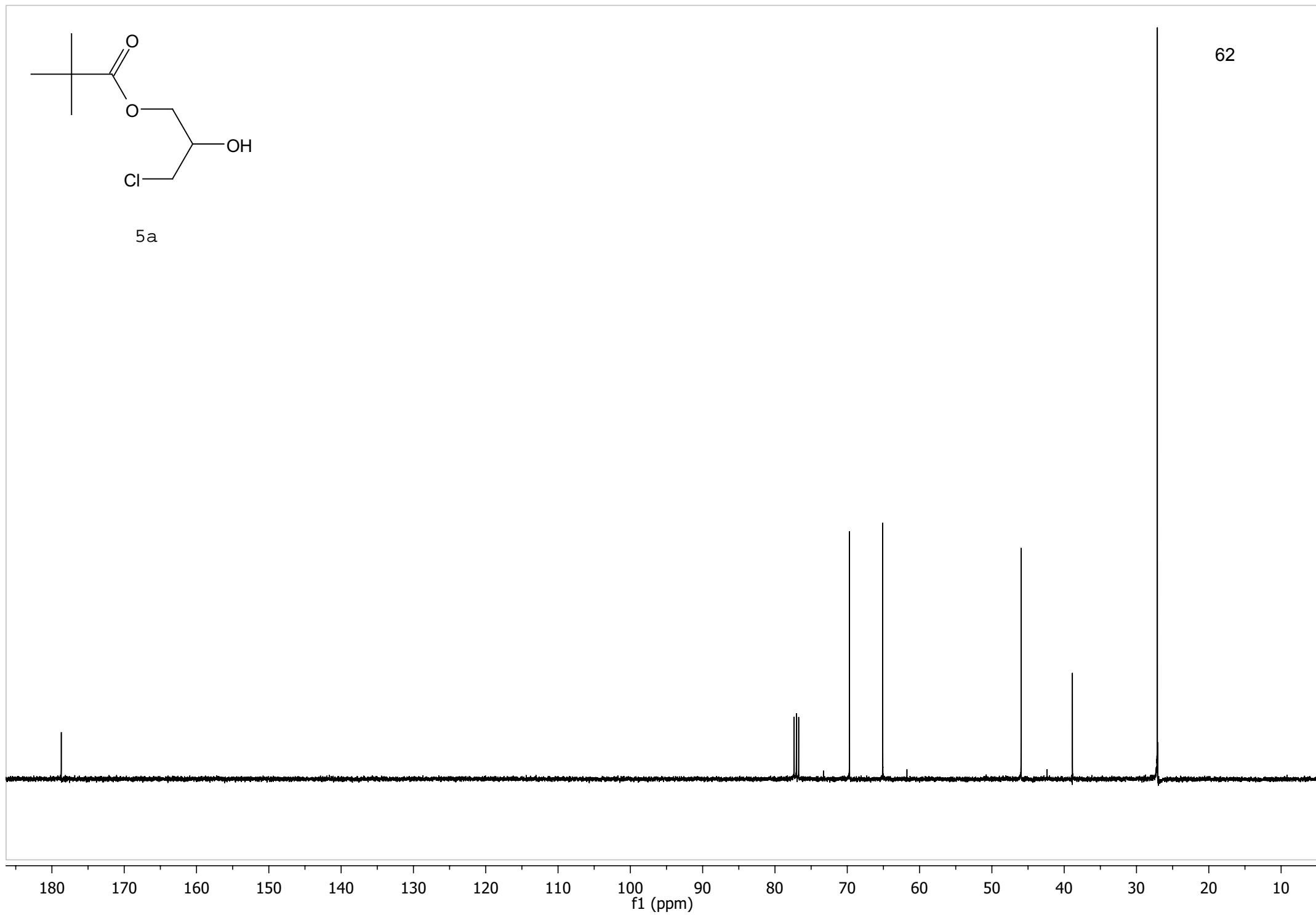
61

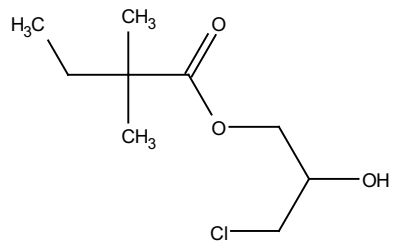




5a

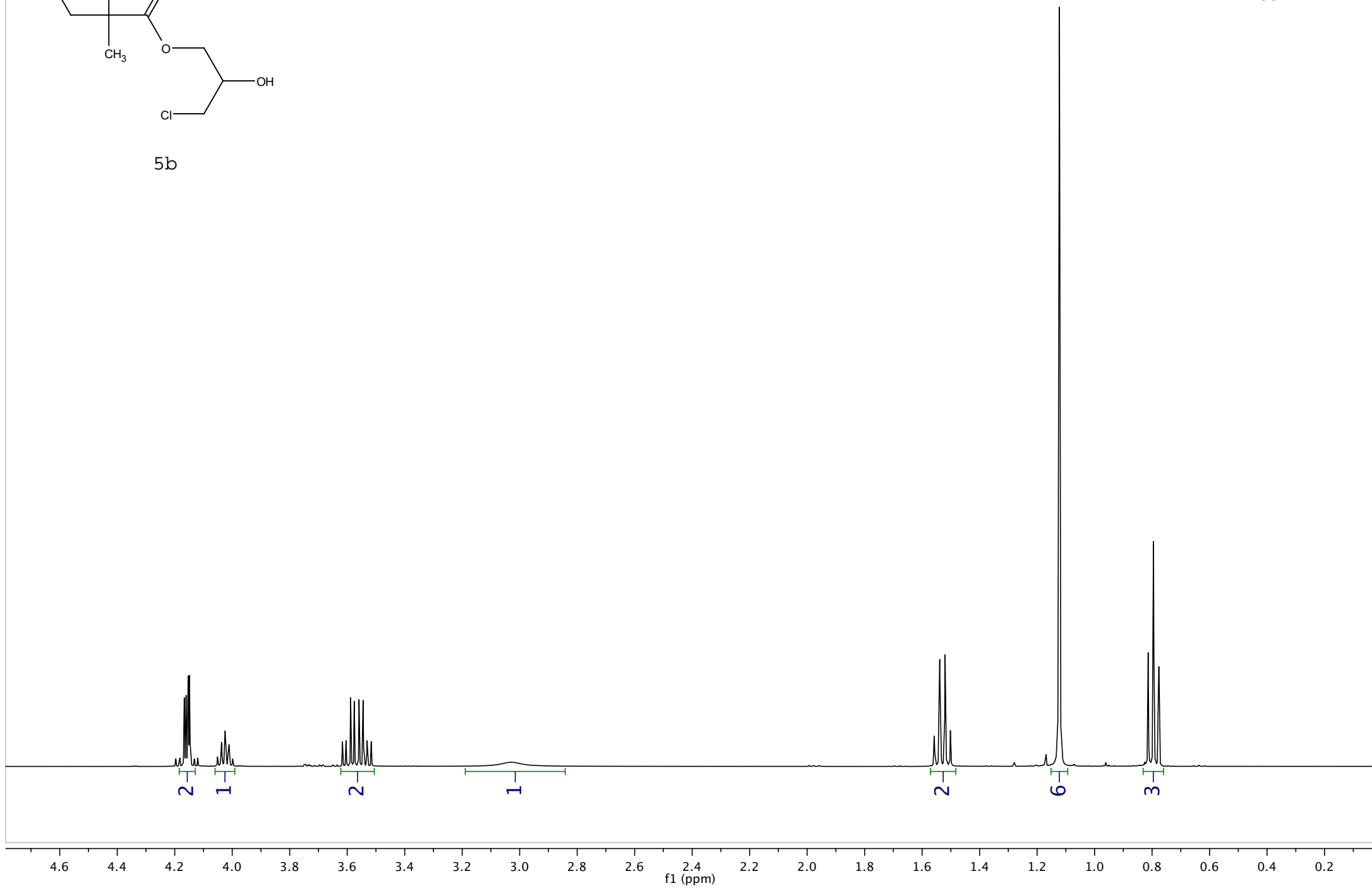
62

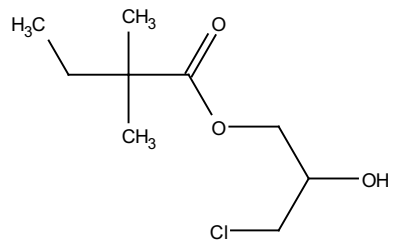




5b

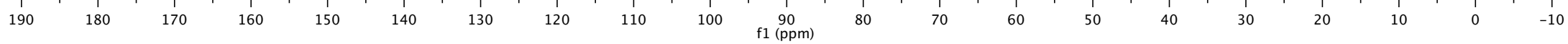
63

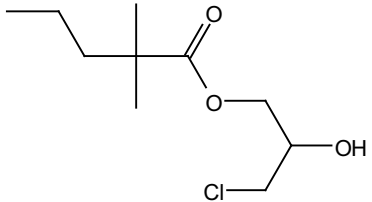




5b

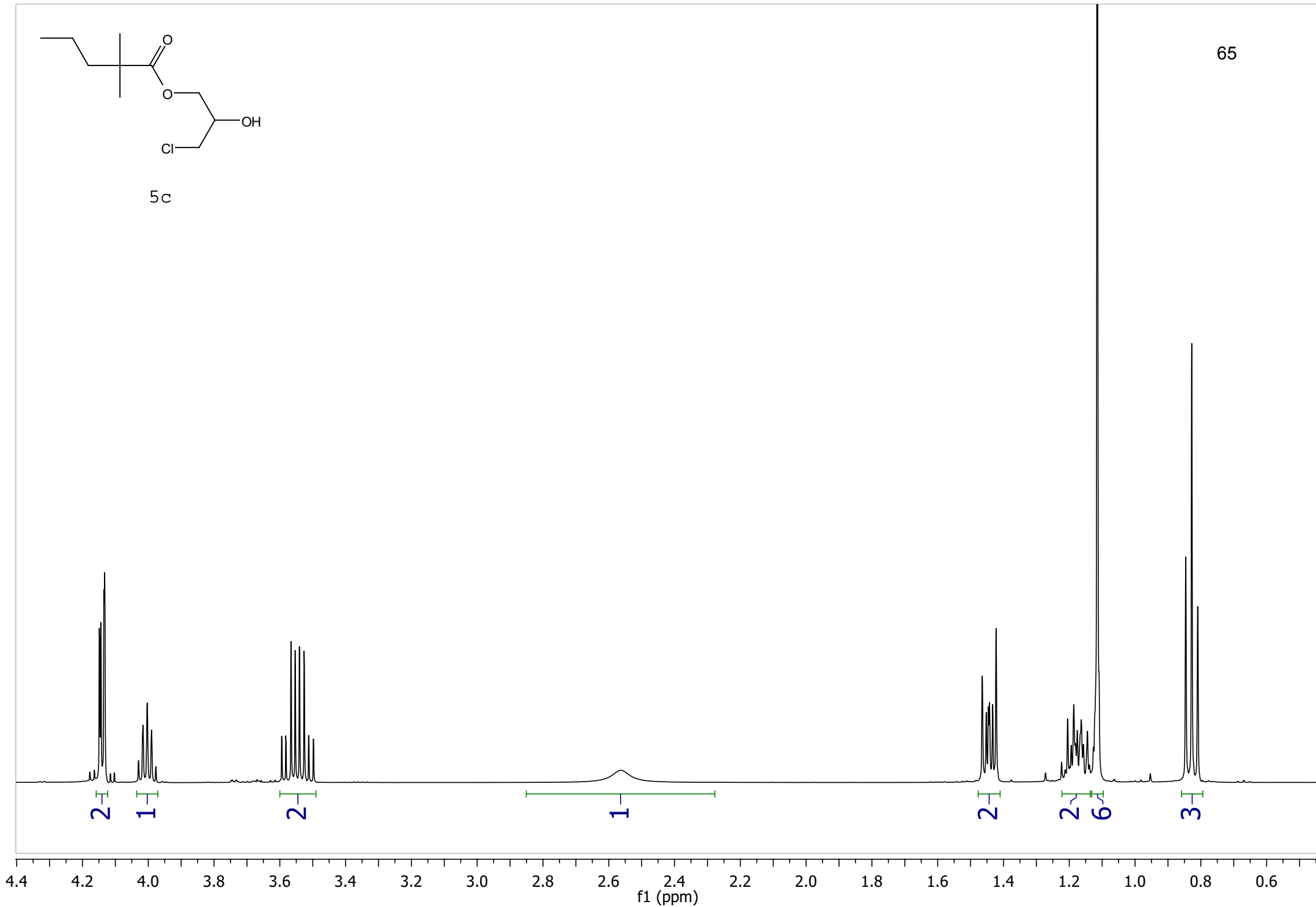
64

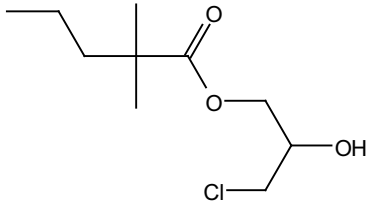




5c

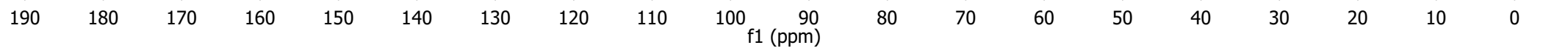
65

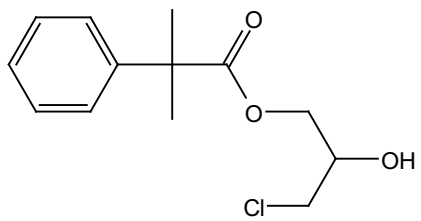




5c

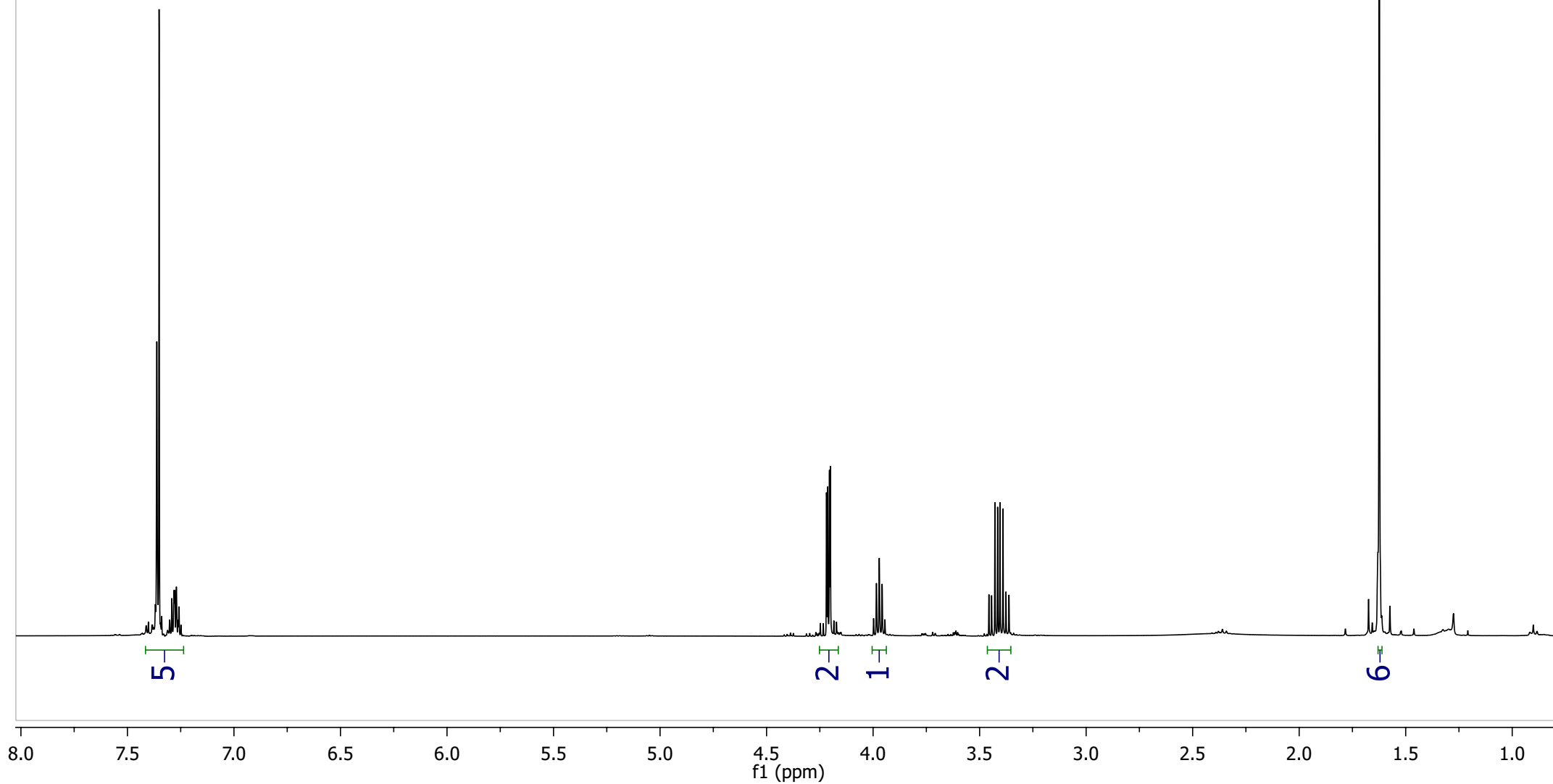
66

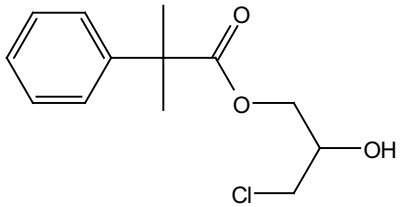




5d

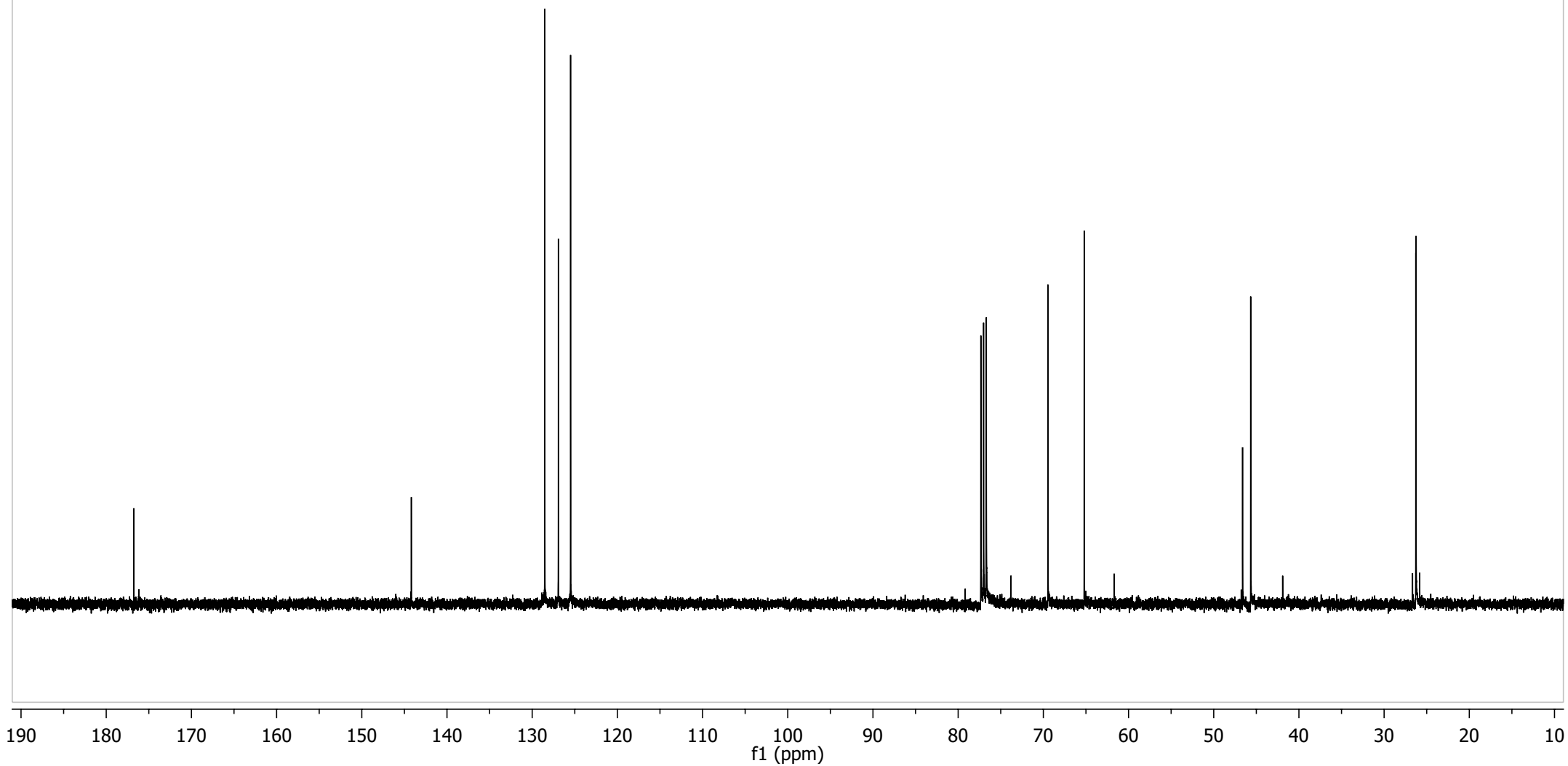
67

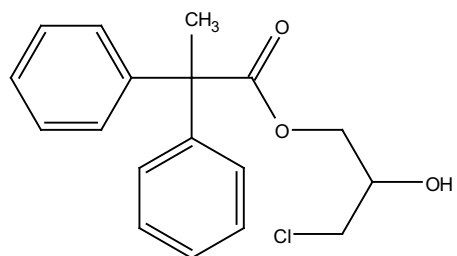




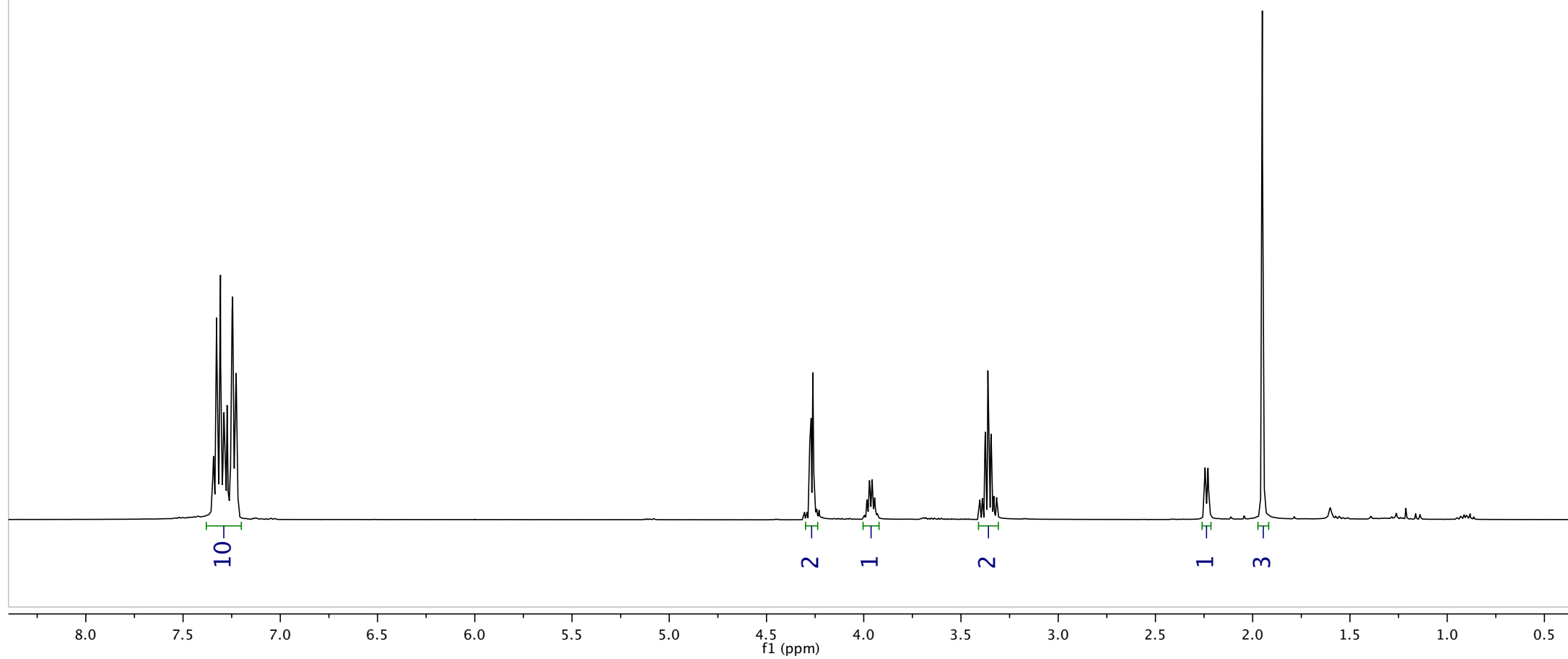
5d

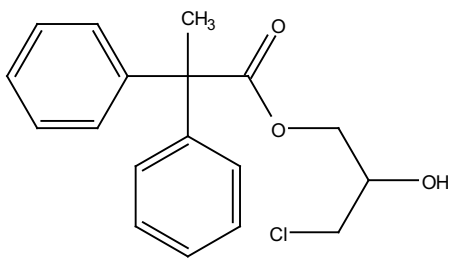
68



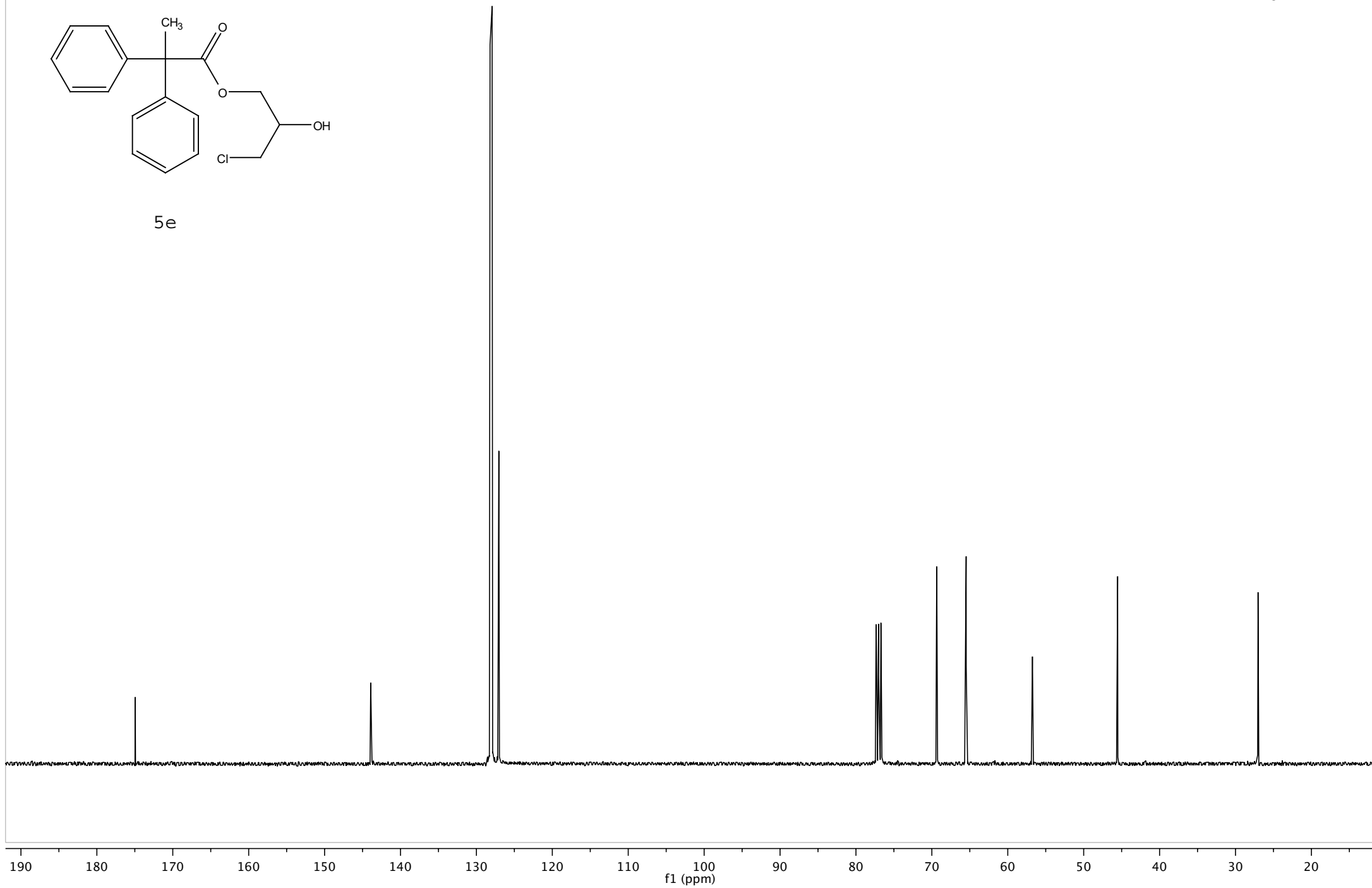


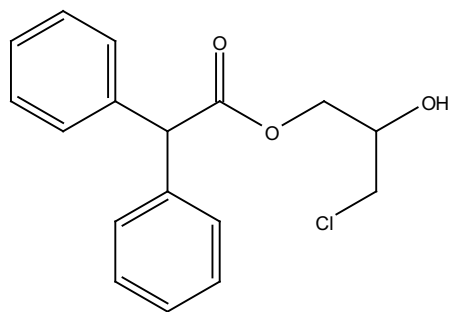
5e



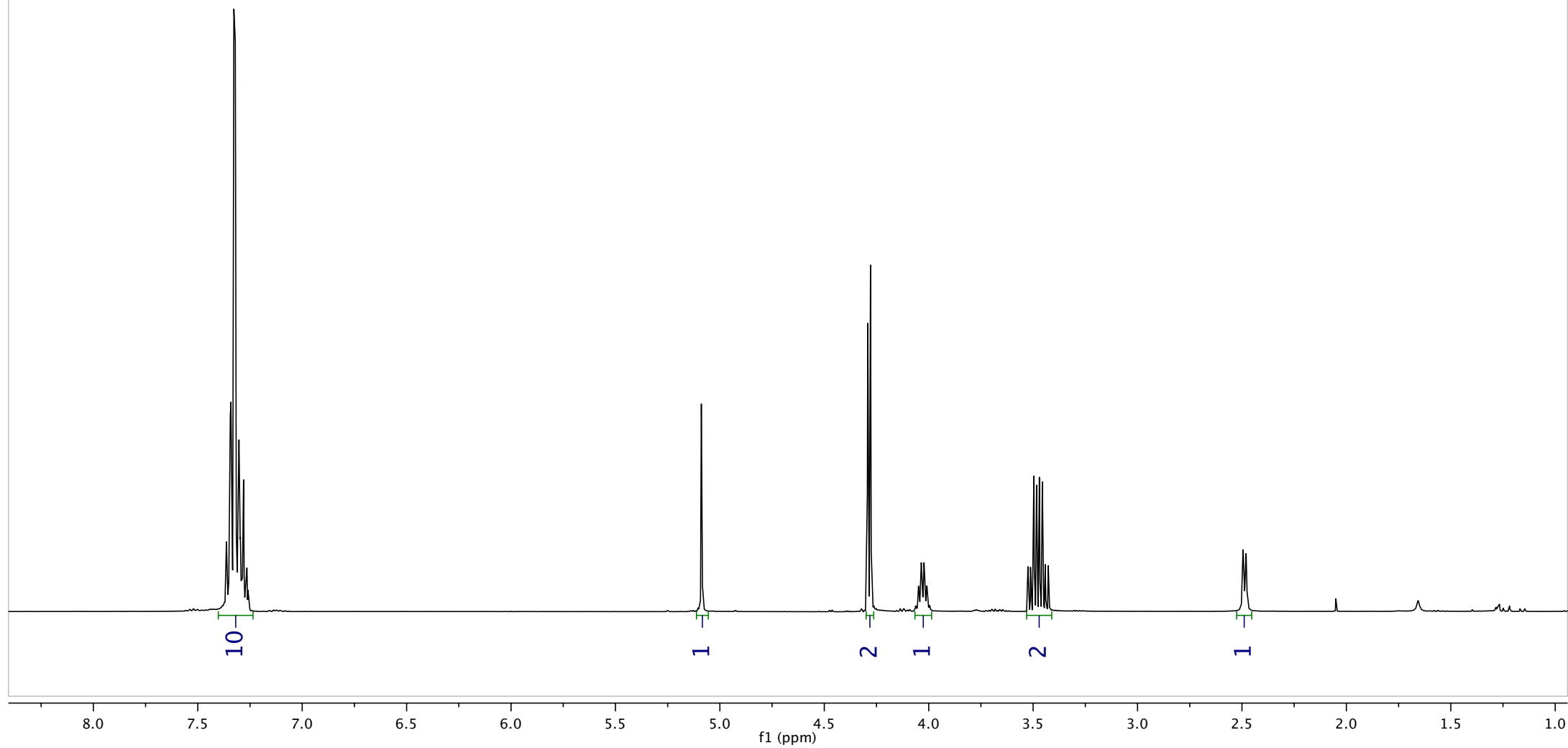


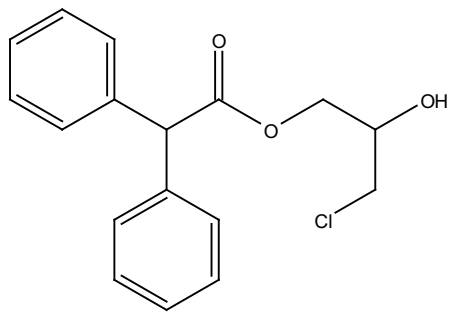
5e



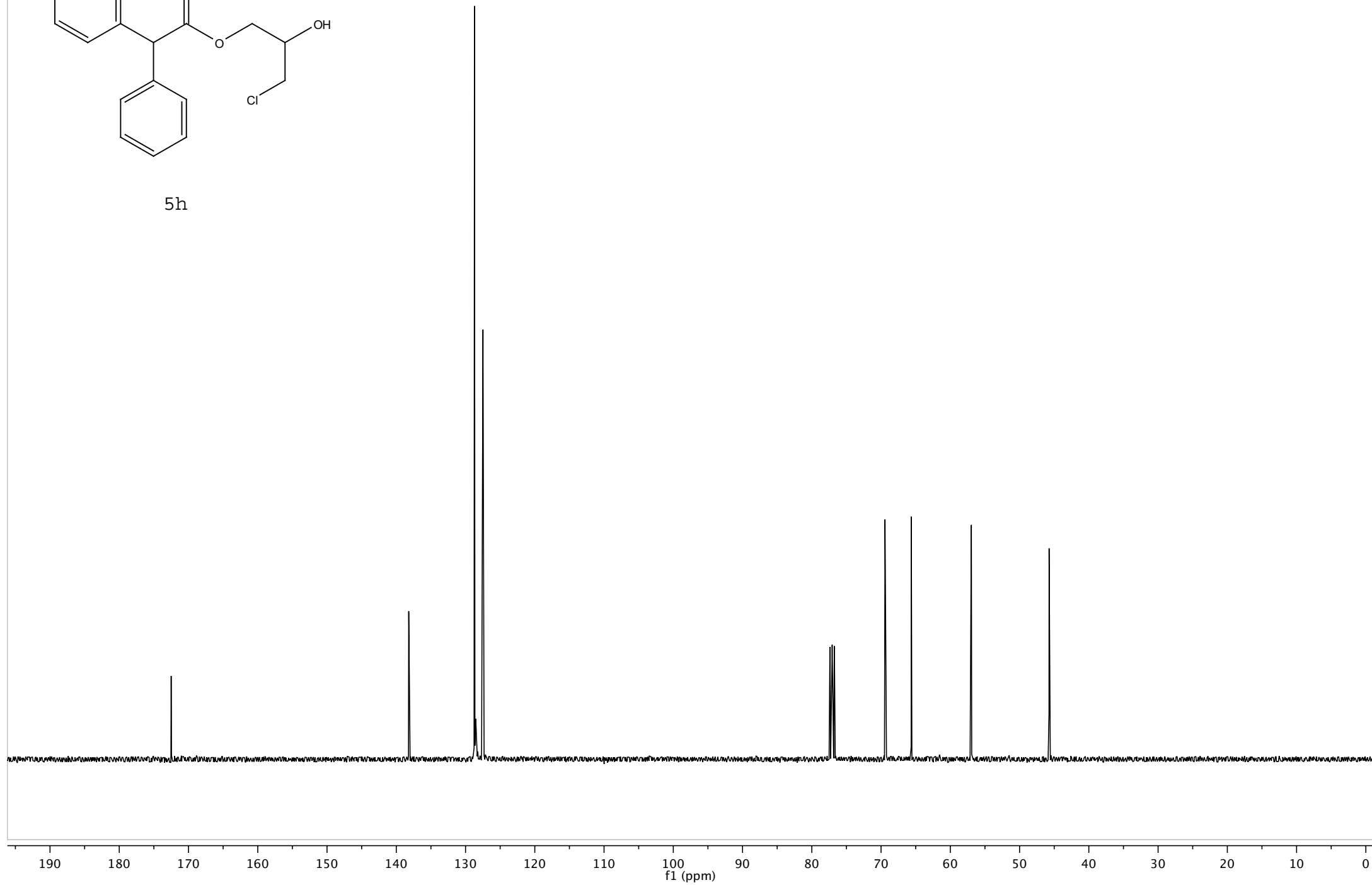


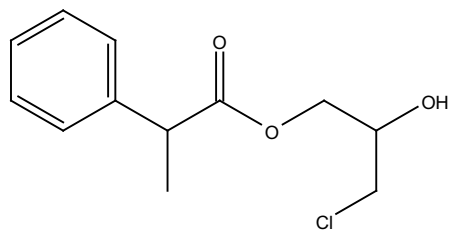
5h



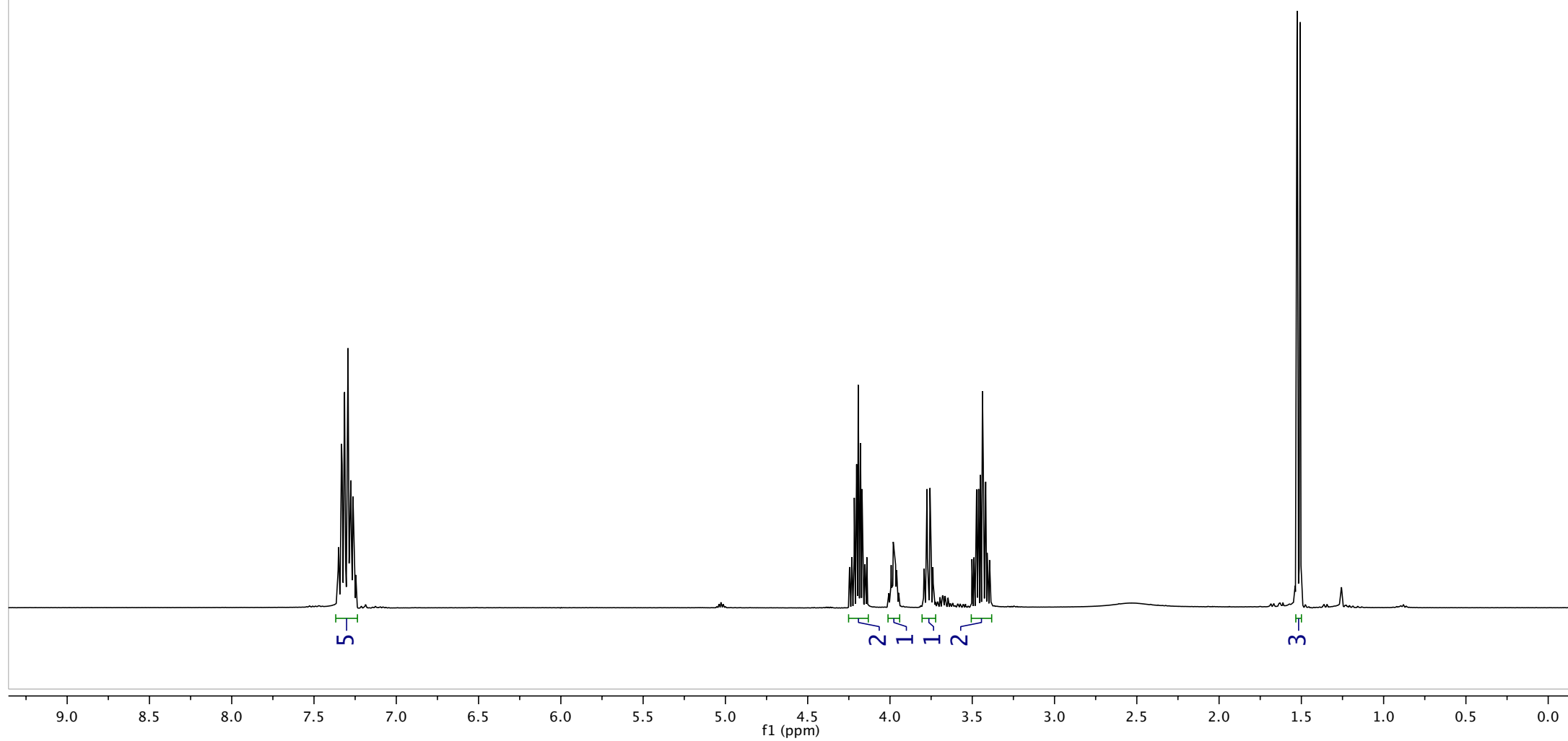


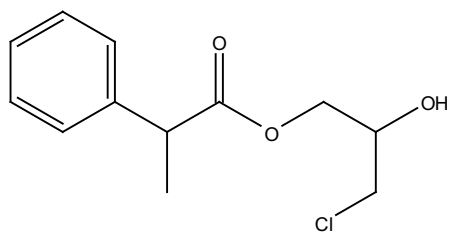
5h



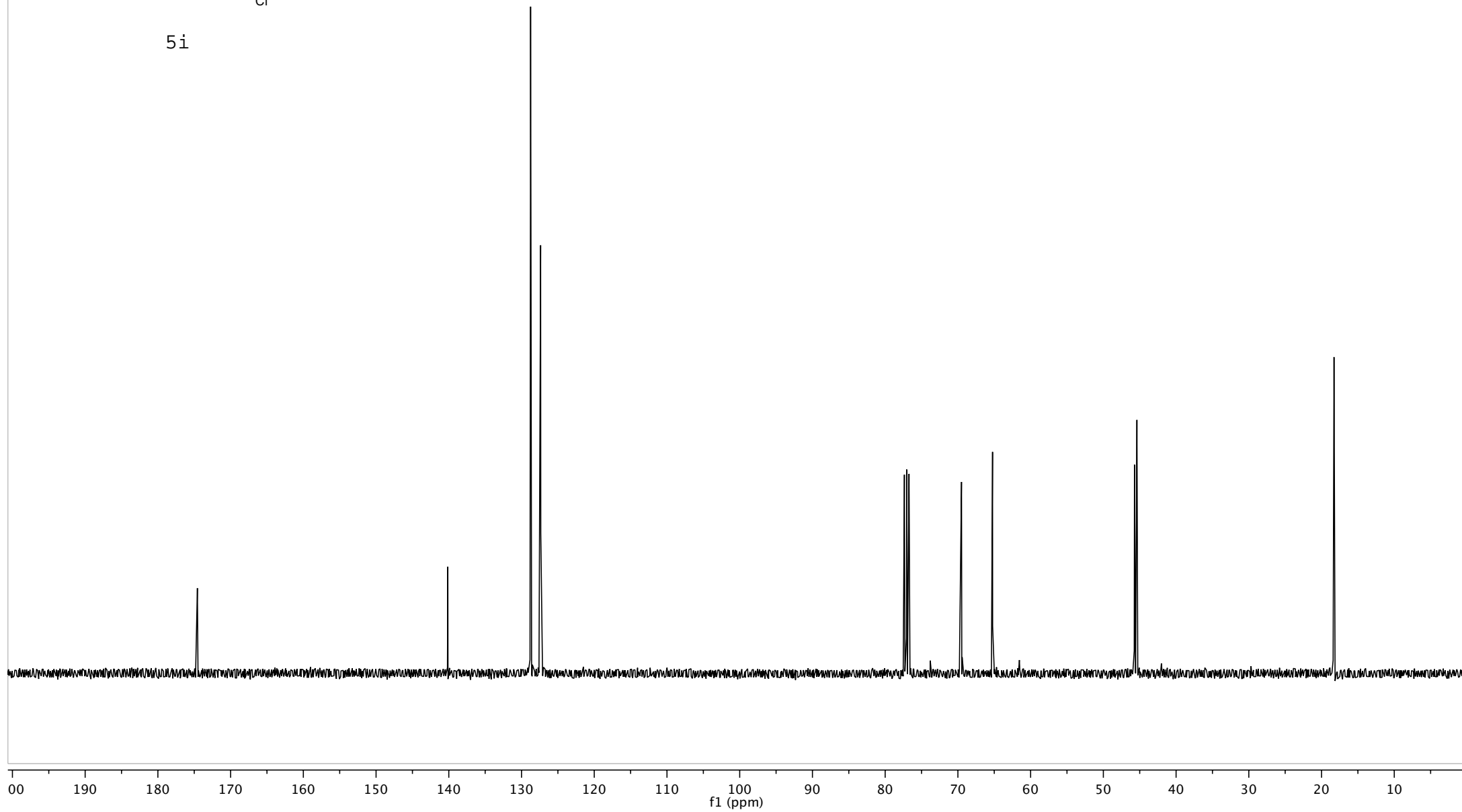


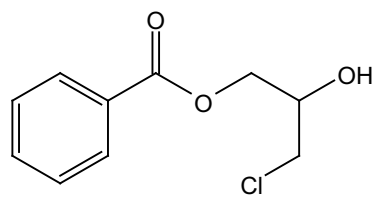
5i



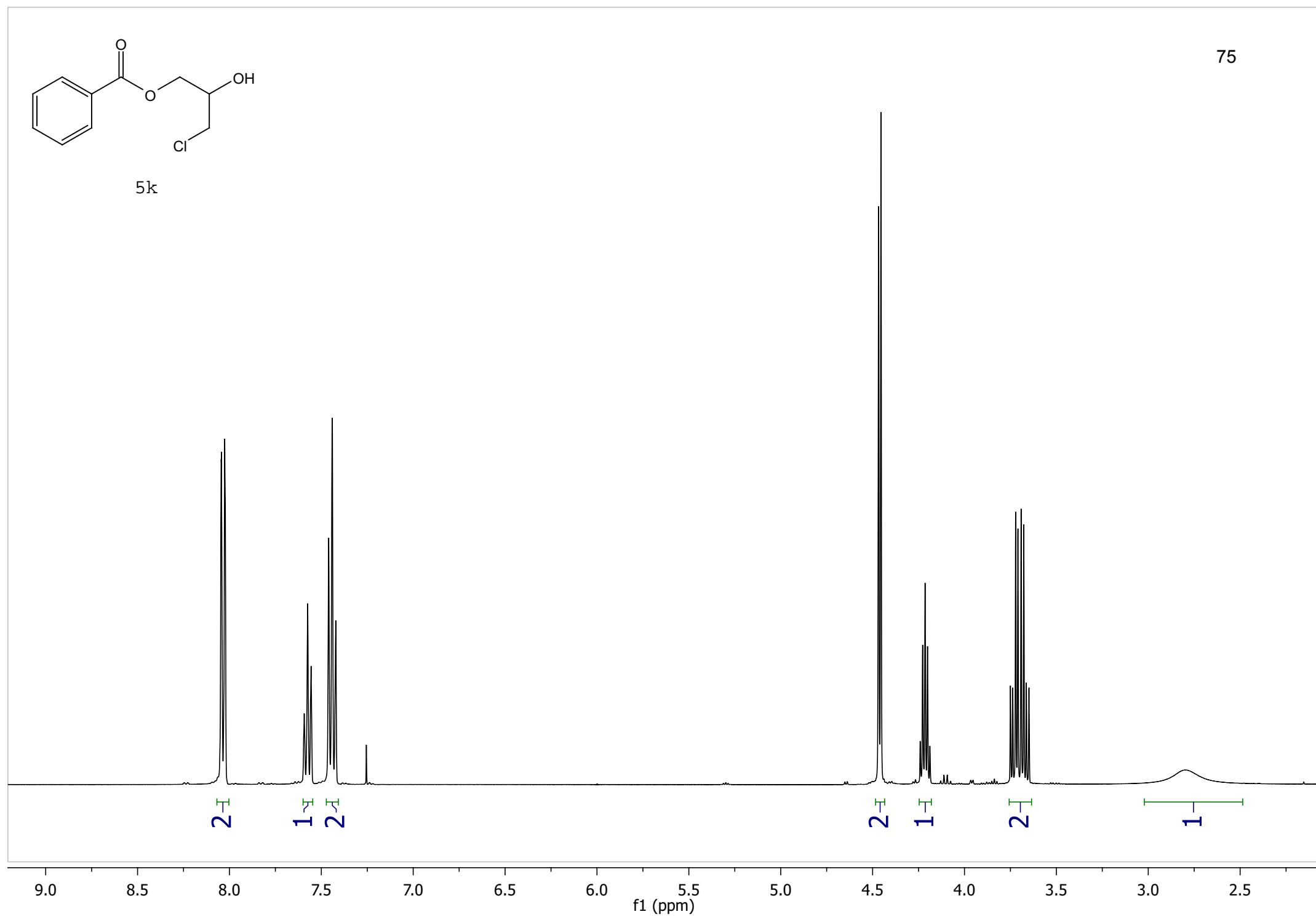


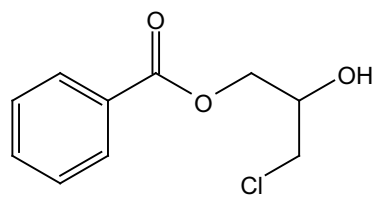
5i





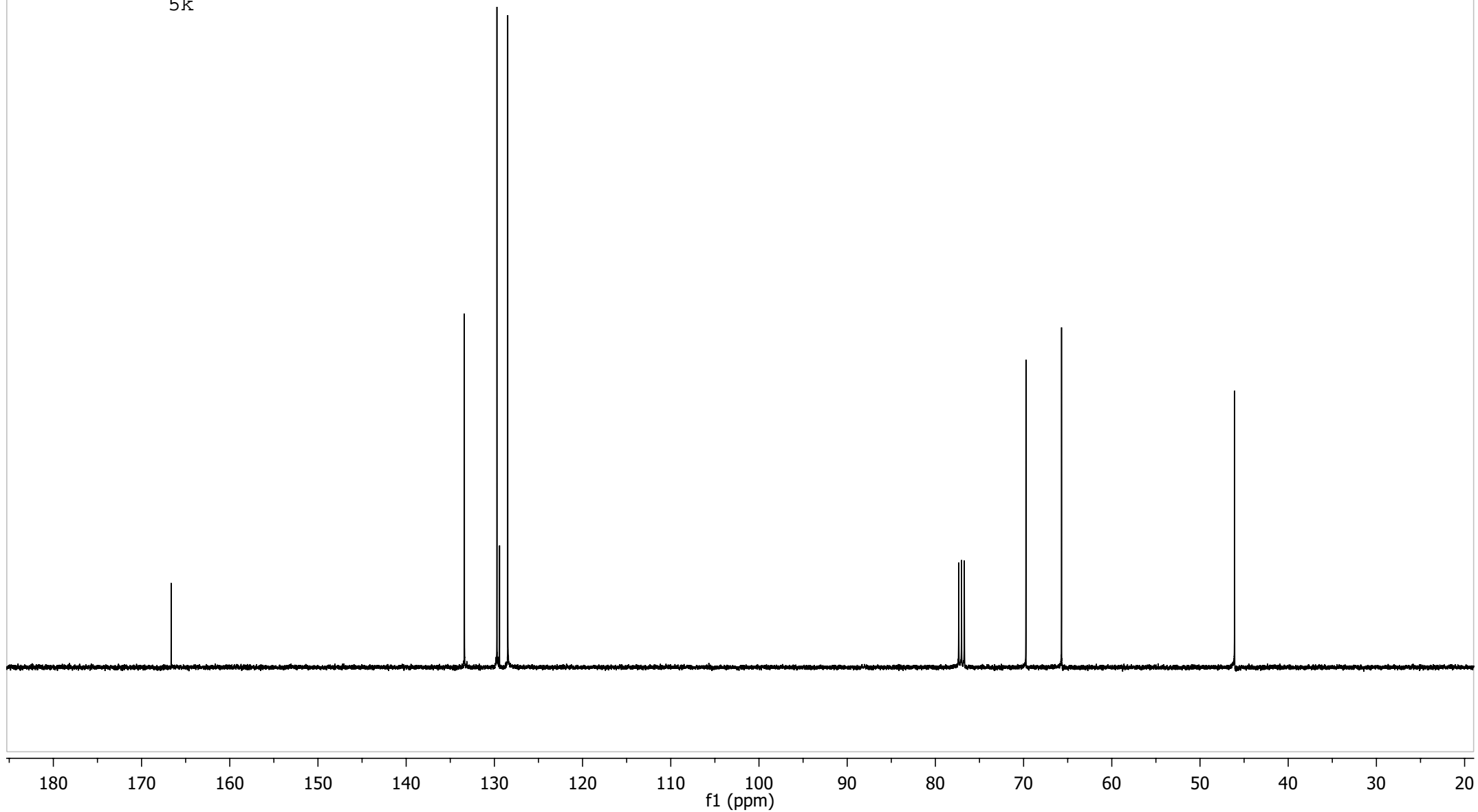
5k

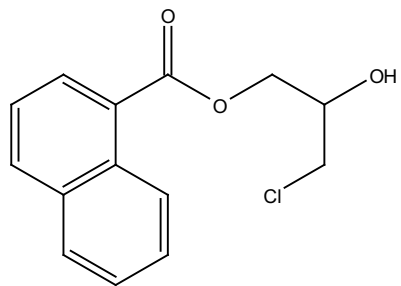




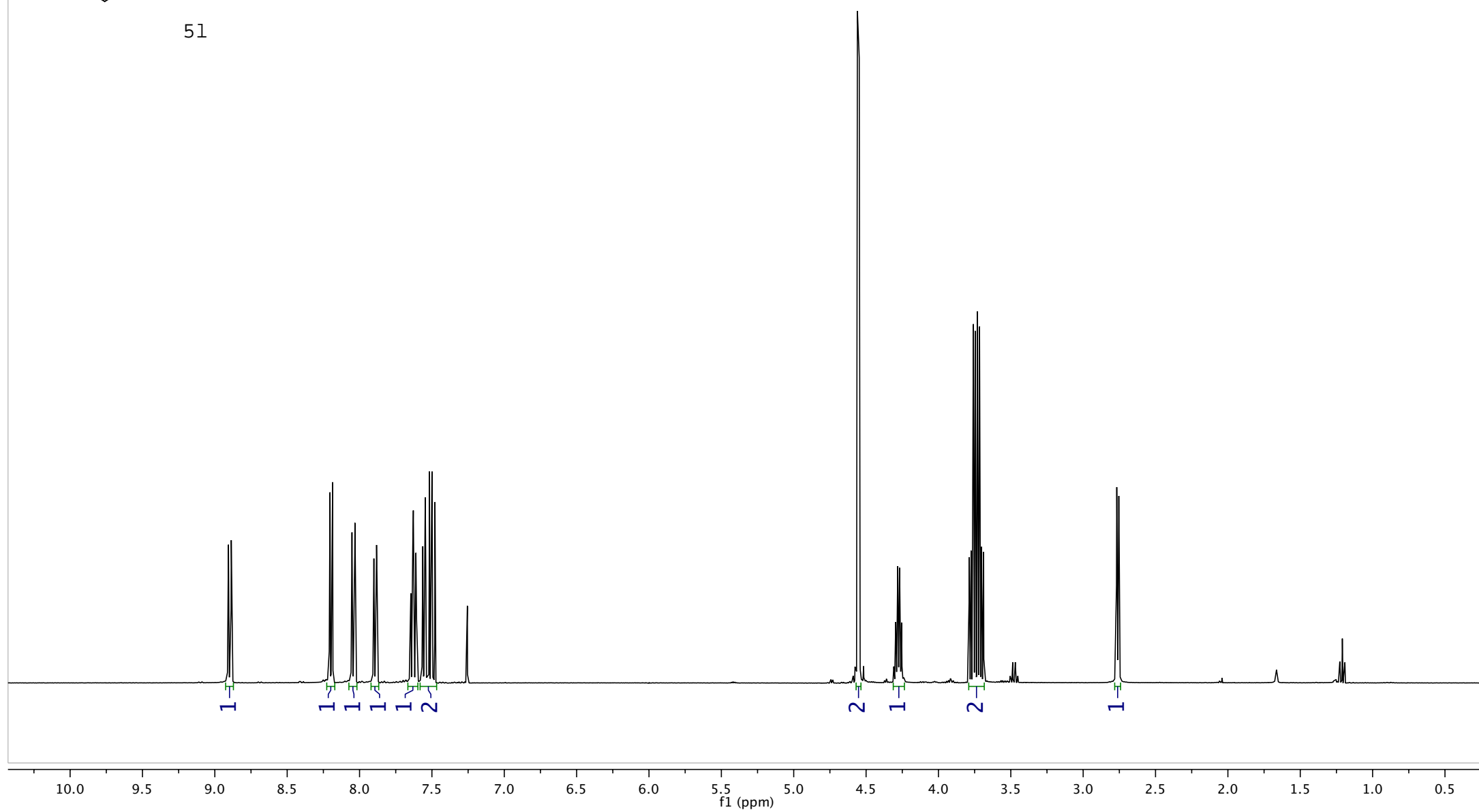
5k

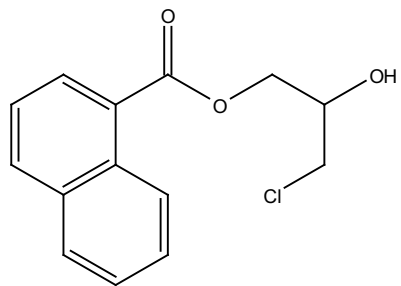
76





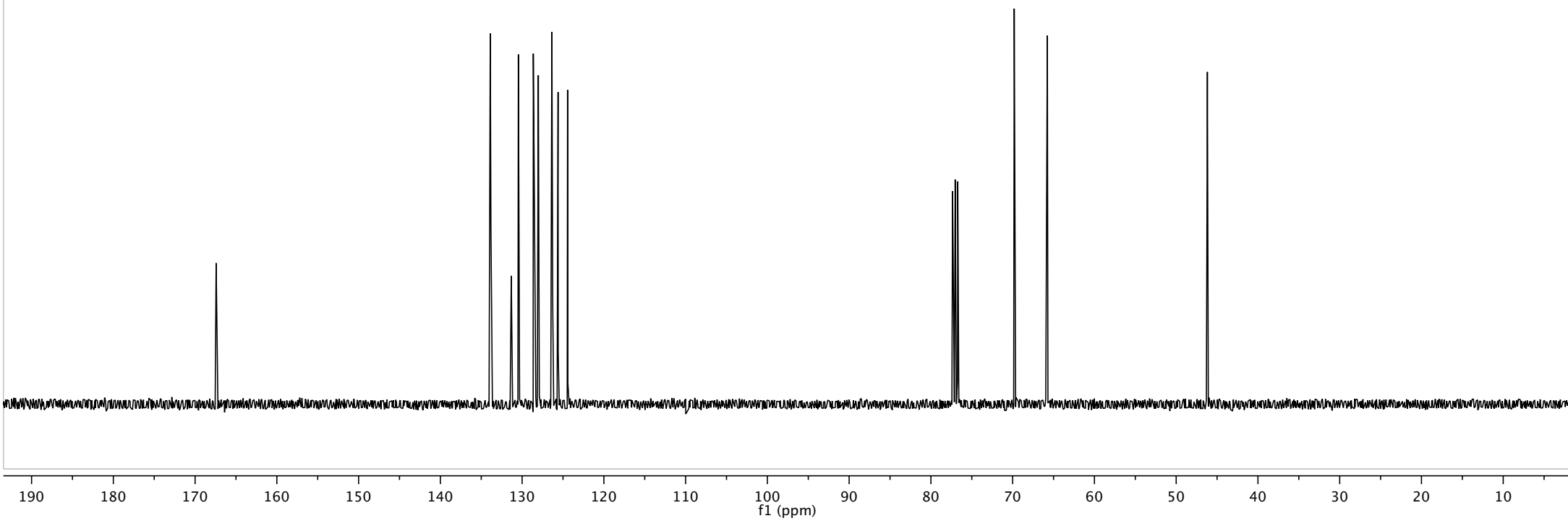
51

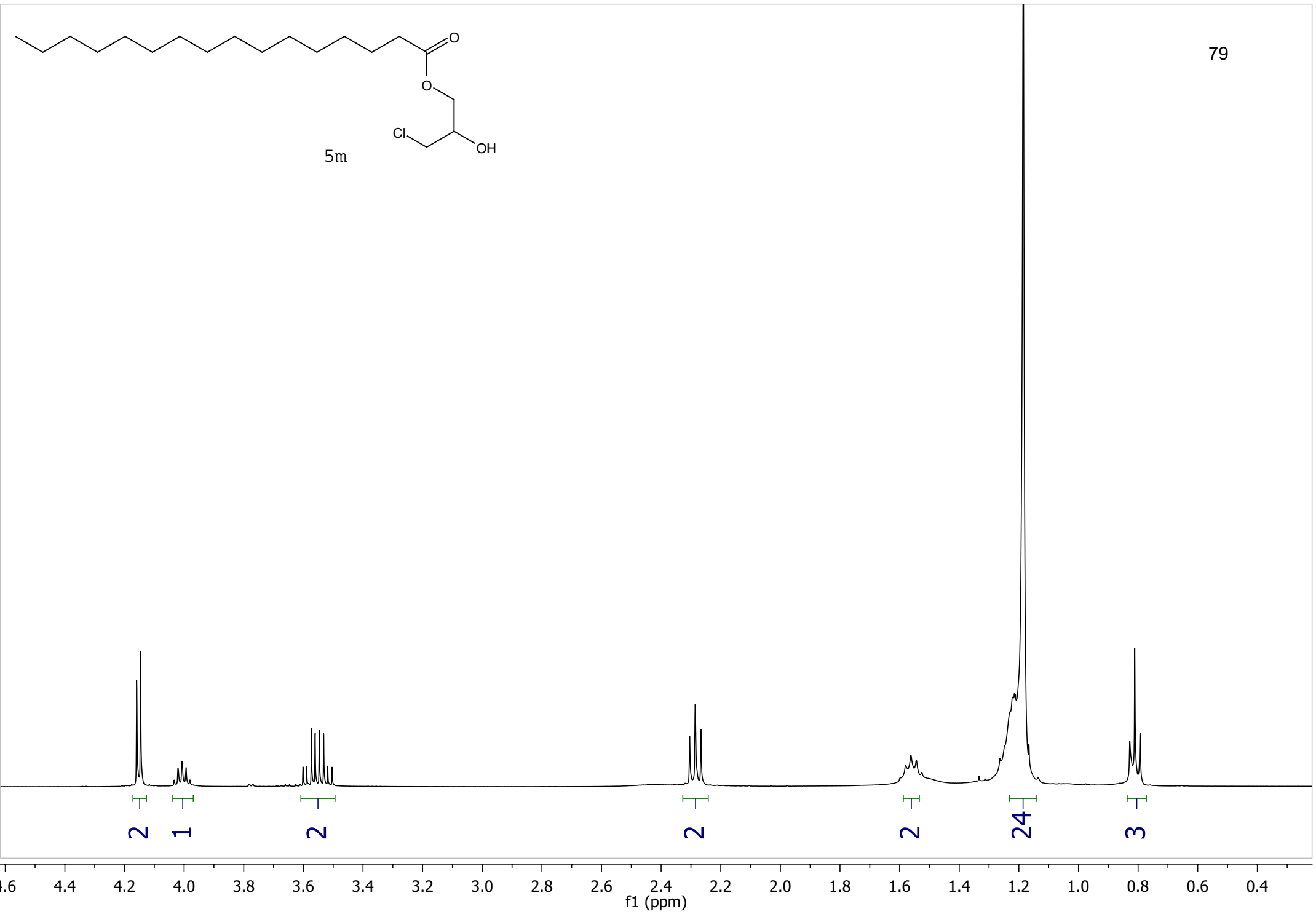


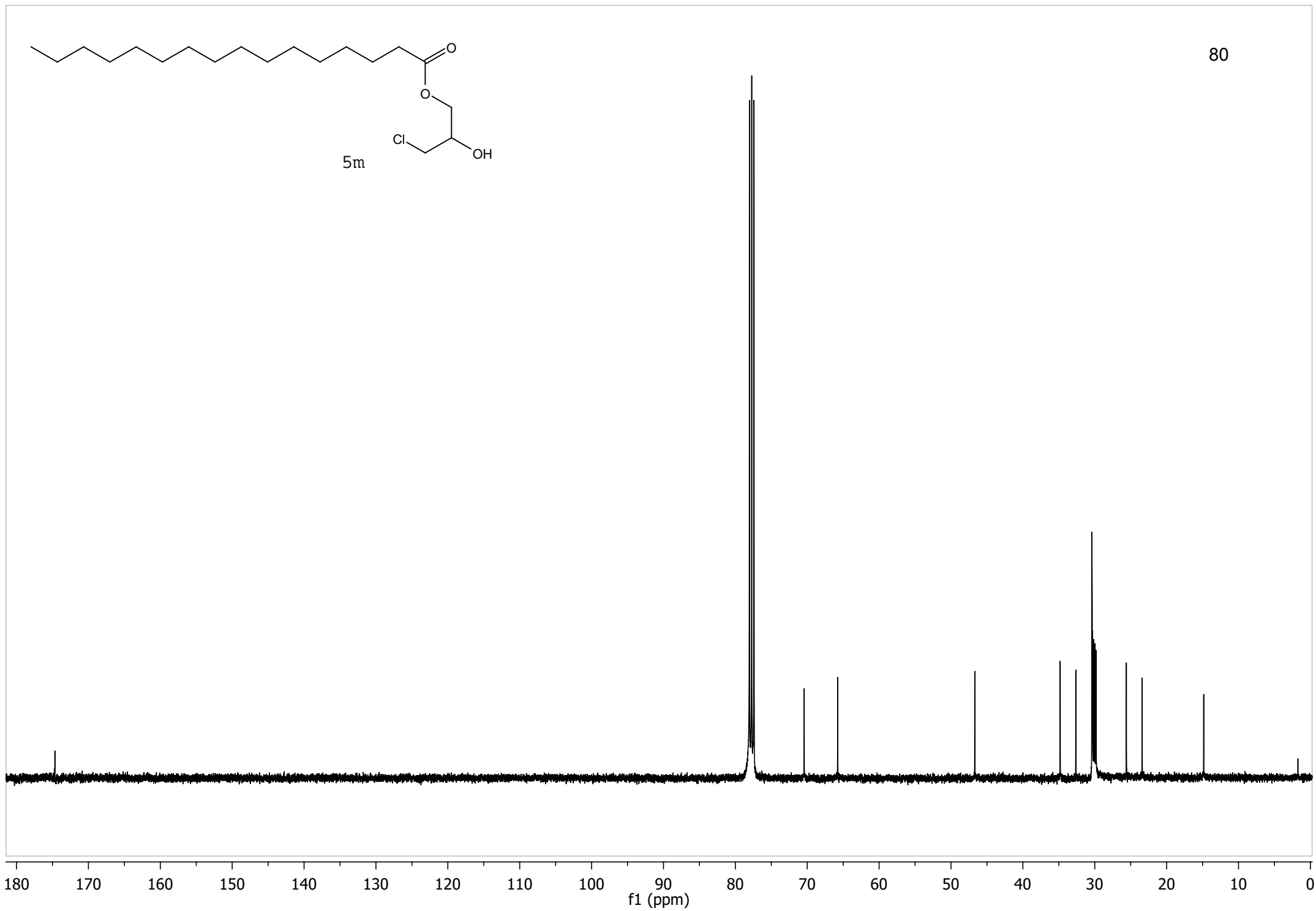


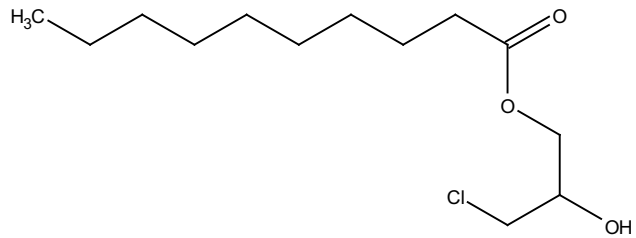
51

78

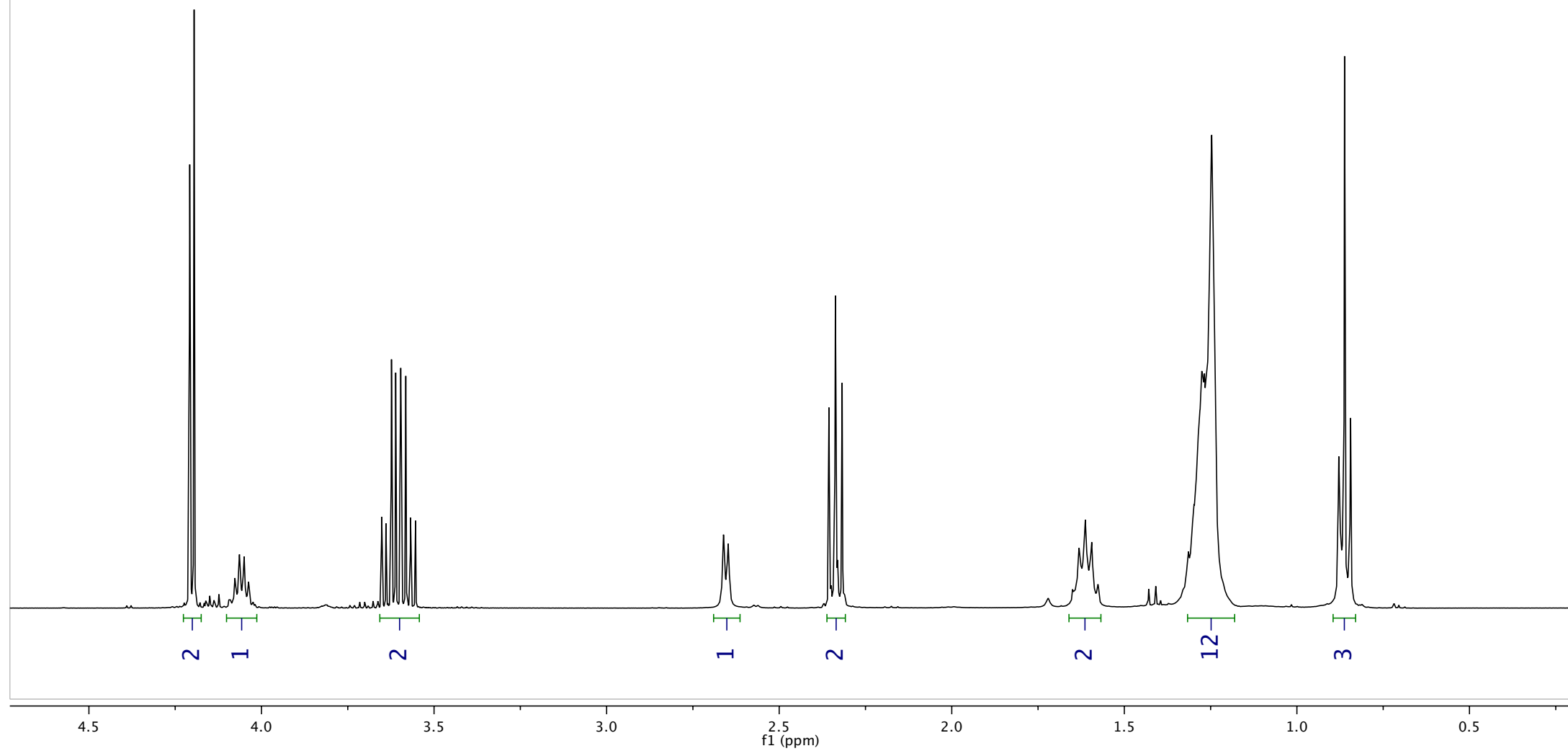


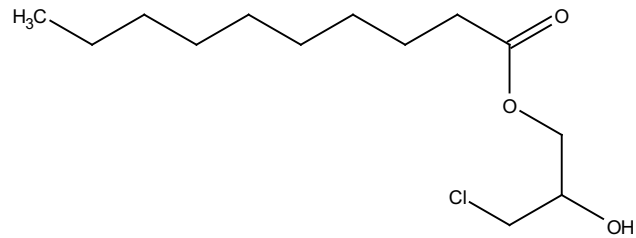






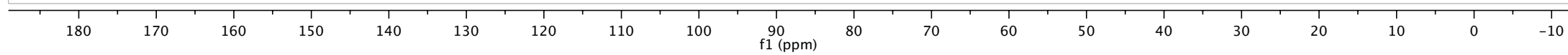
5n

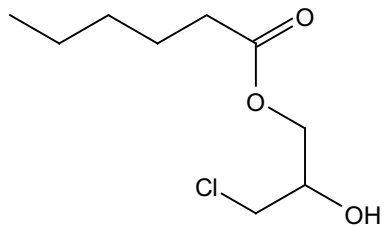




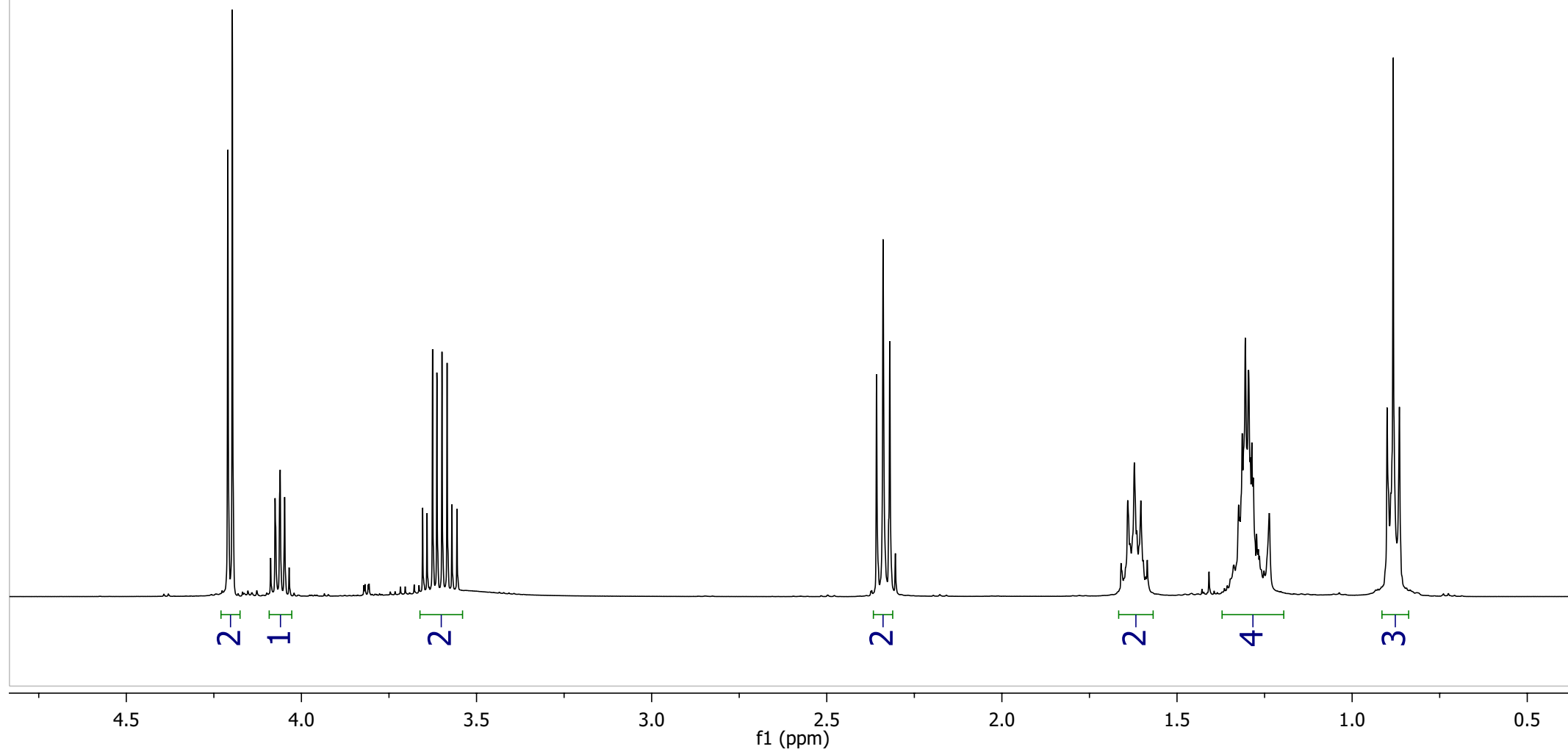
5n

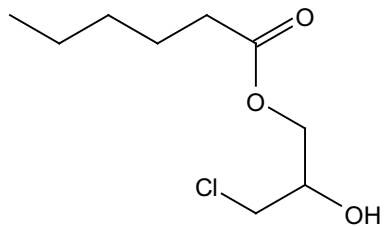
82



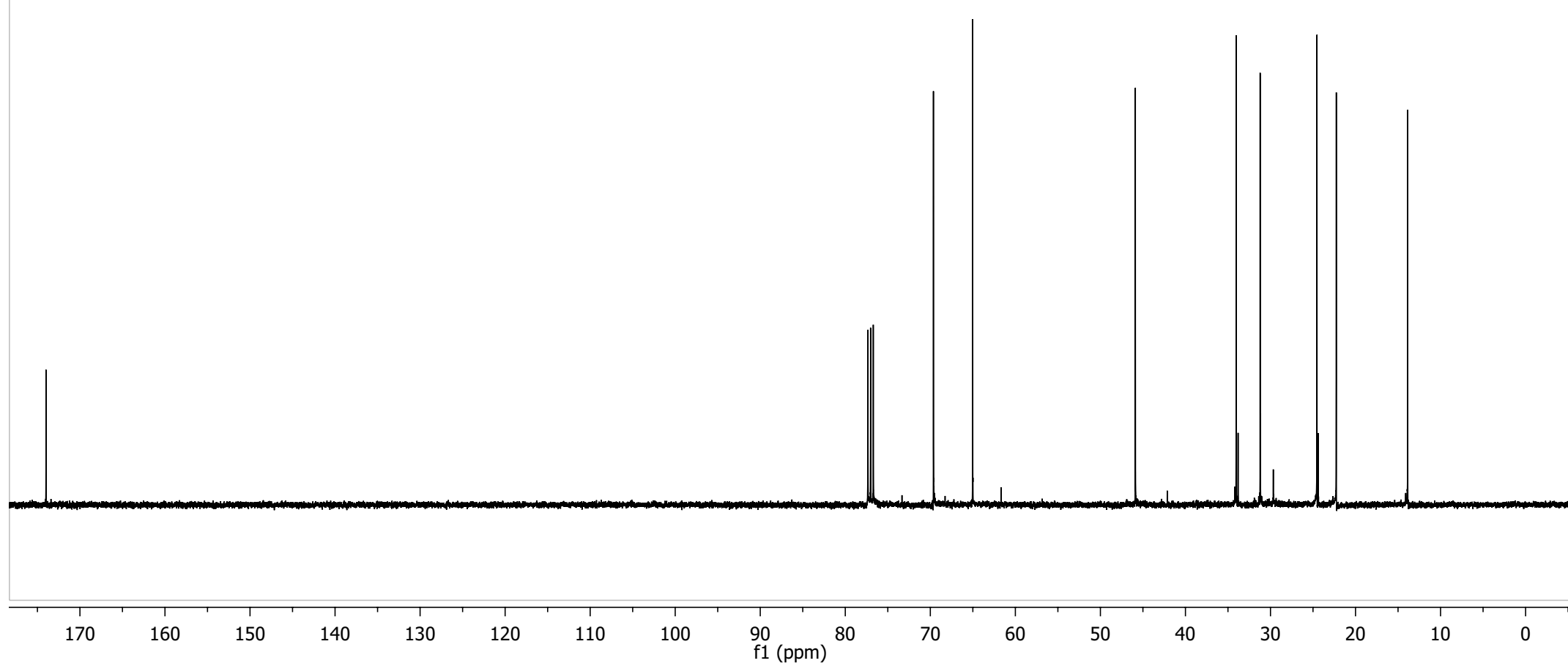


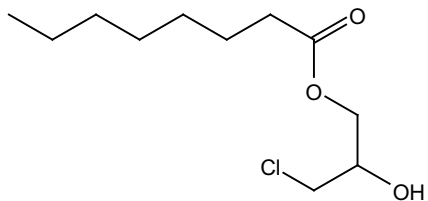
5o



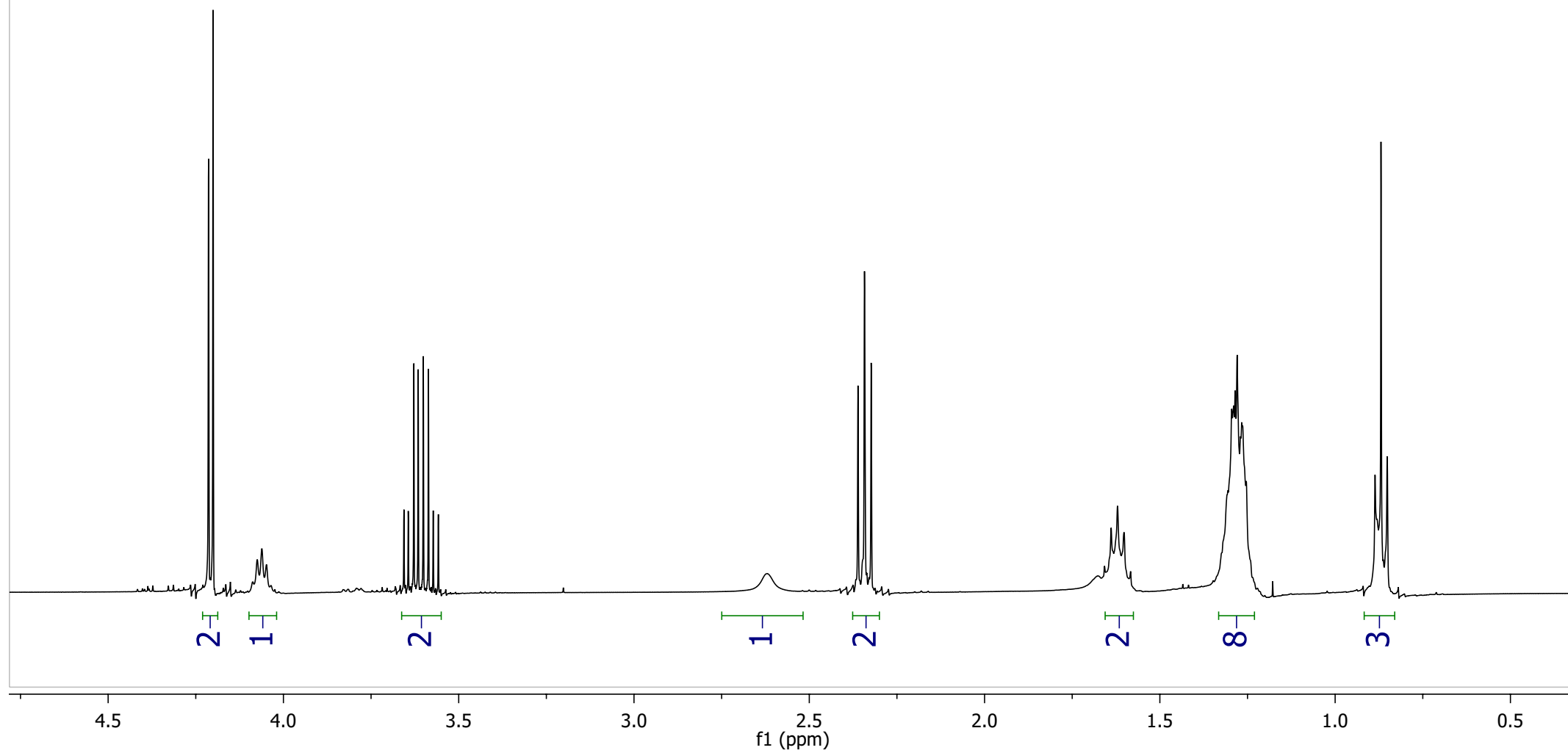


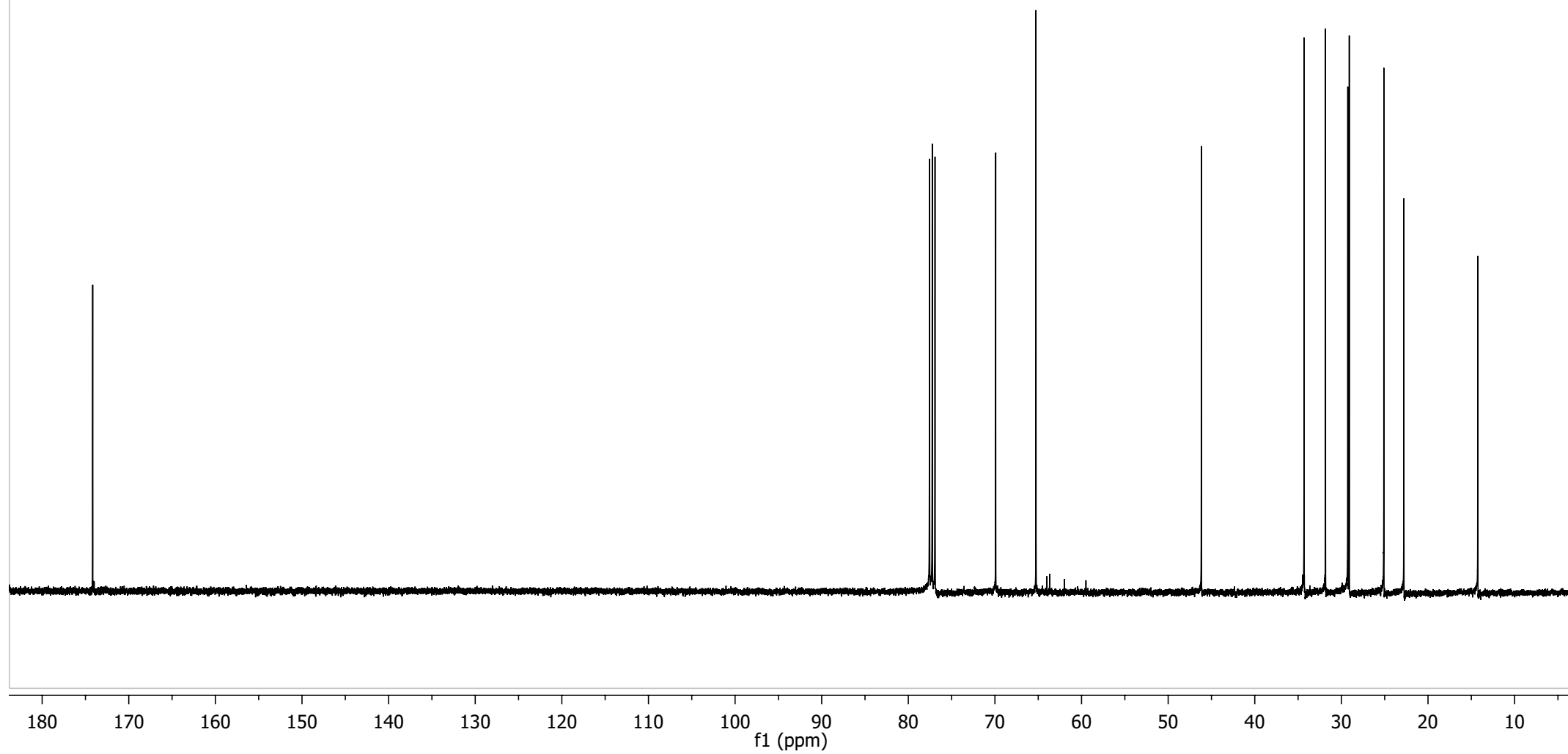
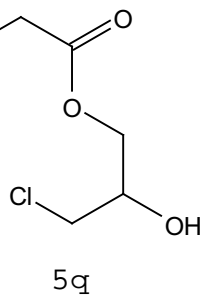
5o

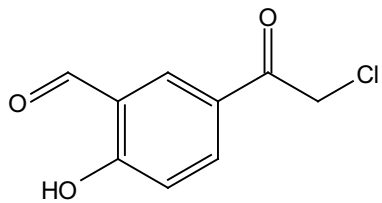




5q

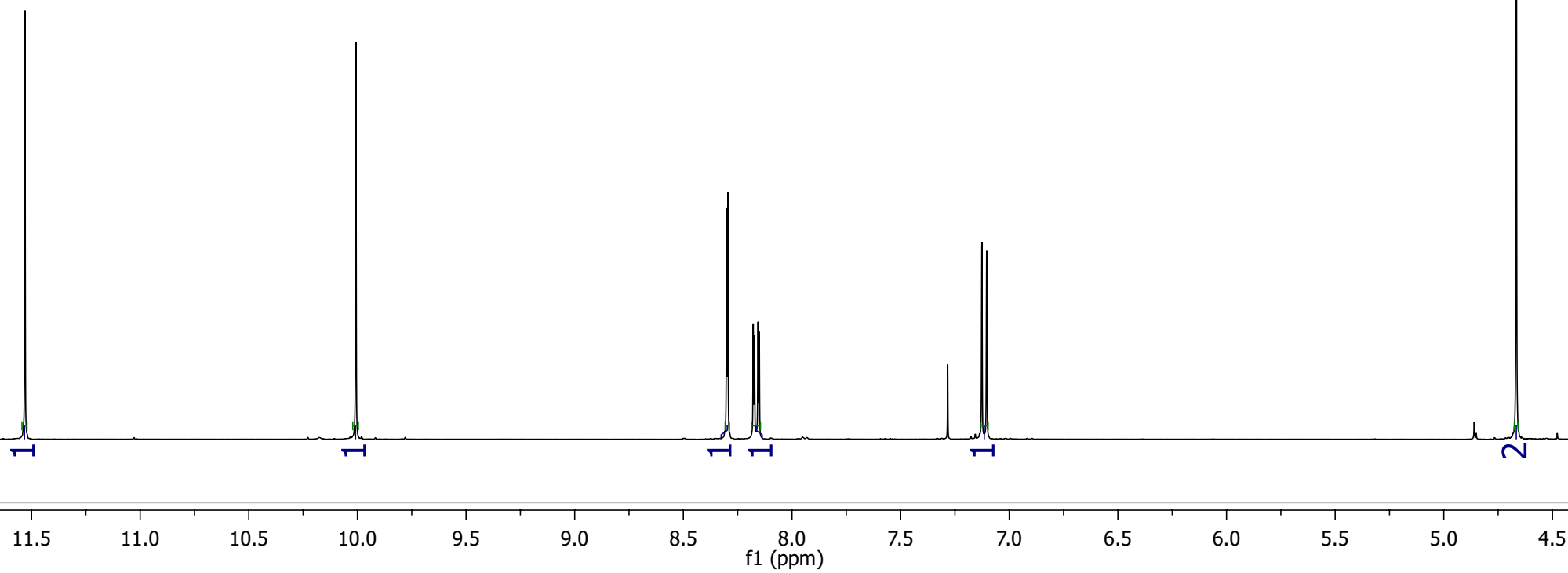


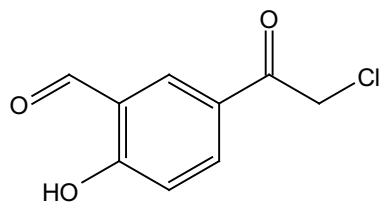




20

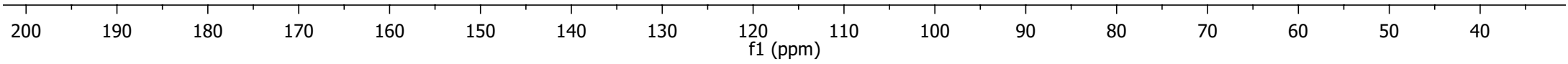
87

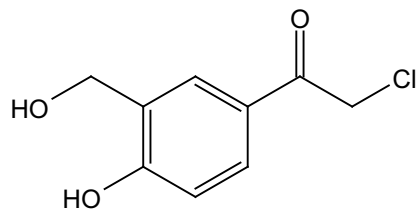




20

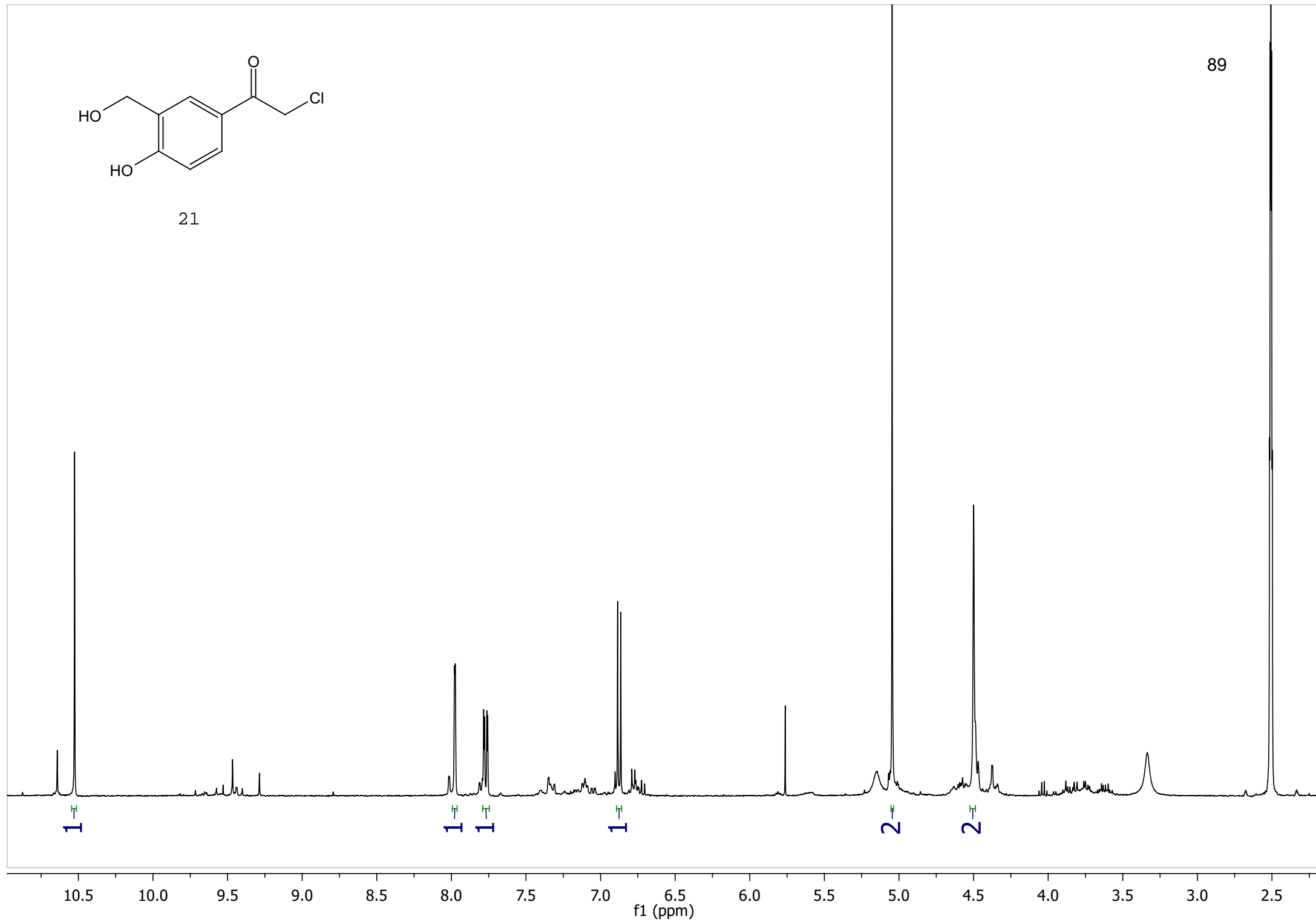
88

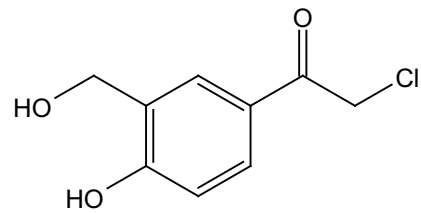




21

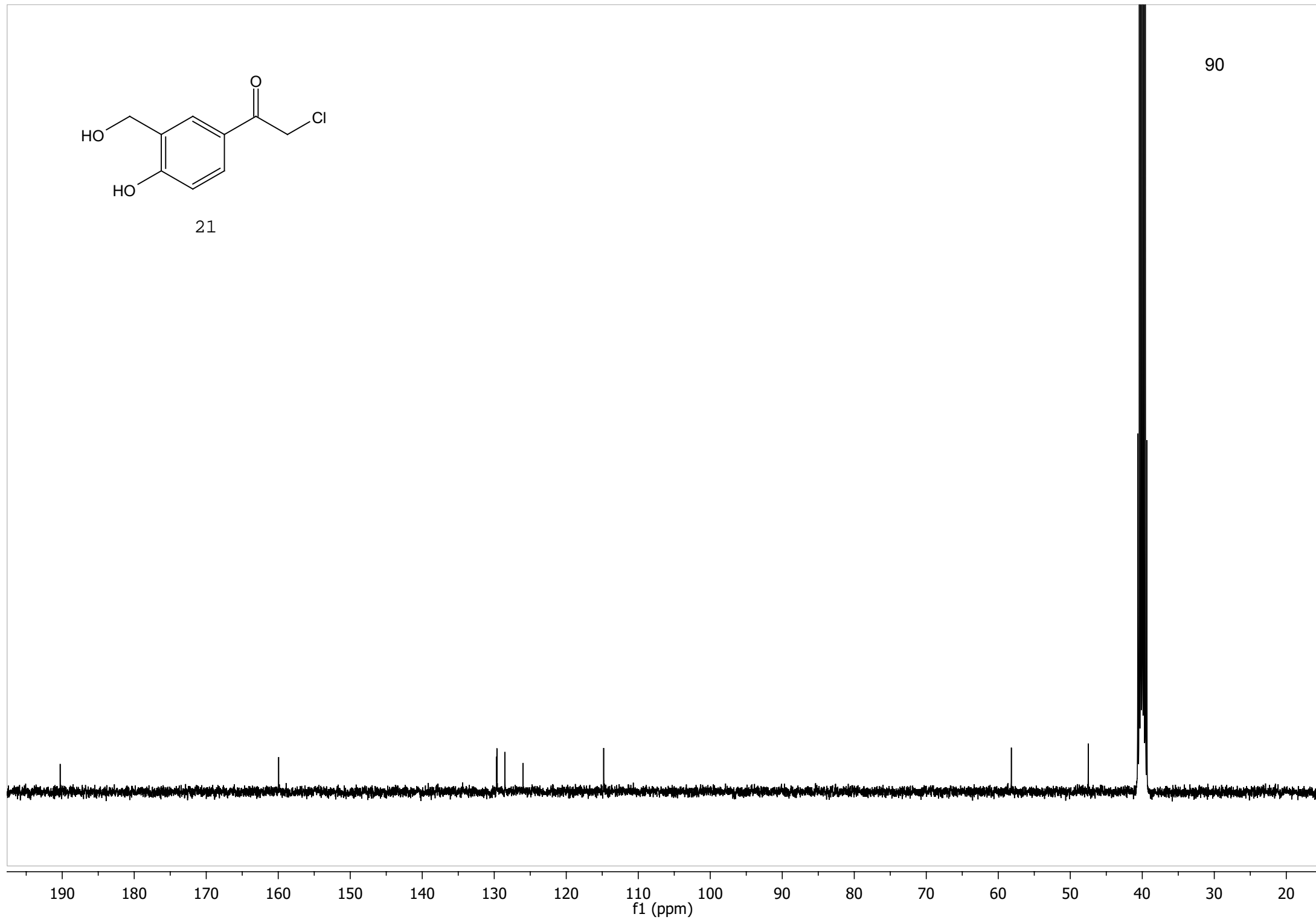
89

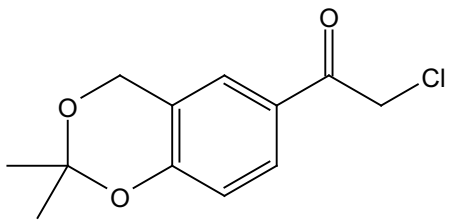




21

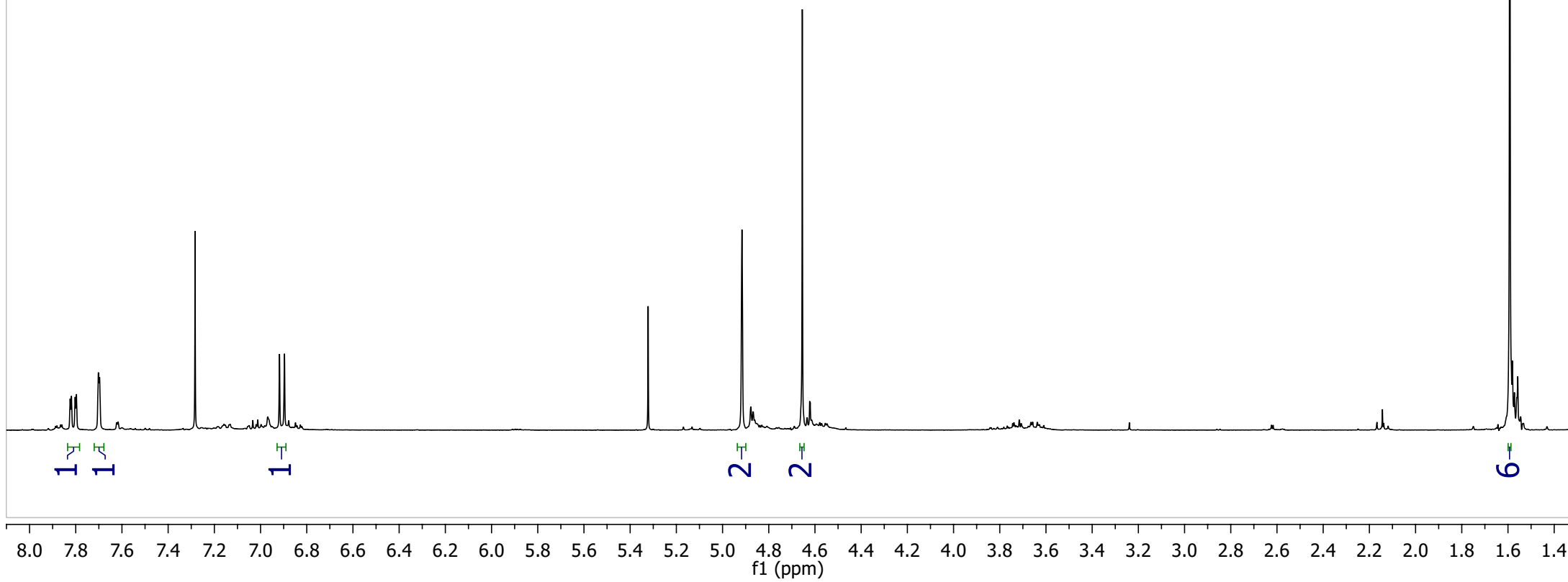
90

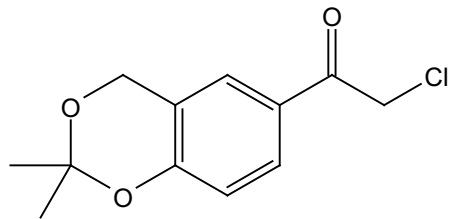




22

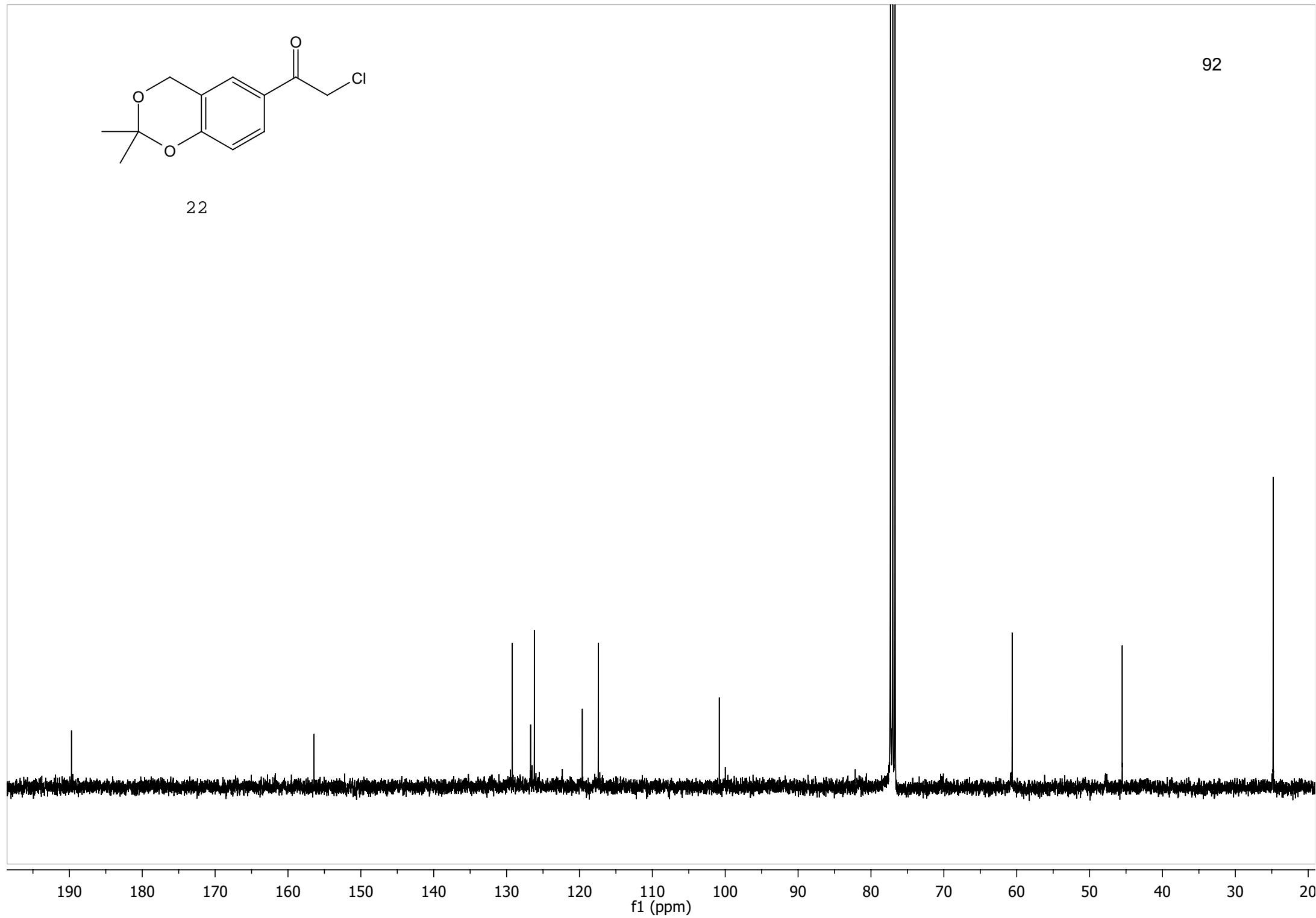
91

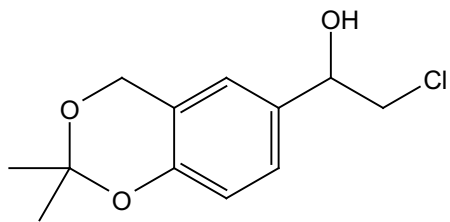




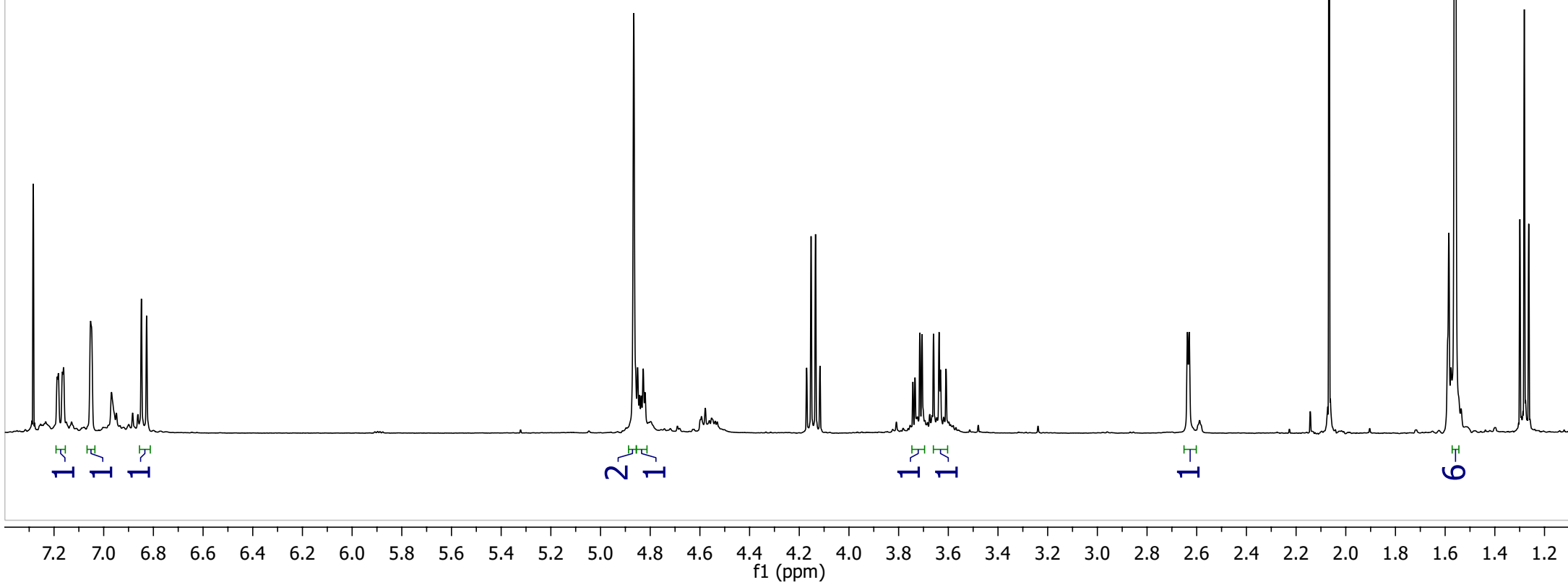
22

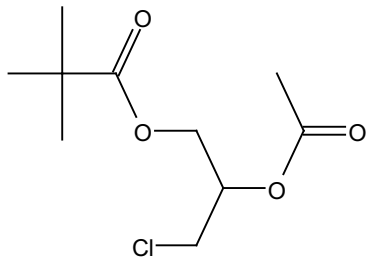
92



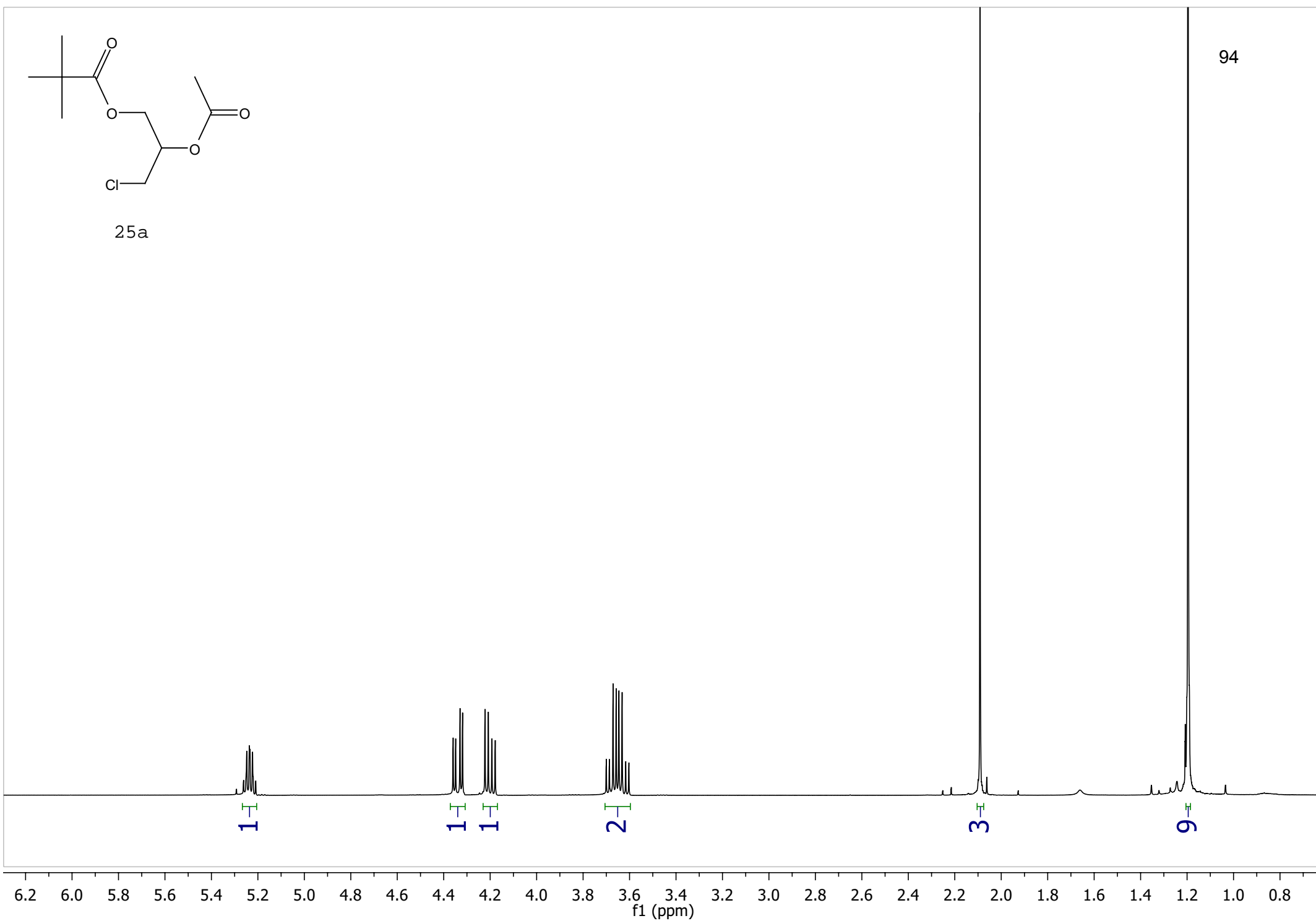


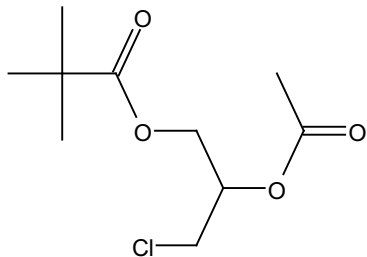
23



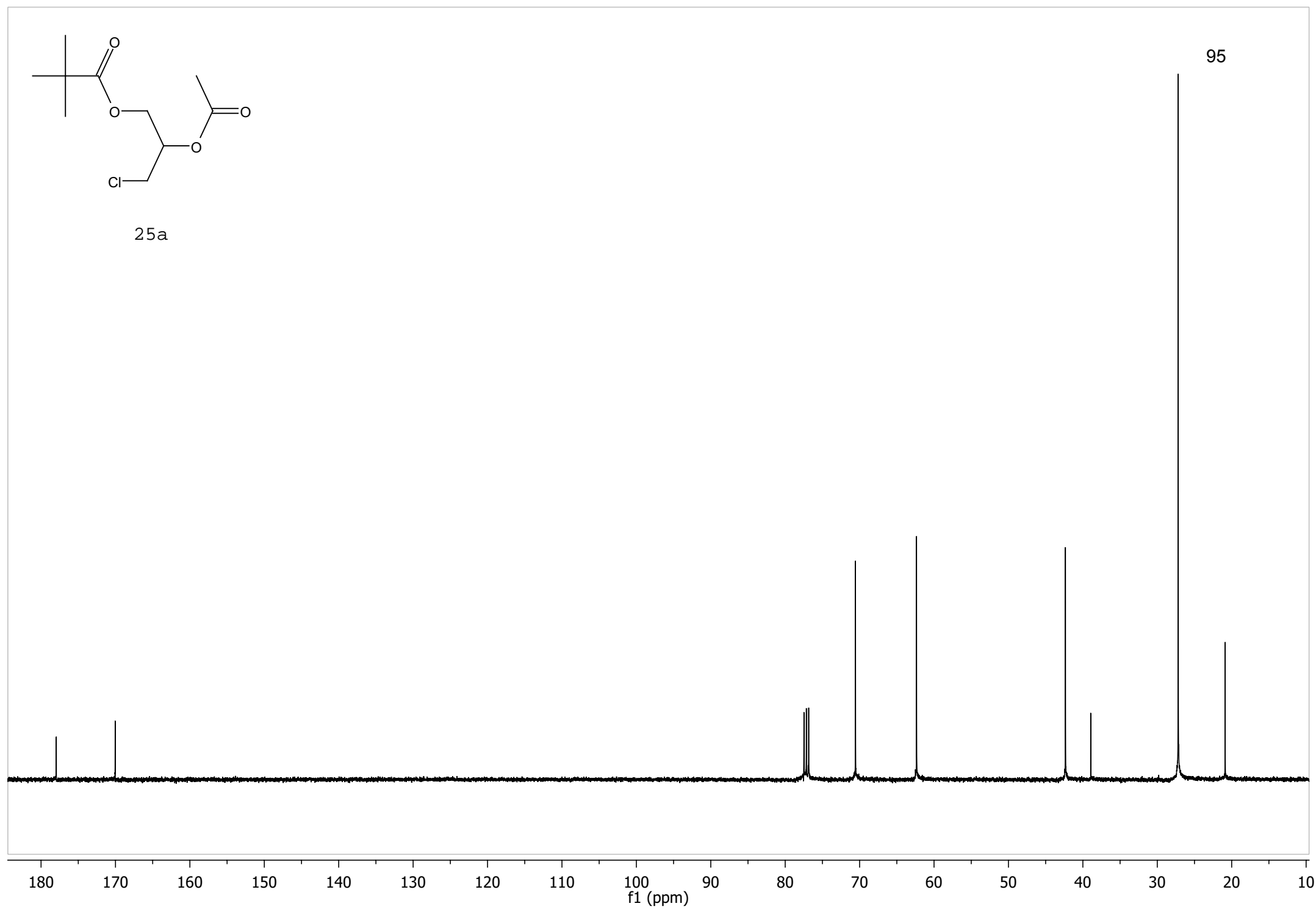


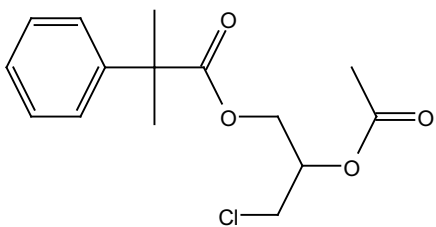
25a



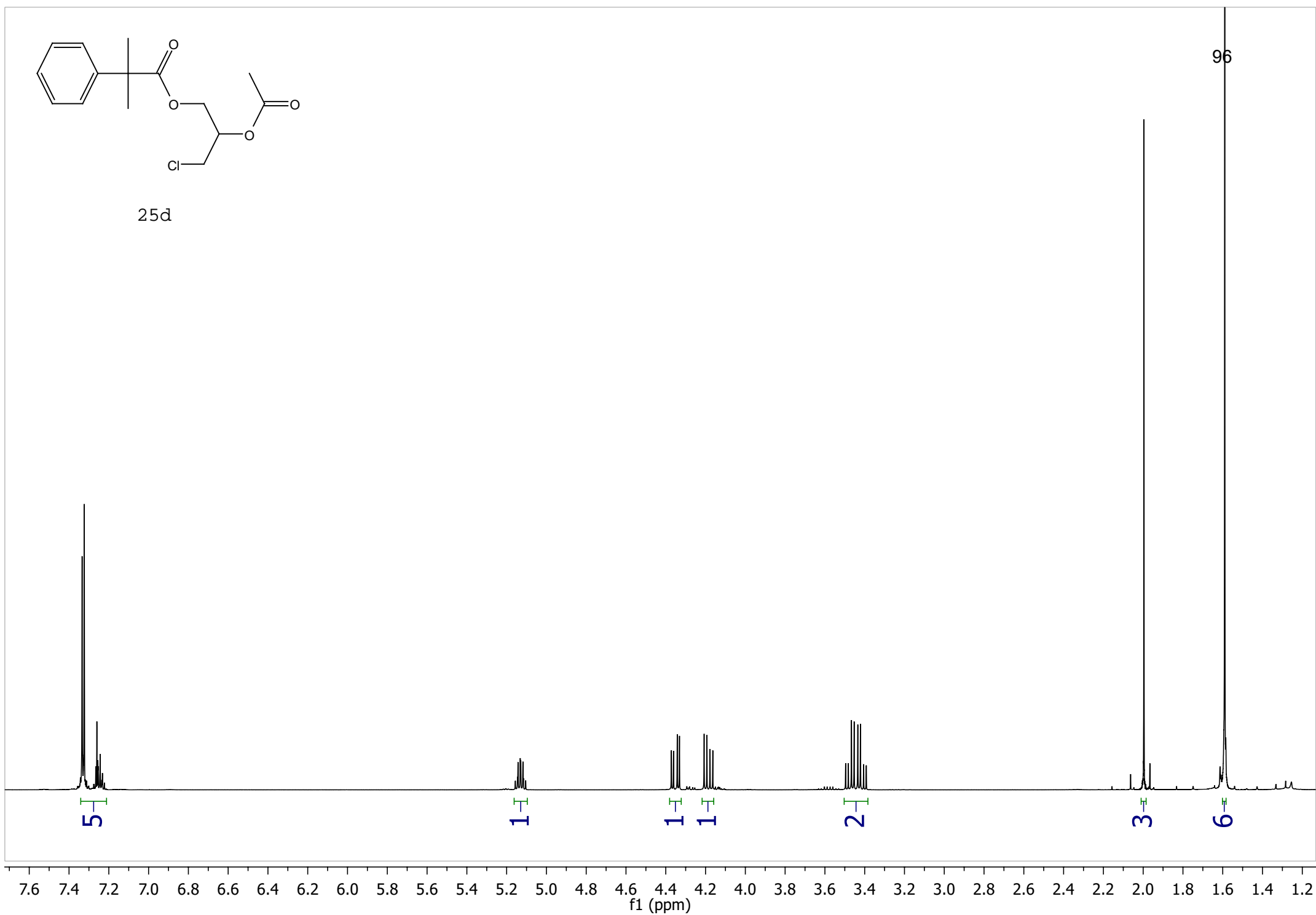


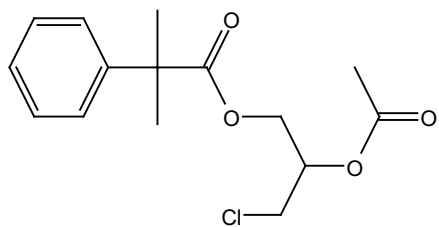
25a





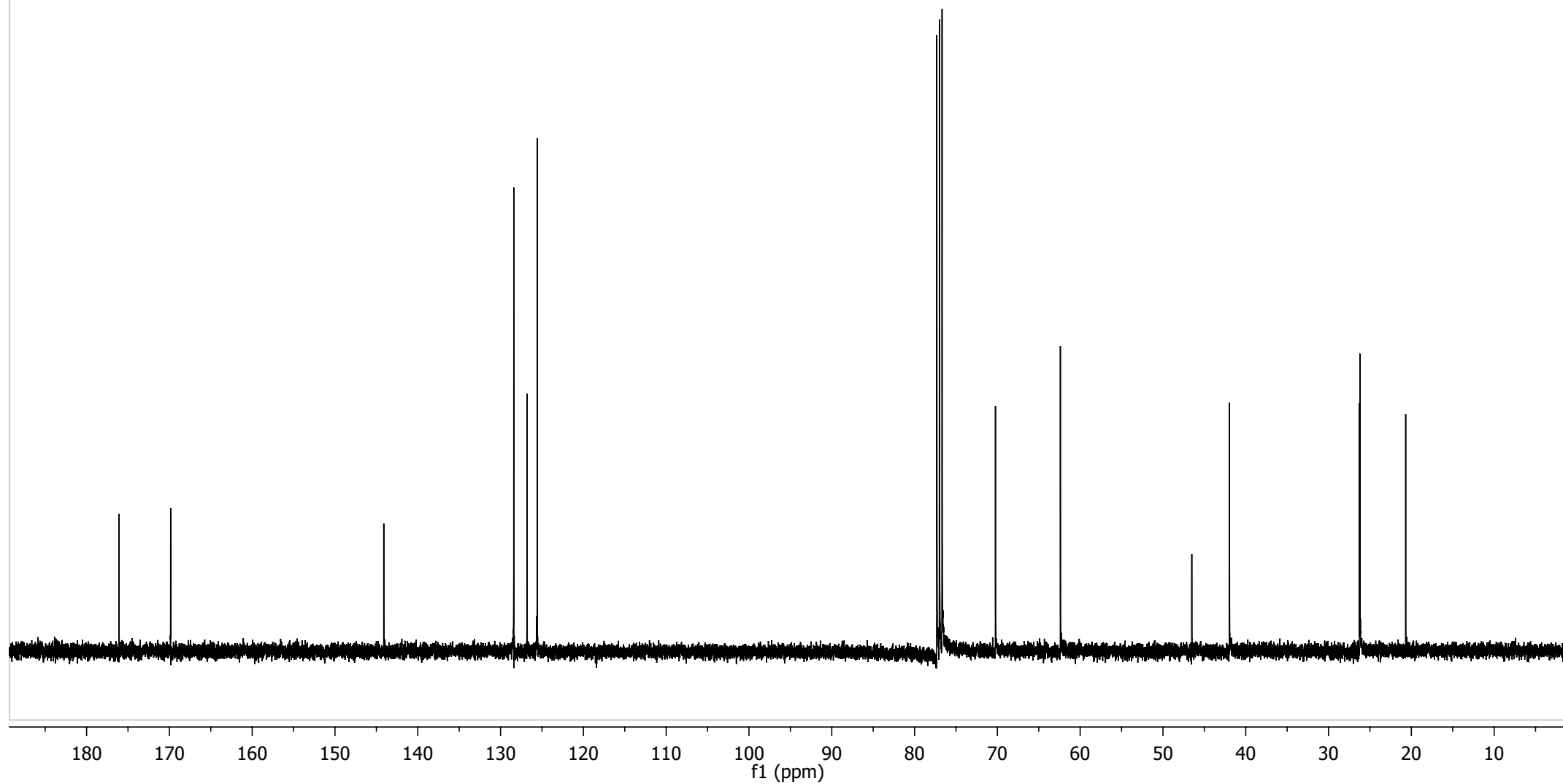
25d

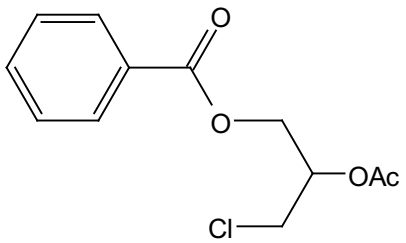




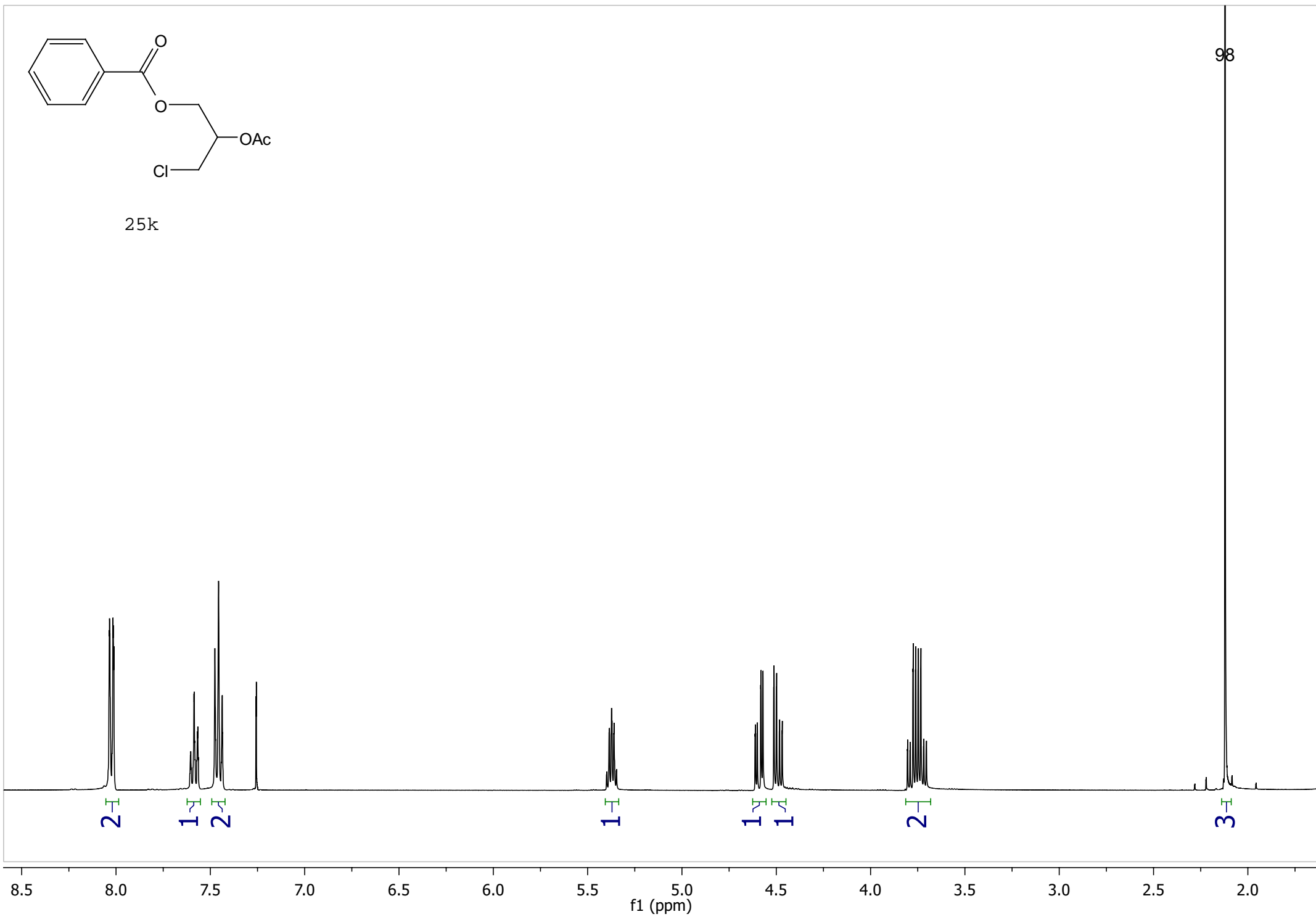
25d

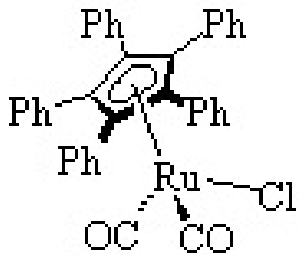
97





25k





21

